Étude environnementale n° 17

Programme de recherches sur l'utilisation des terres arctiques, 1979: relevé des ressources aquatiques de la région centrale du Keewatin, Territoires du Nord-Ouest

Programme des affaires du Nord

G. MacDonald
D.B. Stewart

© Publié avec l'autorisation de l'hon. John C. Munro, C.P., député, ministre des Affaires indiennes et du Nord canadien, Ottawa, 1981.
QS-8259-000-FF-A1
N° de catalogue: R71-19/17-1980F
ISBN 0662-90677-2

Ce rapport a été préparé sous contrat pour le Programme de recherche sur l'utilisation des terres arctiques, Direction de la protection de l'environnement du Nord, ministère des Affaires indiennes et due Nord canadien. Les considérations, conclusions et recommandations exprimées dans ce document sont celles de l'auteur et ne sont pas nécessairement celles du Ministère.

This publication is also available in English.

TABLE DES MATIÈRES

		Page
Liste des figures et des tableaux		ii
Introduction		1
Description de la région étudiée		3
Équipement et méthodes		4
Résultats		6
1.	Réseau fluvial de la rivière Back	7
2.	Réseaux fluviaux se déversant dans le golfe Reine-Maud	17
3.	Rivière Thelon	25
4.	Rivière Quoich	31
Annexe I	Cartes de la répartition des espèces de poissons	35
Annexe II	Pêche commerciale	57
Annexe III	Pêche familiale	64
Annexe IV	Données brutes	67
Remerciements		96
Bibliographie		97

LISTE DES FIGURES ET DES TABLEAUX

		Page
RÉGION ÉTUDIÉE: GÉNÉRALITÉS		
Fig. 1	Carte de la région étudiée Principaux réseaux fluviaux, agglomérations et stations d'échantillonnage d'eau	2
RÉSEAU FLUVIAL DE LA RIVIÈRE BACK		
Fig. 2	Carte des points d'échantillonnage	8
Tableau 1	Répartition des espèces	9
Tableau 2	Crustacés planctoniques	13
Tableau 3	Chimie de l'eau	15
RÉSEAUX FLUVIAUX SE DÉVERSANT DANS LE GOLFE REINE-MAUD		
Fig. 3	Carte des points d'échantillonnage	18
Tableau 4	Répartition des espèces	19
Tableau 5	Crustacés planctoniques	21
Tableau 6	Chimie de l'eau	24
RIVIÈRE THELON		
Fig. 4	Carte des points d'échantillonnage	26
Tableau 7	Répartition des espèces	27
Tableau 8	Crustacés planctoniques	28
Tableau 9	Chimie de l'eau	30
RIVIÈRE QUOICH		
Fig. 5	Carte des points d'échantillonnage	32
Tableau 10	Répartition des espèces	33
Tableau 11	Chimie de l'eau	34

LISTE DES ANNEXES

		Page
ANNEXE I	CARTES DE LA RÉPARTITION DES ESPÈCES DE POISSONS	
Fig. 6	Région étudiée et points d'échantillonnage	41
Fig. 7	Truite grise	42
Fig. 8	Omble arctique	43
Fig. 9	Grand corégone	44
Fig. 10	Ménomini rond	45
Fig. 11	Cisco de lac	46
Fig. 12	Cisco sardinelle	47
Fig. 13	Cisco arctique	48
Fig. 14	Ombre arctique	49
Fig. 15	Grand brochet	50
Fig. 16	Meunier rouge	51
Fig. 17	Lotte	52
Fig. 18	Épinoche à neuf épines	53
Fig. 19	Chabot visqueux	54
Fig. 20	Épinoche à trois épines, chabot à tête plate et méné de lac	55
Fig. 21	Chabot de profondeur, plie arctique, plie à nageoires jaunes, morue safran et morue dentée	56
ANNEXE II	PÊCHE COMMERCIALE	
Fig. 22	Régions avec quotas commerciaux	59
Tableau 12	Quotas de pêche commerciale pour 1979	60
ANNEXE III	PÊCHE FAMILIALE	
Fig. 23	Régions de pêche familiale	66
ANNEXE IV		
Tableau I		68
Tableau II		82
Tableau III		89
Tableau IV		92

INTRODUCTION

Les données sur les ressources halieutiques figurant dans ce rapport ont été recueillies et compilées dans le cadre du Programme de cartographie et de recherche sur l'utilisation des terres arctiques (ALUR) de 1979/1980. La série de cartes est subventionnée conjointement par le ministère des Affaires indiennes et du Nord et par le ministère de l'Environnement. Ces cartes publiées sont destinées à offrir une vue d'ensemble ou des renseignements de base qu'il est nécessaire d'utiliser dans la planification régionale et dans la mise en vigueur du Règlement sur l'utilisation des terres territoriales.

La figure 1 montre la région étudiée en 1979, et notamment les principaux réseaux fluviaux et agglomérations. Les informations halieutiques compilées pour les régions situées au sud et à l'ouest de la présente région étudiée figurent dans les rapports de MacDonald et Fudge (1979) et de Stewart et MacDonald (1978).

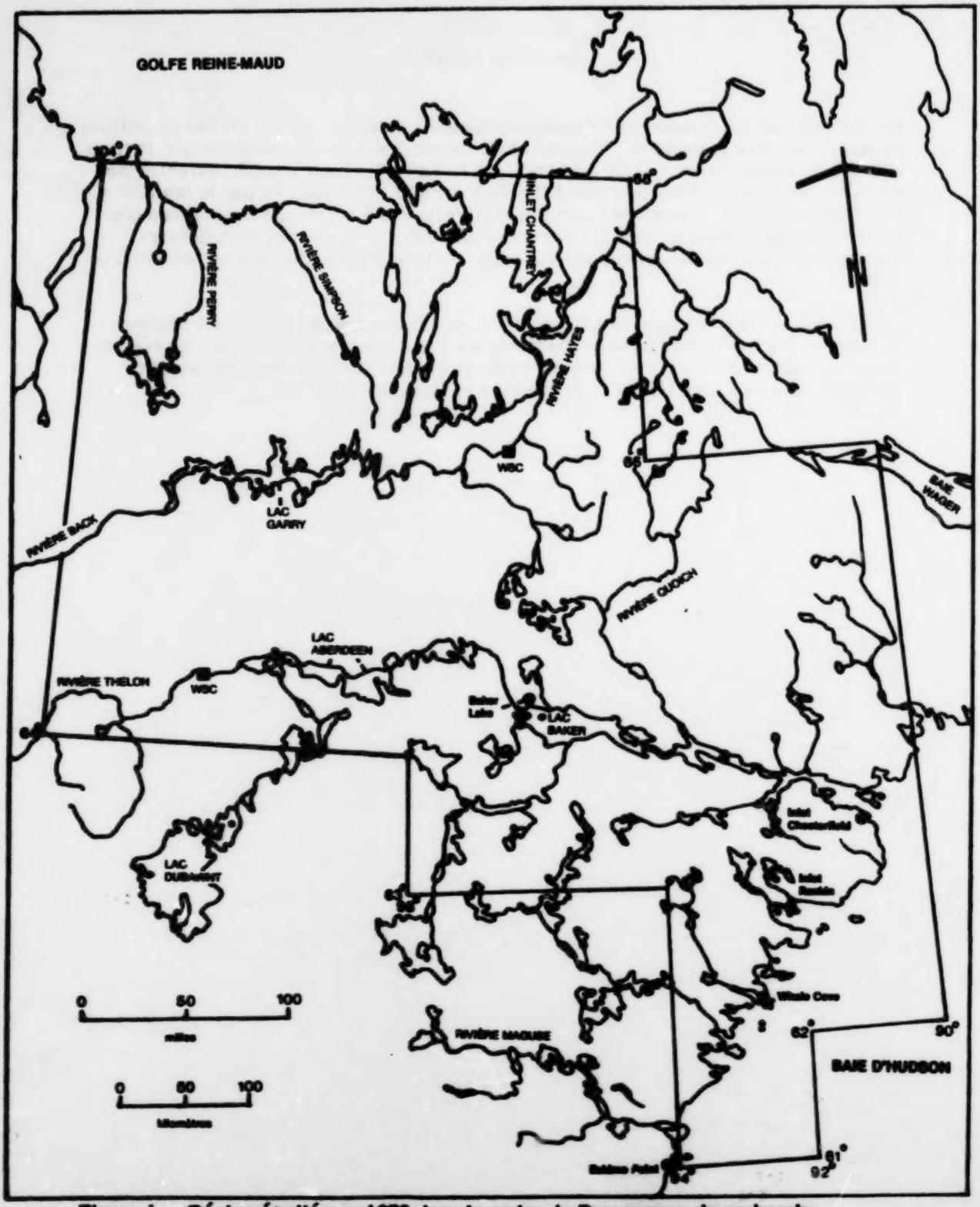

Figure 1. Région étudiée en 1979 dans le cadre du Programme de recherche sur l'utilisation des terres arctiques (ALUR); principaux réseaux fluviaux, agglomérations et stations d'échantillonnage de la division des relevés hydrologiques du Canada (WSC).

DESCRIPTION DE LA RÉGION ÉTUDIÉE

La région étudiée (figure 1) couvre une superficie de 315 000 km^2 du Bouclier canadien, située principalement dans le district de Keewatin. La majeure partie de la région située au nord du 65° est drainée en direction du nord dans le golfe Reine- Maud et l'inlet Chantrey. Les régions situées au sud de cette partie sont drainées en direction de l'est, soit dans l'inlet Chesterfield ou directement dans la baie d'Hudson.

La topographie autour du golfe Reine-Maud est peu accidentée et les sédiments marins s'étendent jusqu'à 60 km à l'intérieur des terres. La topographie autour de l'inlet Chantrey est plus variée; des falaises et des rochers de granite surgissant de l'eau pour former des collines dont certaines atteignent 100 m d'altitude.

Au sud de ces régions côtières se trouve un plateau légèrement ondulé qui s'élève jusqu'à 300 mètres. Ce plateau intérieur comprend non seulement les terres avoisinant et séparant les rivières Back et Thelon, mais s'étend également au-delà de la rivière Quoich jusqu'aux terres situées entre l'inlet Chesterfield et la baie Wager. Des débris glaciaires couvrent une grande partie de la région située à l'intérieur des terres. Des moraines, des eskers et des drumlins témoignent d'un mouvement glaciaire massif.

Au sud de l'inlet Chesterfield, les basses terres de la baie d'Hudson forment une énorme région de faible relief et mal drainée. Une grande partie de cette région est composée de muskeg marécageux et de marais avec des îles de matériaux glaciaires meubles. Cette région qui a plus de 300 km de large descend en pente très peu prononcée vers la baie d'Hudson. De vastes plages marines surélevées et des dépôts se trouvent à de grandes distances à l'intérieur des terres (Sater 1971).

Toute la région étudiée s'étend au nord de la limite forestière. Le saule nain (Salix spp.) et le carex poussent au bord des rivières, des cours d'eau et des lacs. Les éricacées et les lichens composent la végétation dominante dans les régions bien drainées, tandis que les canches poussent en touffes, dans les régions mal drainées.

Le climat est le même dans la majeure partie de la région étudiée. Il est caractérisé par des étés courts et frais et des hivers longs et rigoureux. À Baker Lake, la température annuelle moyenne est de -3°C et les vents dominants proviennent du nord à une vitesse moyenne de 23 km à l'heure. Les précipitations annuelles totales sont de 210 mm, dont 150 mm sous forme de pluie et le reste sous forme de neige.

Des cinq agglomérations de la région, quatre sont situées le long de la côte ouest de la baie d'Hudson et une (Baker Lake) se trouve à l'intérieur des terres. Les populations de ces agglomérations, essentiellement inuit, tirent leurs revenus des ventes de peaux brutes, de la pêche commerciale et de l'artisanat. Les habitants de Baker Lake comptent davantage sur le caribou pour leur subsistance que ceux des agglomérations côtières qui sont tributaires dans une grande mesure de la pêche familiale.

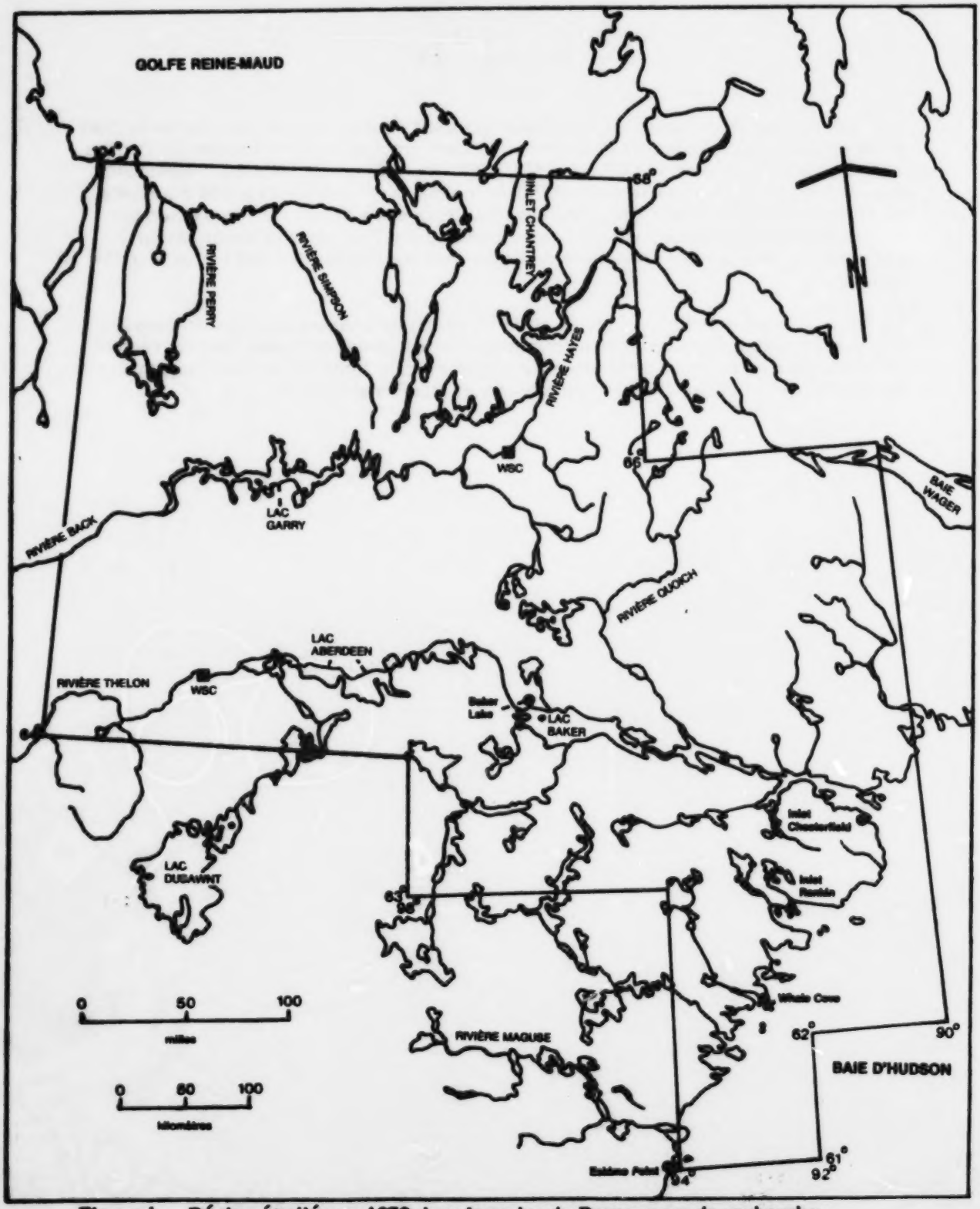

Figure 1. Région étudiée en 1979 dans le cadre du Programme de recherche sur l'utilisation des terres arctiques (ALUR); principaux réseaux fluviaux, agglomérations et stations d'échantillonnage de la division des relevés hydrologiques du Canada (WSC).

DESCRIPTION DE LA RÉGION ÉTUDIÉE

La région étudiée (figure 1) couvre une superficie de 315 000 km^2 du Bouclier canadien, située principalement dans le district de Keewatin. La majeure partie de la région située au nord du 65° est drainée en direction du nord dans le golfe Reine- Maud et l'inlet Chantrey. Les régions situées au sud de cette partie sont drainées en direction de l'est, soit dans l'inlet Chesterfield ou directement dans la baie d'Hudson.

La topographie autour du golfe Reine-Maud est peu accidentée et les sédiments marins s'étendent jusqu'à 60 km à l'intérieur des terres. La topographie autour de l'inlet Chantrey est plus variée; des falaises et des rochers de granite surgissant de l'eau pour former des collines dont certaines atteignent 100 m d'altitude.

Au sud de ces régions côtières se trouve un plateau légèrement ondulé qui s'élève jusqu'à 300 mètres. Ce plateau intérieur comprend non seulement les terres avoisinant et séparant les rivières Back et Thelon, mais s'étend également au-delà de la rivière Quoich jusqu'aux terres situées entre l'inlet Chesterfield et la baie Wager. Des débris glaciaires couvrent une grande partie de la région située à l'intérieur des terres. Des moraines, des eskers et des drumlins témoignent d'un mouvement glaciaire massif.

Au sud de l'inlet Chesterfield, les basses terres de la baie d'Hudson forment une énorme région de faible relief et mal drainée. Une grande partie de cette région est composée de muskeg marécageux et de marais avec des îles de matériaux glaciaires meubles. Cette région qui a plus de 300 km de large descend en pente très peu prononcée vers la baie d'Hudson. De vastes plages marines surélevées et des dépôts se trouvent à de grandes distances à l'intérieur des terres (Sater 1971).

Toute la région étudiée s'étend au nord de la limite forestière. Le saule nain (Salix spp.) et le carex poussent au bord des rivières, des cours d'eau et des lacs. Les éricacées et les lichens composent la végétation dominante dans les régions bien drainées, tandis que les canches poussent en touffes, dans les régions mal drainées.

Le climat est le même dans la majeure partie de la région étudiée. Il est caractérisé par des étés courts et frais et des hivers longs et rigoureux. À Baker Lake, la température annuelle moyenne est de -3°C et les vents dominants proviennent du nord à une vitesse moyenne de 23 km à l'heure. Les précipitations annuelles totales sont de 210 mm, dont 150 mm sous forme de pluie et le reste sous forme de neige.

Des cinq agglomérations de la région, quatre sont situées le long de la côte ouest de la baie d'Hudson et une (Baker Lake) se trouve à l'intérieur des terres. Les populations de ces agglomérations, essentiellement inuit, tirent leurs revenus des ventes de peaux brutes, de la pêche commerciale et de l'artisanat. Les habitants de Baker Lake comptent davantage sur le caribou pour leur subsistance que ceux des agglomérations côtières qui sont tributaires dans une grande mesure de la pêche familiale.

ÉQUIPEMENT ET MÉTHODES

Les données présentées dans ce rapport ont été compilées à partir d'un travail récent de reconnaissance, d'études antérieures et de commentaires provenant des habitants de la région. L'échantillonnage expérimental a été effectué au cours du mois d'août 1979, à l'aide d'un hélicoptère Bell 206B Jet Ranger muni de flotteurs. Des spécimens de poissons, des échantillons de zooplancton et d'eau ont été prélevés.

Les poissons ont été capturés à l'aide de filets maillants suédois en nylon, à filaments multiples mesurant 1,8 m de profondeur, 60 m à la partie supérieure, 73 m à la partie inférieure et comprenant six panneaux dont la grandeur de mailles était respectivement de 10 mm, 19 mm, 33 mm, 45 mm, 55 mm et 60 mm. Les filets ont été mouillés pendant la nuit dans diverses rivières et divers lacs. Des pièges à vairons, galvanisés et pliants, ont été utilisés dans les petits cours d'eau.

Toutes les espèces de poissons d'eau douce ont été identifiées, selon McPhail et Lindsey (1970). En voici la liste: l'omble arctique, Salvelinus alpinus (Linnaeus); le cisco arctique, Coregonus autumnalis (Pallas); l'ombre arctique, Thymallus arcticus (Pallas); la lotte, Lota lota (Linnaeus); le méné de lac, Couesius plumbeus (Agassiz); le cisco de lac, Coregonus artedii LeSueur; la truite grise, Salvelinus namaycush Walbaum; le grand corégone, Corégonus clupeaformis (Mitchill); le cisco sardinelle, Coregonus sardinella Valenciennes; le meunier rouge, Catostomus catostomus (Forster); l'épinoche à neuf épines, Pungitius pungitius (Linnaeus); le grand brochet, Esox lucius Linnaeus; le ménomini rond, Prosopium cylindraceum (Pallas); le chabot visqueux, Cottus cognatus Richardson; le chabot à tête plat, Cottus ricei (Nelson); et l'épinoche à trois épines, Gasterosteus aculeatus Linnaeus.

Les espèces marines ont été identifiées selon un manuscrit inédit de D. E. McAllister. En voici la liste: la plie arctique, Liopsetta glacialis (Pallas); le chabot de profondeur, Myoxocephalus quadricornis (Linnaeus); la morue safran, Elginus gracilis (Tilesius); et la morue dentée, Arctogadus borisovi Drjagin; et la plie à nageoires jaunes, Limada asper (Pallas).

La longueur à la fourche (mm) et le poids brut (g) de tous les poissons ont été mesurés. La majorité d'entre eux ont été échantillonnés à l'état mort. Les gonades ont été examinées et le degré de maturation a été établi selon l'échelle suivante.

Mâle	Femelle	Degré de maturation
1	7	immature
2	8	mature
3	9	en période de maturation
4	10	plein
5	11	en période de montée
6	12	vide
0		sexe indiscernable

Le contenu stomacal a été examiné sur place, et dans la mesure du possible, les poissons trouvés étaient identifiés selon leur espèce et les invertébrés, selon leur famille.

Pour la détermination de l'âge, des échantillons d'écailles de poissons ont été prélevés sur l'ombre arctique, le grand brochet, le cisco et le grand corégone, et ont été lus à l'aide d'un Leitz Trichinoscope (modèle IX-Q). Les otolithes ont été prélevées sur l'omble arctique, la lotte et la truite grise et leur âge a été déterminé à l'aide d'un microscope à dissection selon les techniques décrites dans Grainger (1953).

Le zooplancton a été prélevé à l'aide d'un filet Wisconsin (mailles de 73 microns) ayant une ouverture de 25 cm. Le filet a été lesté avec un poids fixé à l'ouverture pour que le zooplancton soit prélevé à la fois à la descente et à la remontée lors des halages verticaux. Lorsque les courants ou la dérive rendaient impossible le halage vertical, des halages horizontaux qualitatifs ont été effectués. Les spécimens ont été préservés dans de la formaline (= 10%) et toutes les identifications et mesures ont été effectuées par Mme K. Patalas, du Freshwater Institute de Winnipeg.

Les échantillons pour l'analyse chimique de l'eau ont été traités et mesurés à l'aide des techniques décrites dans Stainton et al. (1977). Les concentrations de C, N et P; Na, K, Mg et Ca; Cl, et SO_4, sous forme dissoute et particulaire, de même que la chlorophylle et le pH ont été mesurés par la section des analyses du Freshwater Institute de Winnipeg. La transparence (Welch 1942), et la coloration de l'eau ont été mesurées à l'aide de disques Secchi, et la profondeur de l'eau a été déterminée. Un compteur Y.S.I. (modèle 33 S-C-T) a été utilisé pour effectuer les mesures de la conductivité et de la température.

Les données sur le débit des cours d'eau proviennent de la Direction générale des eaux intérieures (1978) et les quotas de la pêche commerciale ont été extraits du Manuel des lois et règlements sur la pêche (1979).

RÉSULTATS

1. RÉSEAU FLUVIAL DE LA RIVIÈRE BACK

Généralités:

La rivière Back s'étend dans la partie nord de la région étudiée. Elle draine une superficie de 110 000 km^2 dans la toundra, prend sa source au lac Muskox (alt. 337 m) et coule sur 1020 km jusqu'à l'inlet Chantrey (fig. 1). Notre étude porte principalement sur la partie inférieure du réseau de drainage de la rivière Back (fig. 2).

Sauf dans la région des lacs Pelly, Garry et Macdougall, la rivière Back coule dans une vallée fluviale bien délimitée. Les rives de la rivière sont généralement escarpées et la plupart des petits affluents n'ont que peu ou pas du tout de débit dès le milieu de l'été. Les affluents importants comprennent les rivières Meadowbank, Herman et Montrésor.

Un débit quotidien maximal de 4277 m^3/s a été relevé le 12 juillet 1978 à la station d'échantillonnage de la Division des relevés hydrologiques du Canada (66°05'N x 96°30'O) (fig. 1). Le débit mensuel moyen maximal (2653 m^3/s) a été relevé en juillet 1978, et le débit minimal (33 m^3/s), en mai (Direction générale des eaux intérieures, 1979).

Ressources halieutiques:

Trente-deux filets ont été mouillés dans la rivière Back, ses lacs connexes et ses affluents voisins. L'échantillonnage a été effectué entre le 12 et le 27 août 1979. Les points d'échantillonnage sont présentés à la figure 2 et les données sur la répartition des espèces par point d'échantillonnage figurent au tableau 1. L'annexe 1 présente la répartition des espèces de la région étudiée, incluant les données d'échantillonnage du programme ALUR et les données provenant d'autres sources. Les données brutes sont présentées à l'annexe 4.

Le plus grand obstacle potentiel à la migration vers l'amont est constitué par les chutes Sinclair, situées sur la rivière Back, à environ 320 km en amont de l'inlet Chantrey. Dans le cours inférieur de la rivière Back, surtout dans la région du lac Franklin, on a généralement capturé un plus grand nombre de poissons par filet tendu que lors des mouillages effectués plus en amont.

La truite grise est l'espèce la plus fréquemment prélevée et la plus abondante dans la rivière Back. Elle a été prise à chaque station, à l'exception des lacs intérieurs (mouillage 31 et 32). Les mâles et les femelles ont été pris en nombre presque égal. Le nombre des reproducteurs était presque égal à celui des non-reproducteurs matures, ce qui laisse croire que les individus ne fraient pas chaque année. Nos observations indiquent que la truite grise dans le réseau fluvial de la rivière Back fraie probablement en septembre, ce qui est beaucoup plus tôt que les populations du Sud. Le frai se produit sur les fonds pierreux des lacs (Scott et Crossman 1973), et probablement dans les parties larges et lentes de la rivière Back. Les restes de poissons, les chrysalides et les larves d'insectes (diptères et trichoptères) constituent les principaux aliments. Des crustacés (amphipodes, copépodes, notostracés et isopodes), et parfois de petits mammifères, ont également été ingérés.

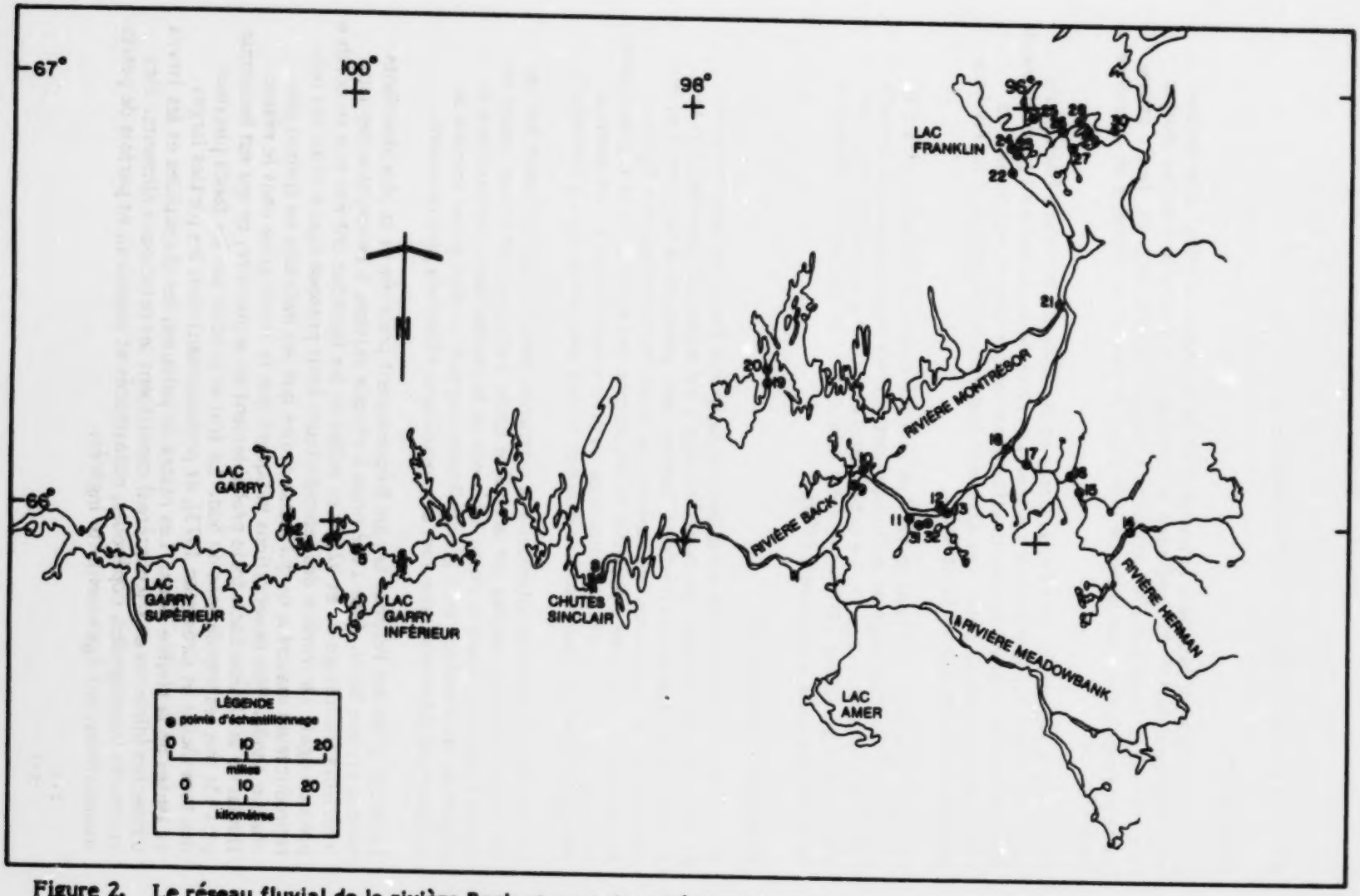

Figure 2. Le réseau fluvial de la rivière Back et ses points d'échantillonnage.

Tableau 1. Répartition des espèces par site d'échantillonnage dans le réseau fluvial de la rivière Back

Mouillage	Date	Point d'échantillonnage	Durée (heures)	Espèces et prises												
				Truite grise	Omble arctique	Grand corégone	Ménomini rond	Cisco de lac	Cisco arctique	Ombre arctique	Lotte	Épinoche à neuf épines	Chabot visqueux	Chabot de profondeur	Espèces de chabot
1	18/8/79	66°00'N x 100°15'W	43.5	8		2									
2	18/8/79	65°59'N x 100°15'W	43	9						7	1				
3	18/8/79	65°57'N x 100°08'W	46	4		1									
4	18/8/79	65°58'N x 99°59'W	47	8			3								
5	18/8/79	65°56'N x 99°50'W	47	8											
6	18/8/79	65°54'N x 99°35'W	47	6	1	1	1								
7	17/8/79	65°55'N x 99°12'W	16	2			1					30**			
8	17/8/79	66°53'N x 98°31'W	16	4		2							3*		
9	14/8/79	66°09'N x 97°02'W	17.5	10		1	11								1*
10	14/8/79	66°10'N x 96°58'W	17.5	4		8	3	1							
11	14/8/79	66°04'N x 96°43'W	16.5	3			2		2						
12	27/8/79	66°05'N x 96°31'W	22	6			9	1		1					1*
13	27/8/79	66°04'N x 96°29'W	22	2			1				2				
14	13/8/79	66°01'N x 95°29'W	22	2			11								
15	13/8/79	66°06'N x 95°45'W	27	1								1*			
16	13/8/79	66°09'N x 95°47'W	27	7											
17	13/8/79	66°11'N x 96°03'W	28	7											
18	13/8/79	66°13'N x 96°10'W	27.5	6		1	6								2*
19	26/8/79	66°20'N x 97°32'W	16.5	7		15	3	1			1				
20	26/8/79	66°22'N x 97°32'W	16.5	7		20	1								
21	15/8/79	66°33'N x 95°48'W	14	3		2			5						
22	15/8/79	66°52'N x 96°05'W	14.5	1		9	3		4						
23	15/8/79	66°54'N x 96°04'W	16.5	10		2	10			1					

Tableau 1. (suite)

Mouillage	Date	Point d'échantillonnage	Durée (heures)	Espèces et prises												
				Truite grise	Omble arctique	Grand corégone	Ménomini rond	Cisco de lac	Cisco arctique	Ombre arctique	Lotte	Épinoche à neuf épines	Chabot visqueux	Chabot de profondeur	Espèces de chabot
24	15/8/79	66°55'N x 96°04'W	16.5	7			13			1					
25	15/8/79	66°58'N x 95°57'W	20	6			6	1	8					1*	
26	15/8/79	66°58'N x 95°46'W	25.5	10			8	2	28						1*
27	15/8/79	66°56'N x 95°46'W	22	8		8	1					3**	1**		
28	15/8/79	66°58'N x 95°40'W	25	4		6	1								
29	15/8/79	66°57'N x 95°38'W	25	4		9	2					1**			
30	15/8/79	66°57'N x 95°24'W	25	6		3		8							
31	27/8/79	66°04'N x 96°38'W	22		17										
32	27/8/79	66°04'N x 96°37'W	22												
		Total		170	18	80	96	14	47	10	4	35	4	1	5

*Échantillons provenant de l'estomac de truites grises

**Échantillons provenant de pièges à vairons

Le grand corégone et le ménomini rond sont tous deux très abondants dans la rivière Back. Ils ont été pris en petit nombre mais en proportion égale dans le lac Garry. Le ménomini rond était plus abondant et plus fréquemment capturé en aval du lac Franklin. Dans ce lac, les deux espèces étaient très abondantes. Nos filets ont capturé un nombre surprenant de grands corégones dans le lac Montrésor. Dans l'ensemble, les mâles et les femelles de cette espèce étaient en nombre égal et il y avait davantage de reproducteurs que de non-reproducteurs matures. Dans le cas du ménomini rond, davantage de femelles que de mâles ont été pris, mais presque tous les poissons matures étaient reproducteurs ou sur le point de l'être. Dans cette région, le grand corégone et le ménomini rond fraient probablement en septembre. Le grand corégone fraie généralement sur les bancs de pierres et de sable des lacs, tandis que le ménomini rond fraie sur les bancs de gravier des lacs, à l'embouchure des rivières ou dans les rivières (Scott et Crossman 1973). Les deux espèces fraient dans la rivière Back, le grand corégone utilisant les aires lentes et larges. Le contenu stomacal des grands corégones échantillonnés a démontré que l'espèce se nourrit généralement de mollusques (pélécypodes et gastéropodes) et de crustacés (copépodes, amphipodes et notostracés). Le contenu stomacal des ménominis ronds échantillonnés était composé le plus souvent de chrysalides et de larves de diptères.

Le cisco arctique habite le cours inférieur de la rivière Back et a été trouvé jusqu'en amont du mont Meadowbank. Il est improbable de noter sa présence au-dessus des chutes Sinclair, situées à 100 km plus en amont. Le cisco arctique n'a pas été capturé dans les rivières Herman ou Montrésor. On le trouve en abondance dans la rivière Back en aval du lac Franklin. Les mâles et les femelles ont été capturés en nombre égal. Le cisco arctique est anadrome. Il remonte les rivières au printemps et fraie généralement sur des lits de graviers dans des courants rapides (Scott et Crossman 1973). Tout les ciscos arctiques capturés dans la rivière Back en août, à l'exception de cinq, étaient des reproducteurs matures, ce qui laisse entendre que le frai commence probablement en septembre. On croit que ces poissons retournent à l'embouchure de la rivière Back et de l'inlet Chantrey pour l'hiver.

On n'a pas capturé un grand nombre de ciscos de lac et de lottes, mais on les a trouvés à intervalle fréquents le long de la rivière Back. Une importante capture de ciscos de lac a été signalée en aval du lac Franklin. Le cisco fraie en automne sur des bancs de gravier et la plupart des spécimens capturés étaient des reproducteurs. La lotte fraie au milieu de l'hiver sous la glace.

À l'exception d'une grosse prise dans le lac Garry, très peu d'ombres arctiques ont été capturés. Même si ces données laissent supposer que l'ombre est peu abondant dans la rivière Back elle-même, il abonde de toute évidence dans ses affluents. Ce poisson fraie au printemps et aucun spécimen capturé n'était en état de se reproduire.

L'omble arctique n'a été capturé qu'à deux stations sur la rivière Back. Un ombre virtuellement anadrome a été capturé dans le lac Garry. Il n'était pas en état de se reproduire. Dix-sept ombles ont été capturés dans un lac apparemment intérieur en aval du mont Meadowbank. La majorité de ces poissons étaient des mâles dont environ la moitié étaient matures. Il est intéressant de remarquer que tous les ombles capturés avaient de 329 à 395 mm de long et étaient âgés de 10 à 15 ans. L'omble arctique anadrome est reconnu pour pénétrer dans l'embouchure de la rivière Back en grand nombre au début de septembre. Il est probable qu'il remonte jusqu'au lac Garry et peut pénétrer à l'intérieur des terres jusqu'au lac Beechey (Johnson, données inédites).

Des épinoches à neuf épines et des chabots visqueux ont été trouvés dans l'estomac de truites grises capturées dans la rivière Back et dans des pièges à vairons mouillés dans de petits tributaires. Ils sont probablement répandus et très abondants dans tout le réseau fluvial.

Un chabot de profondeur a été trouvé dans l'estomac d'une truite provenant de la rivière Back en aval du lac Franklin. Le chabot de profondeur est probablement répandu à l'embouchure de la rivière Back et de l'inlet Chantrey.

Crustacés planctoniques:

Dix-huit espèces de crustacés planctoniques ont été identifiées dans onze échantillons prélevés dans le réseau fluvial de la rivière Back (tableau 2).

Le Cyclops scutifer et la Daphnia longiremis sont les plus répandus et sont considérés comme les espèces types des lacs du nord Canada (K. Patalas, communication personnelle). On pense que le Diaptomus minutus, le Diaptomus oregonensis et le Cyclops bicuspidatus thomasi se trouvent dans la limite nord de leurs habitats. On a trouvé l'Heterocope septentrionalis pour la première fois dans la partie nord-est du Canada (lac Garry, point d'échantillonnage 32). L'Eubosmina longispina a souvent été prélevée; cependant, cette espèce est absente du centre sud du Canada. Le Limnocalanus macrurus, considéré comme l'une des espèces les plus répandues dans le nord, n'a été trouvé que dans le lac Franklin.

Treize espèces ont été trouvées dans le lac Garry, soit un nombre relativement élevé pour un lac du nord. Dans l'ensemble, on a trouvé peu d'espèces dans le réseau fluvial de la rivière Back, sauf dans la rivière Montrésor (point d'échantillonnage 20). C'est dans cette même région que la plus grosse capture de grands corégones a été faite (tableau 1).

Composition chimique de l'eau:

Les données sur la composition chimique de l'eau sont présentées au tableau 3. Les points d'échantillonnage 31 et 32 étaient situés dans des petits lacs de la toundra, qui ne font pas partie du réseau fluvial de la rivière Back, tandis que les autres points d'échantillonnage se trouvaient dans le réseau fluvial.

Tableau 2. Crustacés planctoniques prélevés dans le réseau fluvial de la rivière Back (nombre d'individus par litre).

Point d'échantillonnage (figure 2)	6				12	13**	24	20	31	32**	%
Date	18/8/79				22/8/79	22/8/79	15/8/79	26/8/79	27/8/79	27/8/79	Fréquence
Profondeur (m)	9.0				9.0	1.5	6.0	4.0	4.0	1.5	
Copépodes											
Calanus											
Diaptomus ashlandi		.01	.02	.02	.04		.30	.12	.45		64
D. minutus		.09	.02	.02	.03		.02				45
D. pribilofensis		<.01	.02	.08	.03					.09	45
Heterocope septentrionalis	.03	<.01	.01	.01							45
Diaptomus sicilis		<.01	.02	✓						.01	45
Epischura lacustris		<.01	<.01	<.01	.01			<.01	2.10		45
Limnocalanus macrurus							<.01	<.01			36
Diaptomus oregonensis					.07						18
Diaptomidae copepodids	.50	.82	.59*	1.01*	.16			.05	10.78*	.01	9
Diaptomidae nauplii	.05	.10	.08	.04	.14		.02	.03	2.60		
Cyclopodes											
Cyclops scutifer	.63	.63	.20	.87	.07		.07	.03	2.28	<.01	.01	91
C. bicuspidatus thomasi	.53	.18	.22	.24	.57		.03	.13	.45			73
C. agilis (?)			.18	.08	.73	.04	.03	.03	3.40	<.01	.01	9
Cyclopidae copepodids	1.98	1.89	1.03	2.34	1.37		.30	.17	23.68		.01	
Cyclopidae nauplii											

à suivre...

Tableau 2 (suite)

Point d'échantillonnage (figure 2)	6				12	13**	24		20	31	32**	%
Date	18/8/79				22/8/79	22/8/79	15/8/79		26/8/79	27/8/79	27/8/79	Fréquence
Profondeur (m)	9.0				9.0	1.5	6.0		4.0	4.0	1.5	
Cladocères												
Daphnia longiremis	.04	.21	.12	.22	.14	.01	.01		.73		.01	82
Holopedium gibberum	.08	.08	.09	.11	.04	.01	.02	.02				73
Chydorus sphaericus	.01		.02	.02		.06	<.01			.01		55
Eubosmina longispina	.01	.03	.02	.04			.01	.01				55
Daphnia middendorffiana	.01	.01	.01	.01							.73	45
Acroperus harpae						.01						9
Bosmina longirostris					<.01							9
Nombre total d'individus par litre	3.87	4.05	2.65	5.11	3.40	0.13	0.81	0.59	46.47	0.02	0.87	
Nombre d'espèces	8	12	13	13	10	5	9	7	5	2	5	

*Identifiables comme copépodes de Diaptomus sicilis.

**Eaux peu profondes ou courant rapide - les échantillons de plancton ont été prélevés par une senne horizontale de surface

Tableau 3. Données sur la chimie de l'eau du système fluvial de la rivière Back

Point d'échantillonnage (figure 2)	6		12	13	24		20	31	32
Date	18/8/79		22/8/79	22/8/79	15/8/79		26/8/79	27/8/79	27/8/79
Heure	2100		0900	0900	1200		1345	0930	0930
Ensoleillement	Clair		Couvert	Couvert	Couvert		Clair	Couvert	Couvert
DONNÉES RECUEILLIES SUR LE TERRAIN									
Température de l'eau (°C)	7.2		6.0	6.0	7.0		5.0	5.0	3.0
Conductivité (umhos/cm)	11		-		11		-	-	-
Profondeur (m)	9.0		9.0	1.5	6.0		4.0	4.0	1.5
Profondeur déterminée à l'aide de disques Secchi	6.0		5.0		6.0		3.0	>4.0	>1.5
Couleur déterminée à l'aide de disques Secchi	Bleu clair royal		Vert foncé	-	Vert bleuâtre		Vert pâle	Vert émeraude	Vert pois
DONNÉES OBTENUES EN LABORATOIRE									
Taille de l'échantillon de l'eau	4		1	1	2		1	1	1
	Moyenne	Intervalle			Moyenne	Intervalle			
pH	6.325	6.30 -6.40	6.10	6.00	6.50	6.40 -6.60	5.90	4.50	5.90
Azote dissous total (µg/L)	292.5	250 - 340	310	270	360	350 - 370	360	220	340
Phosphore dissous total (µg/L)	13.8	12 - 15	17	15	38	30 - 46	15	13	15
MATIÈRES NUTRITIVES (µg/L)									
Carbone en suspension	545	320 - 920	240	220	665	290 - 1040	190	240	440
Azote en suspension	52.5	46 - 72	28	30	44.5	29 - 60	58	55	58
Phosphore en suspension	3	2 - 4	5	3	3.5	3 - 4	4	4	8
Chlorophylle A	1.55	1.5 - 1.6	1.8	1.8	1.55	1.5 - 1.6	0.5	1.0	2.0

à suivre...

Tableau 3. (suite)

Point d'échantillonnage (figure 2)	6		12	13	24		20	31	32
Date	18/8/79		22/8/79	22/8/79	15/8/79		26/8/79	27/8/79	27/8/79
Heure	2100		0900	0900	1200		1345	0930	0930
Ensoleillement	Clair		Couvert	Couvert	Couvert		Clair	Couvert	Couvert
IONS PRINCIPAUX (mg/L)									
Sodium	0.605	0.56-0.64	0.71	0.58	0.865	0.90-0.83	3.07	1.10	1.11
Potassium	0.29	0.27-0.31	0.38	0.27	0.445	0.35-0.54	0.54	0.19	0.23
Magnésium	0.625	0.62-0.63	0.62	0.59	0.655	0.65-0.66	1.04	0.29	0.52
Calcium	1.203	1.17-1.26	1.26	1.26	1.26	1.21-1.31	1.54	0.65	1.07
Chlorure	0.9	0.8-1.2	0.8	0.8	1.1	1.0-1.2	4.4	1.0	1.0
Sulfate	2.2	1.6-2.4	3.4	2.6	1.2	1.2-1.2	4.8	4.8	3.4

2. RÉSEAUX FLUVIAUX SE DÉVERSANT DANS LE GOLFE REINE-MAUD

Généralités:

Les rivières qui se jettent dans le golfe Reine-Maud coulent en direction du nord et drainent des terres jusqu'à 200 km à l'intérieur (figure 1). Les terres qui se trouvent directement au sud de cette région sont drainées par le réseau fluvial de la rivière Back. L'échantillonnage a été effectué dans six réseaux différents (figure 3).

Le réseau échantillonné à l'extrême-ouest draine une superficie d'environ 3000 km^2 et prend sa source dans un grand lac à 130 km à l'intérieur des terres. Immédiatement à l'est de cette région, un réseau beaucoup plus petit, n'ayant qu'un drainage de 100 km^2, a été échantillonné.

Parmi les cours d'eau qui se jettent dans le golfe Reine-Maud, la rivière Perry est l'une des plus importantes et draine une superficie totale de 16 000 km^2, un certain nombre de grands lacs dont le plus vaste est le lac MacAlpine. À 51 km en amont de l'embouchure de la rivière Perry, se trouve une série de chutes. Les terres situées en amont de celles-ci sont plutôt ondulées, tandis que le cours inférieur de la rivière Perry coule dans des terres plates et présente des rives très basses.

La rivière Simpson et son gros affluent, le Kangowan, drainent une superficie d'environ 14 000 km^2. Le cours inférieur de la rivière Simpson traverse des plaines, mais ses rives de limon sont relativement escarpées. La majeure partie de l'échantillonnage a été effectuée à moins de 10 milles de l'embouchure, mais un important lac dans le cours supérieur, situé à 130 km en amont, a également été échantillonné.

Les lacs à la source des réseaux fluviaux des rivières McNaughton et Kaleet ont été échantillonnés. La rivière McNaughton se jette dans la baie McLoughlin et draine une superficie d'environ 4000 km^2. La rivière Kaleet se jette dans le bassin Sherman et draine une superficie d'environ 3000 km^2. Aucune donnée sur le débit de ces systèmes n'a été obtenue.

Ressources halieutiques:

Dix-neuf filets ont ét mouillés dans les réseaux fluviaux qui se déversent dans le golfe Reine-Maud. L'échantillonnage a été effectué entre les 22 et 26 août 1979. Les points d'échantillonnage sont présentés à la figure 3 et les données sur la répartition des espèces par point d'échantillonnage figurent au tableau 4. Les points d'échantillonnage 1 à 10 se trouvent à moins de 75 km de la côte et les points d'échantillonnage 11 à 19 sont situés plus à l'intérieur des terres. L'annexe 1 présente la répartition des espèces de la région étudiée, incluant les données d'échantillonnage du programme ALUR et celles provenant d'autres sources. Les données brutes sont présentées à l'annexe 4.

Les chutes de la rivière Perry représentent sans aucun doute un obstacle à la rémontée. Aucun poisson n'a été capturé dans le filet 9, qui a été mouillé dans un lac peu profond, relié à la rivière Simpson par un cours d'eau intermittent. Aucun poisson n'a été capturé non plus dans le filet mouillé dans la rivière Kaleet.

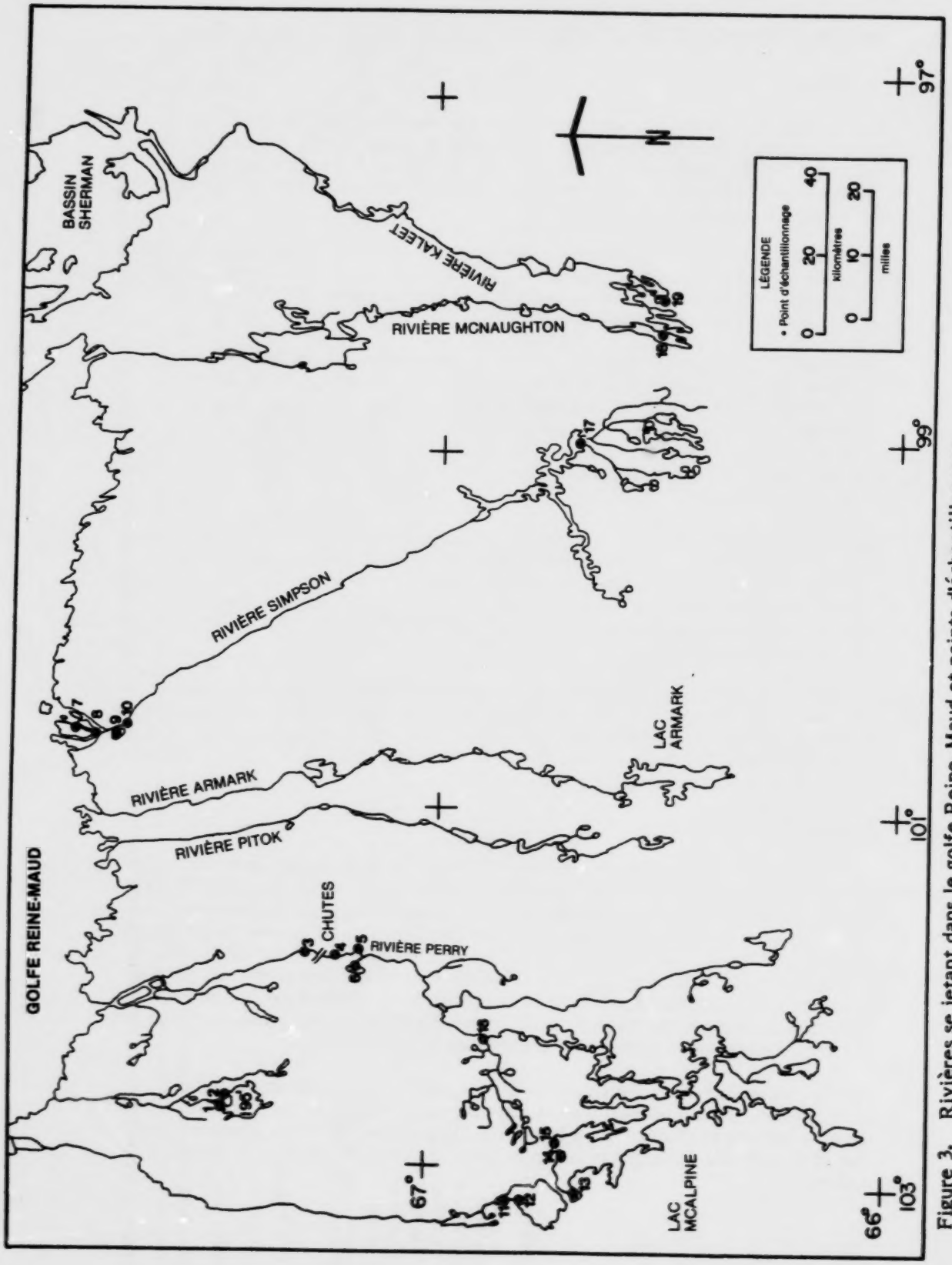

Figure 3. Rivières se jetant dans le golfe Reine-Maud et points d'échantillonnage

Tableau 4. Répartition des espèces par site d'échantillonnage dans les rivières se jetant dans le golfe Reine-Maud

Mouillage	Date	Point d'échantillonnage	Durée (heures)	Espèces et prises															
				Truite grise	Ombre arctique	Grand corégone	Ménomini rond	Cisco de lac	Cisco sardinelle	Cisco arctique	Ombre arctique	Meunier rouge	Lotte	Épinoche à neuf épines	Chabot de profondeur	Plie arctique	Morue dentée	Morue safran
1	23/8/79	67°27'N x 102°43'W	14	5														
2	23/8/79	67°26'N x 102°42'W	14	6		7	2	5										
3	23/8/79	67°13'N x 101°51'W	14	6		2		1				6						
4	23/8/79	67°12'N x 101°51'W	14									1						
5	23/8/79	67°10'N x 101°51'W	14	3				1				3						
6	23/8/79	67°10'N x 101°55'W	14								3			1				
7	25/8/79	67°48'N x 100°37'W	14						1						190	7	4	1
8	25/8/79	67°45'N x 100°38'W	14	4		1			2	9					34	4		1
9	25/8/79	67°42'N x 100°38'W	14															
10	25/8/79	67°42'N x 100°36'W	14	1						2					1			
11	24/8/79	66°49'N x 103°10'W	17	5		11		2					1					
12	24/8/79	66°43'N x 103°10'W	17	7		7		3										
13	24/8/79	66°46'N x 103°07'W	16.5				19											
14	24/8/79	66°46'N x 102°58'W	16.5	1														
15	24/8/79	66°37'N x 102°51'W	16	9		2		1										
16	24/8/79	66°52'N x 102°17'W	16	13		4						7	2	1*				
17	26/8/79	66°42'N x 98°58'W	16.5		1	1			12									
18	26/8/79	66°32'N x 98°23'W	16.5	10		4												
19	26/8/79	66°32'N x 98°12'W	16.5															
		Total		70	1	39	21	13	15	11	3	17	3	2	225	11	4	2

*Échantillon provenant de l'estomac d'une truite grise

La truite grise est l'espèce capturée le plus souvent et la plus abondante. Généralement, elle est plus abondante dans le cours supérieur des rivières que près de la côte. Le nombre des reproducteurs était de moins de la moitié des non-reproducteurs matures. Le frai se produit probablement en septembre. Les restes de poissons représentent le principal aliment. Des trichoptères et un petit mammifère ont également été trouvés dans l'estomac des truites.

La présence du grand corégone était également assez abondante et fréquente. À l'instar de la truite grise, il était plus abondant dans les lacs situés dans le cours supérieur des rivières que près de la côte. Les mâles et les femelles ont été capturés en nombre égal. La plupart des individus matures étaient en état de se reproduire ou tout près de l'être.

Le ménomini rond et le cisco de lac ont été trouvés à la fois dans les cours supérieur et inférieur de la rivière Perry. Tous les ménominis ronds matures capturés étaient en état de se reproduire.

Le cisco sardinelle a été trouvé à la fois dans les cours supérieur et inférieur de la rivière Simpson. Le ménomini rond, le cisco de lac et le cisco sardinelle sont probablement répandus dans toutes les rivières de cette région.

Le cisco arctique était présent dans le cours inférieur de la rivière Simpson. Cette espèce est probablement répandue dans le golfe Reine-Maud et dans les parties calmes du cours inférieur des rivières qui se jettent dans le golfe. Les spécimens capturés à l'embouchure de la rivière Simpson étaient immatures ou en état de frayer.

Les autres espèces de poissons d'eau douce les plus répandues dans ces rivières sont l'ombre arctique, le meunier rouge, la lotte et l'épinoche à neuf épines. En raison de la nature limitée de cette étude, seuls quelques spécimens de chacune de ces espèces ont été capturés.

Les espèces de poissons marins répandus dans le golfe et à l'embouchure des rivières sont le chabot de profondeur, la plie arctique, la morue dentée et la morue safran.

Crustacés planctoniques:

Les échantillons ont été prélevés dans onze points d'échantillonnage dans les réseaux se déversant dans le golfe Reine-Maud (tableau 5). Au total, seize espèces ont été trouvées.

Le Daphnia logiremis, le Diaptomus ashlandi et le Diatomus sicilis sont les espèces les plus courantes et sont considérées comme les espèces types des lacs du nord du Canada (K. Patalas, communication personnelle). On estime que les espèces Diaptomus minutus et Cyclops bicuspidatus thomasi se trouvent à la limite nord de leurs habitats. Une espèce rare, l'Eurytemora canadensis, était présente dans le réseau fluvial de la rivière Simpson. Le Limnocalanus macrurus, considéré comme l'une des espèces les plus répandues dans le nord, n'a été trouvé que dans un petit lac sans nom, près de la côte (point d'échantillonnage 1).

Tableau 5. Crustacés planctoniques prélevés dans les rivières se jetant dans le golfe Reine-Maud (nombre d'individus par litre)

Point d'échantillonnage (figure 3)	1	3	7**	11**	14	16**	17	18	19	%
Date	23/8/79	23/8/79	25/8/79	24/8/79	24/8/79	24/8/79	26/8/79	26/8/79	26/8/79	Fréquence
Profondeur (m)	9.0	4.5	1.0	1.5	8.5	4.0	3.0	3.5	4.0	
Copépodes										
Calanus										
Diaptomus ashlandi	.05	.03			.04					27
D. sicilis					.35		.03			27
Limnocalanus macrurus	.06	.08								18
Eurytemora canadensis							.01			9
Diaptomus minutus				.01						9
D. arcticus							<.01			9
Diaptomidae copepodids	2.43	1.80	.07	.01	2.99		.01			
Diaptomidae nauplii	1.01	.85			.11					
Cyclopodes										
Cyclops bicuspidatus thomasi				.06				.26		18
C. scutifer			.06		.02					18
C. vernalis	<.01								.05	18
Cyclopidae copepodids	.12	.13	.03	5.60	9.41			8.37*	1.00	
Cyclopidae nauplii	.06	.05		11.87	.46				7.05	

à suivre...

Tableau 5. (suite)

Point d'échantillonnage (figure 3)	1	3	7**	11**	14	16**	17	18	19	%
Date	23/8/79	23/8/79	25/8/79	24/8/79	24/8/79	24/8/79	26/8/79	26/8/79	26/8/79	fréquence
Profondeur (m)	9.0	4.5	1.0	1.5	8.5	4.0	3.0	3.5	4.0	
Cladocères										
Daphnia longiremis			.03	0.6	.77		.03	.01	5.67	55
Holopedium gibberum				.06	<.01					18
Bosmina longirostris				1.13						9
Branchinecta palludosa									.55	9
Macrotrix hirsuticornis									.05	9
Eubosmina longispina					.04					9
Daphnia middendorffiana					<.01					9
Nombre total d'individus par litre	3.73	2.94	0.00	0.00	0.19	19.34	14.19	0.00	0.08	8.64	14.37	
Nombre d'espèces	3	2			2	5	7		4	3	4	

*Identifiables comme copépodes du Diaptomus sicilis.

**Eaux peu profondes ou courants rapides - échantillons de plancton prélevés à l'aide d'une senne horizontale de surface

Le plus grand nombre d'espèces, soit sept, a été trouvé au point d'échantillonnage 14, dans le lac MacAlpine. Les échantillons prélevés dans la rivière Perry (points d'échantillonnage 3 et 16), qui draine le lac MacAlpine, ne contenaient aucun crustacé planctonique.

Composition chimique de l'eau:

Les données sur la composition chimique de l'eau sont présentées au tableau 6.

Tableau 6. Données sur la composition chimique de l'eau des rivières se jetant dans le golfe Reine-Maud

Points d'échantillonnage (figure 3)	1		3		7	11	14	16	17	18	19
Date	23/8/79		23/8/79		25/8/79	24/8/79	24/8/79	24/8/79	26/8/79	26/8/79	26/8/79
Heure	1000		1030		1600	1900	1920	1920	1300	1315	1330
Ensoleillement	Couvert		Couvert		Couvert	Couvert	Couvert	Couvert	Clair	Clair	Clair
DONNÉES RECUEILLIES SUR LE TERRAIN											
Température de l'eau (°C)	6.8		8.8		-	-	7.8	8.2	5.0	5.5	5.0
Conductivité (mhos/cm)	2.5		9		-	-	12	14	-	-	-
Profondeur (m)	9.0		4.5		1.0	1.5	8.5	4.0	3.0	3.5	4.0
Profondeur déterminée par disque Secchi (m)	5.5		0.5		0.2	0.6	>8.5	0 5	0.1	0.2	0.15
Couleur déterminée par disque Secchi	Vert pâle		Vert pâle brouillé		Beige crémeux	Vert pâle brouillé	Vert clair	Vert pâle brouillé	Beige crémeux	Brun crémeux	Brun crémeux
DONNÉES OBTENUES EN LABORATOIRE											
Volume de l'échantillon d'eau	2		2		1	1	1	1	1	1	1
	Moyenne	Intervalle	Moyenne	Intervalle							
pH	6.35	6.30-6.40	6.00	5.60-6.40	6.00	5.90	5.90	5.80	6.00	6.30	6.20
Azote dissous, total (µg/L)	225	220 - 230	245	200 - 290	410	280	180	210	410	300	390
Phosphore dissous, total (µg/L)	14	14 - 14	16.5	16 - 17	30	16	14	17	54	18	23
MATIÈRES NUTRITIVES (µg/L)											
Carbone en suspension	570	100 - 1040	435	280 - 590	760	340	220	320	340	340	440
Azote en suspension	40	37 - 43	30	25 - 35	123	53	28	33	60	78	71
Phosphore en suspension	3	3 - 3	13.5	13 - 14	60	8	4	10	148	27	42
Chlorophylle A	1.4	1.4 - 1.4	1.5	1.4 - 1.6	3.4	1.8	0.7	1.2	11.4	2.3	2.6
IONS PRINCIPAUX (mg/L)											
Sodium	4.185	4.13-4.24	1.735	1.71-1.76	385	4.93	0.88	1.28	16.1	3.15	3.03
Potassium	0.51	0.50-0.52	0.34	0.33-0.35	14.7	0.63	0.21	0.29	2.82	0.48	0.77
Magnésium	0.985	0.98-0.99	0.61	0.61-0.61	48.0	1.26	0.49	0.52	3.34	0.75	1.69
Calcium	1.17	1.17-1.17	0.75	0.75-0.75	19.4	1.21	0.75	0.75	2.15	0.98	1.49
Chlorure	7.6	7.2 - 8.0	2.7	2.4 - 3.0	730	9.4	2.0	2.0	24.4	5.2	6.2
Sulfate	1.3	0.8 - 1.8	1.7	0.8 - 2.6	92.0	0.8	0.6	1.6	2.4	1.4	1.4

3. RIVIÈRE THELON

Généralités:

La rivière Thelon est située dans la partie sud-ouest de la région étudiée (figure 1). Elle prend sa source dans le lac Whitefish (altitude 361 m) et coule en direction du nord puis de l'est, pour se jeter finalement dans la partie ouest du lac Baker. La rivière Thelon a une longueur totale de 675 km et draine 100 000 km^2 de toundra. Seul le cours inférieur de la rivière Thelon est compris dans la région étudiée.

Des peuplements d'épinettes noires sont clairsemés le long de la rivière Thelon du confluent de la rivière Hanbury jusqu'en aval du lac Beverly. Le fond dans cette partie de la rivière est généralement constitué de gravier et de nombreux hauts-fonds et de bancs de sable. Les rives de sable et de gravier sont entourées par des collines ondulées et des eskers. Cette partie de la rivière Thelon a des eaux très claires.

Un débit quotidien maximal de 1610 m^3/s a été relevé, le 30 juin 1978, sur la rivière Thelon par une station d'échantillonnage de la division des Relevés hydrologiques du Canada (64°32'N x 101°23'0) (fig. 1). Le débit mensuel moyen maximal (1040 m^3/s) a été relevé en juillet 1978 et le débit minimal (7 m^3/s), à la fin de février et en mars (Direction générale des eaux intérieures, 1979).

Ressources halieutiques:

Six filets ont été mouillés dans la rivière Thelon du 29 au 31 août 1979. Les points d'échantillonnage sont présentés à la figure 4 et les données sur la répartition des espèces par point d'échantillonnage paraissent au tableau 7. L'annexe 1 présente la répartition des espèces de la région étudiée, incluant à la fois les données d'échantillonnage du programme ALUR et celles provenant d'autres sources. Les données brutes sont présentées à l'annexe 4.

La truite grise et le grand corégone sont les espèces le plus souvent rencontrées dans la rivière Thelon, au cours de notre étude. De ces deux espèces, le grand corégone est le plus abondant. Nous avons prélevé presque deux fois plus de mâles que de femelles du grand corégone et une plus grande proportion de mâles étaient en état de se reproduire. Les mâles et les femelles de la truite grise ont été capturés en nombre égal. L'estomac des truites contenait surtout des restes de poissons.

Les mâles et les femelles du ménomini rond ont été capturés en nombre égal. Les autres espèces capturées sont: le meunier rouge, l'ombre arctique, le grand brochet, le cisco de lac, l'épinoche à neuf épines et le chabot visqueux.

Crustacés planctoniques:

Le plancton a été prélevé à quatre points d'échantillonnage le long de la rivière Thelon. Au total, douze espèces ont été trouvées. Le Diaptomus sicilis, le Cyclops scutifer et la Daphnia longiremis sont les espèces le plus souvent observées et on considère qu'elles sont caractéristiques des lacs du nord du Canada.

Les données sont présentées au tableau 8.

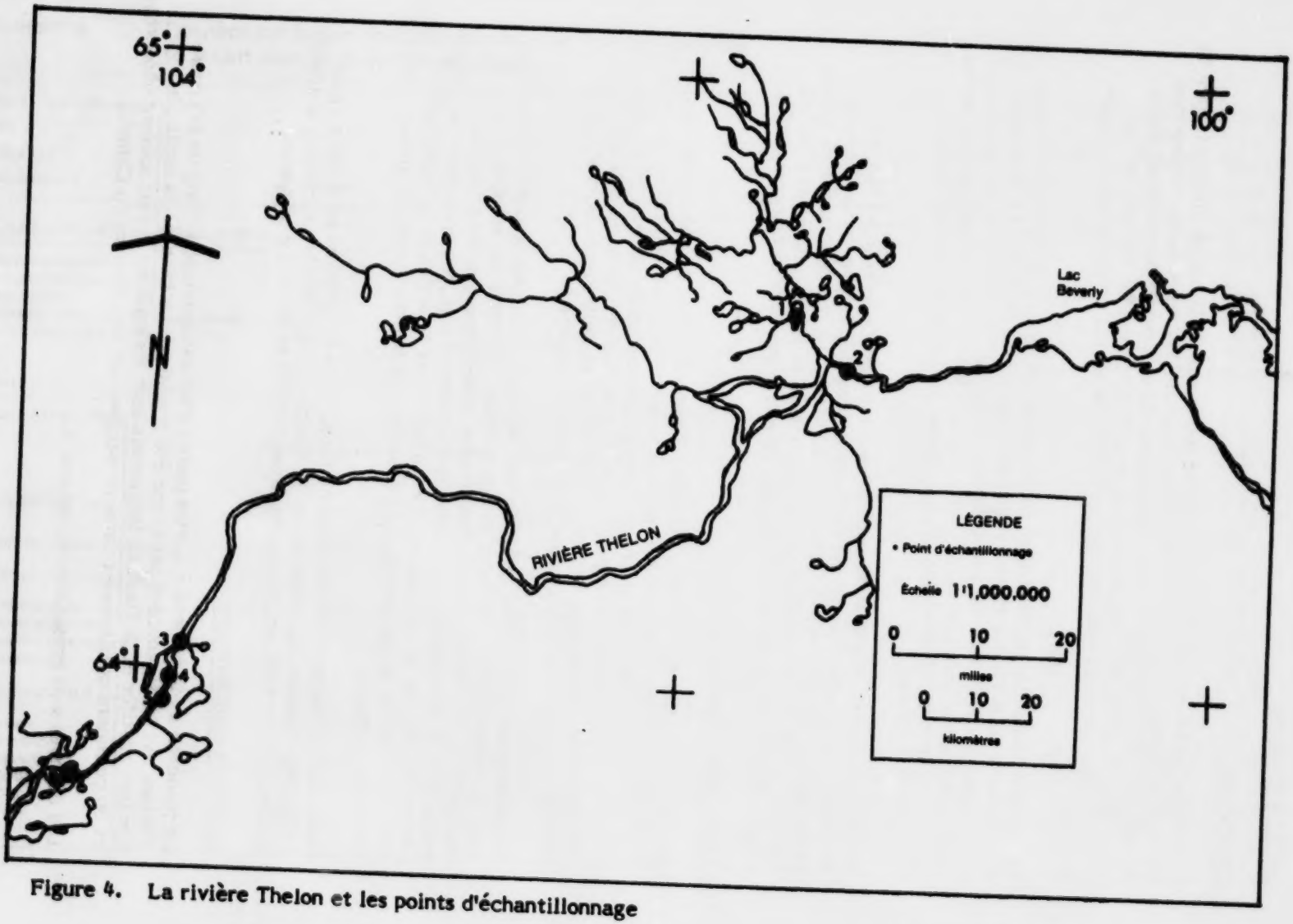

Figure 4. La rivière Thelon et les points d'échantillonnage

Tableau 7. Répartition des espèces par point d'échantillonnage dans la rivière Thelon

Mouillage	Date	Point d'échantillonnage	Durée (heures)	Espèces et prises								
				Truite grise	Grand corégone	Ménomini rond	Cisco de lac	Ombre arctique	Grand brochet	Meunier rouge	Épinoche à neuf épines	Chabot visqueux
1	30/8/79	64°37'N x 101°36'W	35	3	6	2					1*	
2	30/8/79	64°32'N x 101°25'W	35	2	4					1		
3	31/8/79	64°02'N x 103°51'W	15			2		1				
4	31/8/79	63°58'N x 103°53'W	14.5	6	6	8				8		
5	31/8/79	63°57'N x 103°54'W	13.5	1	7				2			
6	31/8/79	63°47'N x 104°11'W	13	1	9		1	2	1			1
		Total		13	32	12	1	3	3	9	1	1

*Échantillon provenant de l'estomac d'une truite grise

Tableau 8. Crustacés planctoniques provenant de la rivière Thelon (nombre d'individus par litre).

Point d'échantillonnage (figure 4)	3	4		5	%
Date	31/8/79	31/8/79		31/8/79	Fréquence
Profondeur (m)	2.5	8.0		2.5	
Copépodes					
Calanus					
Diaptomus sicilis		<.01		.01	50
D. minutus	11.72				25
Epischura lacustris	.36				25
Diaptomus pribilofensis			<.01		25
D. ashlandi				<.01	25
Diaptomidae copepodids	2.92	<.01		3.76	
Diaptomidae nauplii		.03			
Cyclopodes					
Cyclops scutifer	.88	<.01		.01	75
C. bicuspidatus thomasi	1.80				25
Cyclopidae copepodids	.88	<.01	<.01	.07	
Cyclopidae nauplii	23.64	.08		.32	
Cladocères					
Daphnia longiremis	4.72			.01	50
Bosmina longirostris	1.60				25
Chydorus sphaericus				.04	25
Daphnia middendorffiana	<.01				25
Eubosmina longispina		<.01			25
Nombre total d'individus par litre	48.52	0.11	<0.01	4.22	
Nombre d'espèces	7	3	1	5	

Composition chimique de l'eau:

Les données sur la composition chimique de l'eau sont présentées au tableau 9.

Tableau 9. Données sur la composition chimique de l'eau de la rivière Thelon

Point d'échantillonnage (figure 5)	3	4		5
Date	31/8/79	31/8/79		31/8/79
Heure	0945	0940		0930
Ensoleillement	couvert	couvert		couvert
DONNÉES RECUEILLIES SUR LE TERRAIN				
Température de l'eau (°C)	6.9	6.9		7.5
Conductivité (hmos)	-	-		-
Profondeur (m)	2.5	8.0		2.5
Profondeur déterminée par disque Secchi (m)	>2.5	5.5		>2.5
Couleur déterminée par disque Secchi	Vert pomme	Vert pomme		Vert bleuâtre foncé
DONNÉES OBTENUES EN LABORATOIRE				
Volume de l'échantillon d'eau	1	2		1
		Intervalle		
pH	6.20	6.20	6.20-6.20	6.00
Azote dissous, total (µg/L)	260	305	290 - 320	310
Phosphore dissous, total (µg/L)	10	11	9 - 13	7
MATIÈRES NUTRITIVES (ug/L)				
Carbone en suspension	330	300	290 - 310	420
Azote en suspension	53	53	38 - 68	68
Phosphore en suspension	4	5.5	5 - 6	10
Chlorophylle A	2.2	1.95	1.9 - 2.0	3.0
IONS PRINCIPAUX (mg/L)				
Sodium	0.72	0.74	0.61-0.87	0.80
Potassium	0.33	0.32	0.31-0.33	0.36
Magnésium	0.64	0.65	0.64-0.66	0.77
Calcium	1.59	1.585	1.54-1.63	1.77
Chlorure	1.6	1.6	1.6 - 1.6	1.8
Sulfate	1.0	1.1	1.0 - 1.2	1.4

4. RIVIÈRE QUOICH

Généralités:

La rivière Quoich prend sa source à l'ouest de la baie Wager, coule en direction du sud sur 310 km et se jette dans la partie nord-ouest de l'inlet Chesterfield. Elle draine une superficie de 30 000 km^2, englobant le lac Tehek, situé à 60 km au nord du lac Baker. Les chutes Ste-Claire, situées près de l'embouchure de la rivière Quoich, font probablement obstacle à la remontée des poissons.

Une débit quotidien maximal de 1669 m^3/s a été relevé le 9 juillet 1978 sur la rivière Quoich par une station d'échantillonnage de la division des Relevés hydrologiques du Canada (64°27'N x 94°07'0) (fig. 1). Le débit mensuel moyen maximal (1087 m^3/s) a été relevé en juillet et le débit minimal (0,8 m^3/s), dans les mois de février et mars (Direction générale des eaux intérieures, 1979).

Ressources halieutiques:

Six filets ont été mouillés dans la rivière Quoich les 20 et 21 août 1979. Les points d'échantillonnage sont présentés à la figure 5 et les données sur la répartition des espèces par point d'échantillonnage paraissent au tableau 10. L'annexe 1 présente la répartition des espèces de la région étudiée, incluant à la fois les données d'échantillonnage du programme ALUR et celles provenant d'autres sources. Les données brutes sont présentées à l'annexe 4.

La truite grise et le grand corégone sont les espèces le plus souvent rencontrées dans la rivière Quoich au cours de notre étude. De ces deux espèces, la truite grise était la plus abondante. Les mâles et les femelles ont été capturés en nombre égal, mais seulement quelques individus étaient en état de se reproduire. Le contenu stomacal était le plus souvent composé de restes de poissons. On a trouvé également des chrysalides et des larves d'insectes (diptères et trichoptères) et à l'occasion des pélécypodes et de petits mammifères. On a capturé plus de mâles que de femelles du ménomini rond, mais la plupart des poissons étaient en état de se reproduire.

Les autres espèces trouvées comprennent: l'ombre arctique, l'omble arctique et le chabot visqueux. L'omble arctique provenait probablement de lacs intérieurs.

Crustacés planctoniques:

Un échantillon a été prélevé le 21 août 1979 au confluent des rivières Quoich et Tehert (point d'échantillonnage 5, figure 5). L'échantillon a été prélevé en aval des rapides, dans 4,5 m d'eau et ne contenait aucun crustacé planctonique.

Composition chimique de l'eau:

Les données sur la composition chimique de l'eau sont présentées au tableau 11.

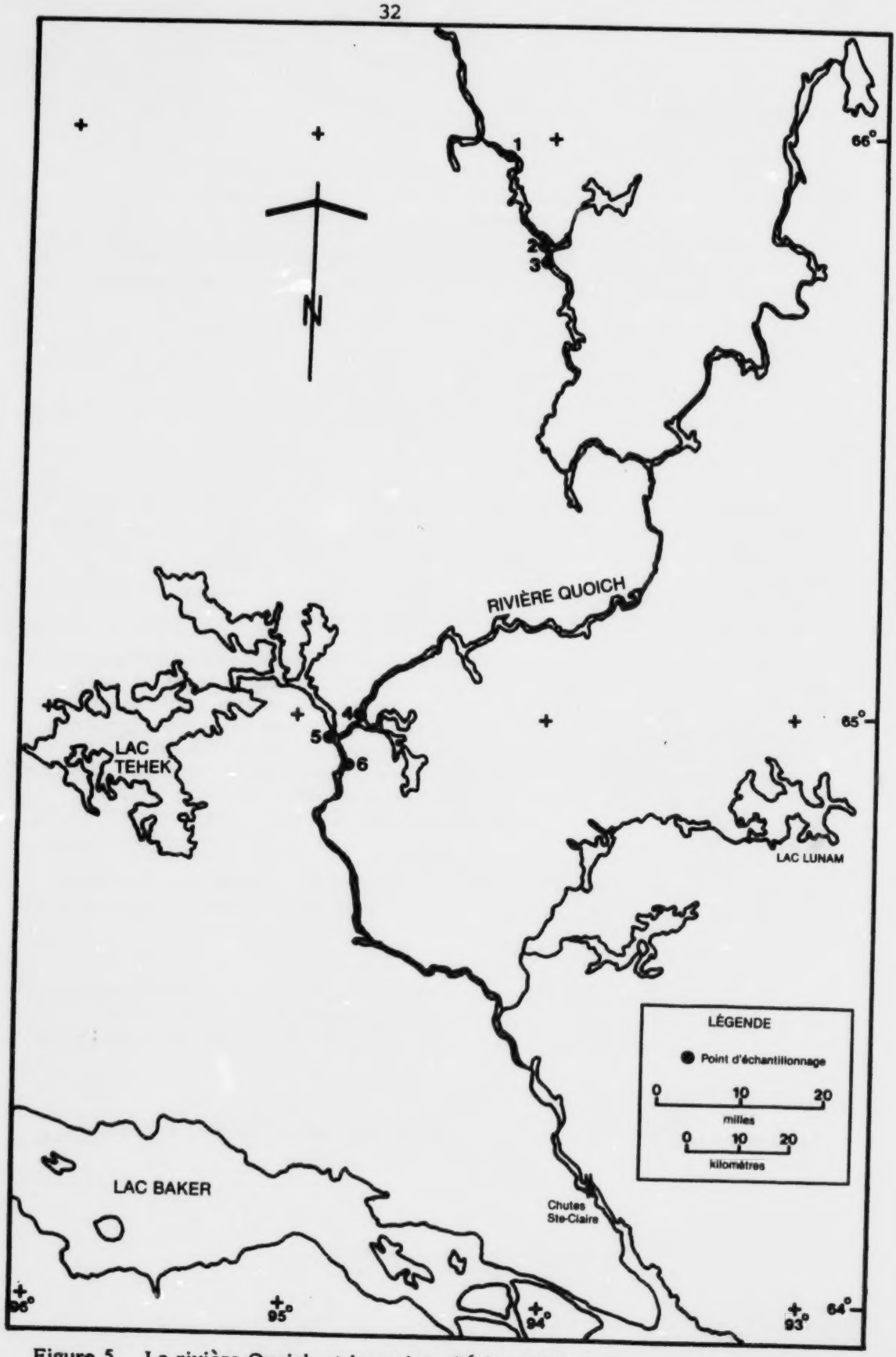

Figure 5. La rivière Quoich et les points d'échantillonnage

Tableau 10. Répartition des espèces par point d'échantillonnage dans la rivière Quoich

Mouillage	Date	Point d'échantillonnage	Durée	Espèces et prises					
				Truite grise	Omble arctique	Ménomini rond	Ombre arctique	Chabot visqueux	Espèces de chabot
1	21/8/79	65°58'N x 94°11'W	53	11		8			2
2	21/8/79	65°48'N x 94°02'W	53	6	1	2			
3	21/8/79	65°47'N x 94°00'W	53	10		6			1
4	21/8/79	65°02.5Nx 94°42'W	46.5	21		1	2	9	
5	21/8/79	64°50'N x 94°51'W	45	17		4			
6	21/8/79	64°56'N x 94°48'W	45	15		1			
		Total		80	1	22	2	9	3

Tableau 11. Données sur la composition chimique de l'eau de la rivière Quoich

Point d'échantillonnage (figure 4)	5
Date	21/8/79
Ensoleillement	Couvert

DONNÉES RECUEILLIES SUR LE TERRAIN

Température de l'eau (°C)	8.5
Conductivité (umhos)	8
Profondeur (m)	4.5
Profondeur déterminée par disque Secchi (m)	>4.5
Couleur déterminée par disque Secchi	Vert pâle

DONNÉES OBTENUES EN LABORATOIRE

Volume de l'échantillon de l'eau 4

	Moyenne	Intervalle
pH	6.35	6.30 - 6.40
Azote dissous, total (ug/L)	202.5	180 - 240
Phosphore dissous, total (ug/L)	15	13 - 18
MATIÈRES NUTRITIVES (ug/L)		
Carbone en suspension	407.5	120 - 800
Azote en suspension	-23.3	<3 - 49
Phosphore en suspension	-	<1 - 2
Chlorophylle A	0.48	0.4 - 0.5
IONS PRINCIPAUX (mg/L)		
Sodium	0.672	0.61 - 0.75
Potassium	0.22	0.21 - 0.25
Magnésium	0.247	0.24 - 0.25
Calcium	0.70	0.70 - 0.70
Chlorure	0.8	0.8 - 0.8
Sulfate	1.05	0.8 - 1.4

ANNEXE I

CARTES DE LA RÉPARTITION DES ESPÈCES DE POISSONS

Les rapports sur les espèces de la région étudiée en 1979 ont été compilés et ont été indiqués sur les cartes de répartition. Les points d'échantillonnage et les limites de l'étude de 1979 sont présentés à la figure 6. Sur chacune des cartes suivantes de répartition (figure 7 à 21), les points d'échantillonnage des espèces sont marqués par un cercle noir ou un chiffre. Les cercles noirs (●), les triangles pleins (▲) et les carrés plein (■) se rapportent respectivement aux relevés effectués dans le cadre des programmes ALUR de 1979, 1978 (MacDonald et Fudge, 1979) et 1977 (Stewart et MacDonald, 1978). Les données recueillies par d'autres études sont indiquées par des chiffres dans des cases, chacun représentant la fréquence d'une espèce. Pour éviter les répétitions, la référence ne porte que sur le premier rapport de la présence d'une espèce dans une région.

RÉPARTITION DE LA TRUITE GRISE, Salvelinus namaycush Walbaum (fig. 7)

La truite grise est l'espèce qui a été rencontrée le plus souvent, en 1979, au cours de l'étude sur le terrain. Elle a été trouvée dans chacun des réseaux de la région qui ont été étudiés.

La cinquième expédition de Thulé signale la capture de truites grises dans le lac Baker (1; Pflaff, 1937) et Clarke (1940), au cours d'une étude biologique dans la réserve de chasse de Thelon, a capturé des truites grises au chalet Hornby (2) et dans la rivière Thelon entre les lacs Beverly et Aberdeen (3). Sprules (1952) signale la présence de truites grises dans la rivière Wilson (4) et dans le lac Whiterock (5). Les données de l'étude effectuée dans la toundra en 1959, exposées par Johnson, indiquent la capture de truites grises dans les lacs Meliadine (6), Maze (7), Dubawnt (8), MacDougall (9), Beverly (10), et Maguse (11). Brack et al, (1963) a trouvé des truites grises dans la rivière Meliadine (12) et dans la baie Barbour (13) dans l'inlet Chesterfield. La truite grise a été capturée également dans les lacs Kaminuriak (14; Bond 1975), Nanau (15), Schultz (16), et Thirty Mile (17) et dans les rivières Thelon (18), Meadowbank (19), et Kazan (20) (McLeod et al, 1976). Deux études effectuées dans le district de Keewatin sur l'impact des pipelines signalent la présence de truites grises dans les lacs Whitehills (21), Pitz (22), et Forde (23), dans la rivière Murchison (24) (Lawrence et al, 1977), et dans les rivières Hayes (25), Herman (26), Prince (27), Akutuak (28), et Bunker (29) (Hatfield et al, 1977). Les opérations de pêche expérimentale et de piégeage, effectuées dans le cadre de la gestion des pêches de 1974 à 1976, ont permis de capturer des truites grises dans le lac et la rivière Diana (30) et près de Sandy Point (31) sur la côte ouest de la baie d'Hudson (R. Peet, communication personnelle). Les habitants de l'inlet Chesterfield pêchent, en hiver et en été, des truites grises dans les nombreux lacs et rivières (32) qui se jettent dans l'inlet près de leur agglomération. (H. Welch, communication personnelle.)

RÉPARTITION DE L'OMBLE ARCTIQUE, Salvelinus alpinus (Linnaeus) (fig. 8)

On trouve l'omble arctique à la fois dans les populations anadromes et les populations non migratrices.

L'omble arctique descend vers la mer, au printemps, et remonte à l'automne, pour frayer et passe l'hiver dans des lacs d'eau douce. Le degré d'utilisation des rivières et des cours d'eau côtiers est déterminé par l'accessibilité des routes de migration et des frayères adéquates. Les obstacles connus à la migration de l'omble anadrome

comprennent les chutes Kazan sur la rivière du même nom, les chutes de la rivière Perry et probablement les chutes Ste-Claire sur la rivière Quoich.

Malgré l'absence d'obstacles connus, l'omble arctique n'a pas été capturé en amont du lac Beverly sur la rivière Thelon.

L'omble arctique non migrateur se trouve habituellement dans les réseaux isolés de la mer. Nos données laissent croire que le cours supérieur de la rivière Quoich comprend une telle population.

Les lacs fréquentés par l'omble arctique sont les suivants: Baker (1; Pflaff 1937), Whiterock (2), Littlefish (3; Sprules 1952), Peter (4; Johnson, données inédites), Armit (5), Beverly (6), Beechey (7; McPhail, 1961), MacDougall (8), Aberdeen (9), Dubawnt (10; Kahn et Qadri, 1971), Maze (11), Maguse (12; Johnson, 1976), Whitehills (13; Lawrence et al, 1977) et Meliadine (14; R. Peet, communication personnelle).

Clarke (1940) a capturé l'omble arctique dans la rivière située entre les lacs Aberdeen et Schultz (15). Il existe également dans les rivières Wilson (16; Sprules 1952), Meliadine (17; Brack et al, 1963), Thelon (18; McLeod et al, 1976), Murchison (19; Lawrence et al, 1977), Hayes (20), Prince (21) et Herman (22; Hatfield et al, 1977).

La plupart des baies saumâtres et salées le long du golfe Reine-Maud, de la baie d'Hudson et de l'inlet Chesterfield comprennent des populations d'omble arctique. La pêche familiale ou commerciale est souvent pratiquée dans ces régions.

RÉPARTITION DU GRAND CORÉGONE, Coregonus clupeaformis (Mitchill) (fig. 9)

Les seuls endroits qui ne soient pas fréquentés par le grand corégone sont la rivière Quoich et d'autres rivières qui se jettent dans la partie nord de l'inlet Chesterfield. Sauf cette exception, le grand corégone est réparti dans toute la région étudiée.

Le grand corégone a été capturé dans les lacs Dubawnt (1; Tyrell 1896), Baker (2), Aberdeen (3; Critchell-Bullock 1931), Maguse (4), MacDougall (5), Beverly (6; Johnson 1976), Kaminuriak (7; Bond 1975), Whitehills (8), Pitz (9), Thirty Mile (10) et Forde (11) (Lawrence et al, 1977). Il se trouve également dans les rivières Thelon (12), Hayes (13; Hatfield et al, 1977) et Murchison (14) (Lawrence et al, 1977). Le long de la côte de la baie d'Hudson, le lac Diana (15) et Sandy Point (16) comptent l'un et l'autre des populations de grands corégones (R. Peet, communication personnelle). Le grand corégone se trouve aussi dans le lac Yathkyed (17; Johnson, données inédites).

RÉPARTITION DU MÉNOMINI ROND, Prosopium cylindraceum (Pallas) (fig. 10)

Le ménomini rond est réparti dans toute la région étudiée. Il a été capturé dans les lacs Baker (1; Clarke 1940), Whitefock (2; Sprules 1952), Maze (3), Dubawnt (4), Maguse (5), MacDougall (6), Beverly (7; Johnson 1976), Whitehills (8), Pitz (9), Thirty Mile (10) et Forde (11) (Lawrence et al, 1977). On en trouve dans les rivières Thelon, entre les lacs Beverly et Aberdeen (12; Clarke 1940), Wilson (13; Sprules 1952), le cours inférieur de la rivière Thelon (14; McLeod et al, 1976), les rivières Murchison (15), Maguse (16; Lawrence et al, 1977), Hayes (17), Herman (18), Meadowbank (19), Prince (20), Akutuak (21), Bunker (22), Kazan (23; Hatfield et al, 1977), Meliadine (24) et Diana (R. Peet, communication personnelle).

RÉPARTITION DU CISCO DE LAC, Coregonus artedii LeSueur (fig. 11)

On ne signale la présence d'aucun cisco de lac dans la rivière Quoich ni dans aucun autre réseau fluvial drainant les parties nord et sud de l'inlet Chesterfield.

Le cisco de lac a été capturé dans les lacs Schultz (1; Critchell-Bullock 1931), Baker (2; Clarke 1940), Whiterock (3; Sprules 1952), Dubawnt (4), Maguse (5), Beverly (6; Johnson 1976), Thirty Mile (7; McLeod et al, 1976), Whitehills (8), Pitz (9), et Forde (10; Lawrence et al, 1977). On signale également sa présence dans la rivière Thelon entre les lacs Beverly et Aberdeen (11; Clarke 1940), dans la rivière Wilson (12; Sprules 1952), dans le cours inférieur de la rivière Thelon (13; McLeod et al, 1976), et dans les rivières Maguse (14), Murchison (15; Lawrence et al, 1977) et Bunker (16; Hatfield et al, 1977). Le cisco de lac se trouve également dans les lacs situés près de Sandy Point (17) (R. Peet, communication personnelle). Lors de l'étude des lacs de la toundra effectuée en 1959, le cisco a été capturé dans le lac MacDougall (18; Johnson, données inédites).

Lawrence et Davies (sous presse) ont signalé la présence du cisco à nageoires noires (Coregonus nigripinnis Gill) dans les lacs Pitz et Thirty Mile. Toutefois, sur le plan taxonomique, cette espèce ne saurait être dissociée du Coregonus artedii, selon la définition de certains auteurs, par conséquent il n'a pas fait l'objet d'une carte de répartition distincte.

RÉPARTITION DU CISCO SARDINELLE, Coregonus sardinella Valenciennes (fig. 12)

Au cours du relevé halieutique de 1979, le cisco sardinelle n'a été capturé que dans la rivière Simpson. On signale également sa présence dans la rivière Murchison (1; Lawrence et al, 1977) et dans le voisinage de la rivière Perry (2; Scott et Crossman 1973).

RÉPARTITION DU CISCO ARCTIQUE, Coregonus autumnalis (Pallas) (fig. 13)

Le cisco arctique est réparti le long de la côte arctique de l'Amérique du Nord à partir de l'Alaska jusqu'à l'inlet Chantrey. On signale également sa présence dans le lac Maze (1), dans le réseau fluvial de la rivière Wilson, et dans le lac Meliadine, Tous deux se jetant dans la baie d'Hudson en provenance de l'ouest (Johnson 1976). Sur la côte arctique, le cisco arctique a été capturé dans la rivière Murchison (3; Lawrence et al, 1977) et dans les réseaux fluviaux des rivières Back et Simpson.

RÉPARTITION DE L'OMBRE ARCTIQUE, Thymallus arcticus (Pallas) (fig. 14)

On ne signale la présence d'aucun ombre arctique dans les rivières Murchison et Hayes se déversant dans la partie est de l'inlet Chantrey, ni dans les rivières situées à l'est de la rivière Quoich se jetant dans l'inlet Chesterfield, en provenance du nord. Aucun ombre arctique n'a été capturé au cours des deux saisons de pêche expérimentale intensive au filet sur la rivière Murchison (Lawrence et Davies, sous presse) ou au cours d'une étude extensive de la rivière Hayes (Hatfield et al, 1977). Les habitants de l'inlet Chesterfield indiquent que l'ombre arctique n'habite pas les rivières situées près de leur agglomération et se déversant dans la partie nord de l'inlet (H. Welch, communication personnelle).

L'ombre arctique a été capturé dans le lac Baker (1; Pflaff 1937), Whiterock (2; Sprules 1952), Meliadine (3), Maze (4), Dubawnt (5), MacDougall (6; McCart et Pepper 1971), Beverly (7; Johnson 1976), Thirty Mile (8; McLeod et al, 1976), Whitehills (9; Lawrence et al, 1977), Diana (10) et dans les lacs situés près de Sandy Point (11; R. Peet, communication personnelle). On signale également la présence de l'ombre arctique dans

les rivières Wilson (12; Sprules 1952), Meliadine (13; Brack et al, 1963), Thelon (14), Denise (15), Kazan (16; McLeod et al, 1976), Maguse (17; Lawrence et al, 1977), Herman (18), Meadowband (19), Prince (20), Akutuak (21), Bunker (22; Hatfield et al, 1977) et Diana (23; R. Peet, communication personnelle).

RÉPARTITION DU GRAND BROCHET, Esox lucius (fig. 15)

La limite nord de la répartition du grand brochet se trouve juste à l'intérieur des limites sud de la région étudiée en 1979. Le seul réseau au nord de la rivière Thelon et du lac Baker, que fréquente le grand brochet est la rivière Baillie, affluent de la rivière Back. Il ne semble pas que l'habitat du brochet se prolonge dans le lac Garry et on ne signale aucun grand brochet dans les cours d'eau du golfe Reine-Maud ou de l'inlet Chantrey. De même, aucun grand brochet n'a été capturé dans la rivière Quoich ou dans les autres rivières se jetant directement dans l'inlet Chesterfield, en provenance du nord ou du sud.

Tyrell (1896) a capturé le grand brochet dans les rivières Dubawnt (1) et Kazan (2); Johnson (1976) signale sa capture dans les lacs Maguse (3) et Beverly (4) au cours de l'étude des lacs de la toundra en 1959. Lawrence et al, (1977) et Hatfield et al, (1977) ont trouvé le grand brochet dans le réseau fluvial de la rivière Maguse (5) et Johnson (données inédites) signale également sa présence dans le lac Yathkyed (6).

RÉPARTITION DU MEUNIER ROUGE, Catostomus catostomus (Forster) (fig. 16)

Les limites de la répartition nord-est du meunier rouge se trouvent dans la région étudiée en 1979. Le meunier rouge est absent des réseaux fluviaux au nord de la rivière Thelon et de l'inlet Chesterfield et à l'est du lac Pelly, sur la rivière Back.

Outre les captures signalées par les relevés du programme ALUR, le meunier rouge a été capturé dans les lacs Dubawnt (1), Maguse (2), Beverly (3; Johnson 1976), Baker (4; McLeod et al, 1976), Thirty Mile (5) et Forde (6; Lawrence et al, 1977). Il se trouve également dans les rivières Thelon (7; McLeod et al, 1976) et Maguse (8; Lawrence et al, 1977). McPhail et Lindsey (1970) signalent la présence du meunier rouge dans les lacs MacAlpine (9) et Pelly (10).

RÉPARTITION DE LA LOTTE, Lota lota (Linnaeus) (fig. 17)

La lotte se trouve en petit nombre dans presque toutes les parties de la région étudiée en 1979. Malgré des opérations intensives de pêche expérimentale au filet sur une période de deux ans, aucune capture de lotte n'a été effectuée dans la rivière Murchison (Lawrence et Davies, sous presse). Même si sa présence n'a pas été signalée dans les rivières Hayes et Quoich, elle peut s'y trouver en nombre restreint sans que les opérations de pêche aient réussi à déceler sa présence.

La lotte a été capturée au chalet Hornby sur la rivière Thelon (1; Christian 1937), dans les lacs Baker (2; McLeod et al, 1976), Maze (3) et Dubawnt (4) (Johnson 1976), Pitz (5), la rivière Maguse (6; Lawrence et al, 1977) et dans la rivière et le lac Diana (7; R. Peet, communication personnelle). Welch (communication personnelle) signale la présence de la lotte dans plusieurs petites rivières qui se jettent dans l'inlet Chesterfield en provenance du nord (8), près de l'agglomération de l'inlet Chesterfield. Lors de l'étude de la toundra de 1959, la lotte a été capturée dans le lac Maguse (9; Johnson, données inédites).

RÉPARTITION DE L'ÉPINOCHE À NEUF ÉPINES, Pungitius puntitius (Linnaeus) (fig. 18)

L'épinoche à neuf épines se trouve dans toutes les parties de la région étudiée en 1979. Elle a été capturée dans le lac Baker (1; Clarke 1940), la rivière Wilson (2; Sprules 1952) et dans les lacs Meliadine (3), Armit (4), Maze (5), Maguse (6), Dubawnt (7), Beverly (8) et MacDougall (9) (McPhail 1963). McLeod signale la capture de l'épinoche dans les lacs Nanau (10) et Schultz (11) et dans les rivières Bunker (12) et Pitz (13). Lawrence et Davies (sous presse) ont capturé l'épinoche à neuf épines à de nombreux points d'échantillonnage sur le réseau fluvial de la rivière Murchison (14) et Hatfield et al, ont capturé l'épinoche à neuf épines dans les rivières Mistake (15, Akutuak (16) et Ferguson (17).

RÉPARTITION DU CHABOT VISQUEUX, Cottus cognatus Richardson (fig. 19)

Le chabot visqueux se trouve probablement dans toutes les parties de la région étudiée en 1979. Il a été capturé dans les lacs Baker (1; Christian 1937) et Thirty Mile (2) et dans les rivières Meadowbank (3) et Thelon (4) (McLeod et al, 1976). Lawrence et Davies (sous presse) ont trouvé le chabot visqueux dans le lac Pitz (5) et dans la rivière Murchison (6). On signale également sa présence dans la rivière Ellice (7, McPhail et Lindsey 1970) et dans les rivières et les lacs situés au nord de l'inlet Chesterfield, près de l'agglomération du même nom (8; Welch, communication personnelle).

ÉPINOCHE À TROIS ÉPINES, Gasterosteus aculeatus Linnaeus, CHABOT À TÊTE PLATE, Cottus ricei (Nelson), et MENE DE LAC, Couesius plumbeus (Agassiz) (fig. 20)

Aucune de ces espèces n'a été capturée lors de l'étude de 1979. Toutefois, on signale leur présence dans la région étudiée ou près de celle-ci. L'épinoche à trois épines se trouve dans les lacs Littlefish (1; Sprules 1952), Kaminuriak (2), Kaminak (3) et dans les rivières Ferguson (4) et Maguse (5) (MacDonald et Fudge 1979). On signale la présence du chabot à tête plate dans les lacs Dubawnt (6), Beverly (7; Scott et Crossman 1973) et Pitz (8) (Lawrence et al, 1977). La répartition du méné de lac est parallèle à la limite sud de la région étudiée. Au cours du programme ALUR de 1978 (MacDonald et Fudge 1979), il a été capturé dans un affluent de la rivière Thelon (9) et dans la rivière Maguse (10). Lawrence et al, (1977) signalent sa présence dans la rivière Maguse (11) et Laird (1961) signale sa capture dans le lac Dubawnt (6) au cours de l'étude effectuée dans la toundra en 1959.

CHABOT DE PROFONDEUR Myoxocephalus quadricornis (Linnaeus), PLIE ARCTIQUE, Liopsetta glacialis (Pallas), PLIE À NAGEOIRES JAUNES, Limada asper (Pallas), MORUE SAFRAN, Eleginnus gracilis (Tilesius), et MORUE DENTÉE Arctogadus borisovi Orjagin (fig. 21)

Le chabot de profondeur se trouve à l'embouchure des rivières Back (1) et Simpson (2) (programme ALUR 1979) et dans le lac Baker (3; McLeod et al, 1976). La morue dentée, la morue safran et la plie arctique fréquentent les eaux saumâtres à l'embouchure de la rivière Simpson (2; programme ALUR 1979). Une plie à nageoires jaunes a été capturée dans le lac MacDougall (4) au cours de l'étude effectuée dans la toundra en 1959 (Johnson, données inédites).

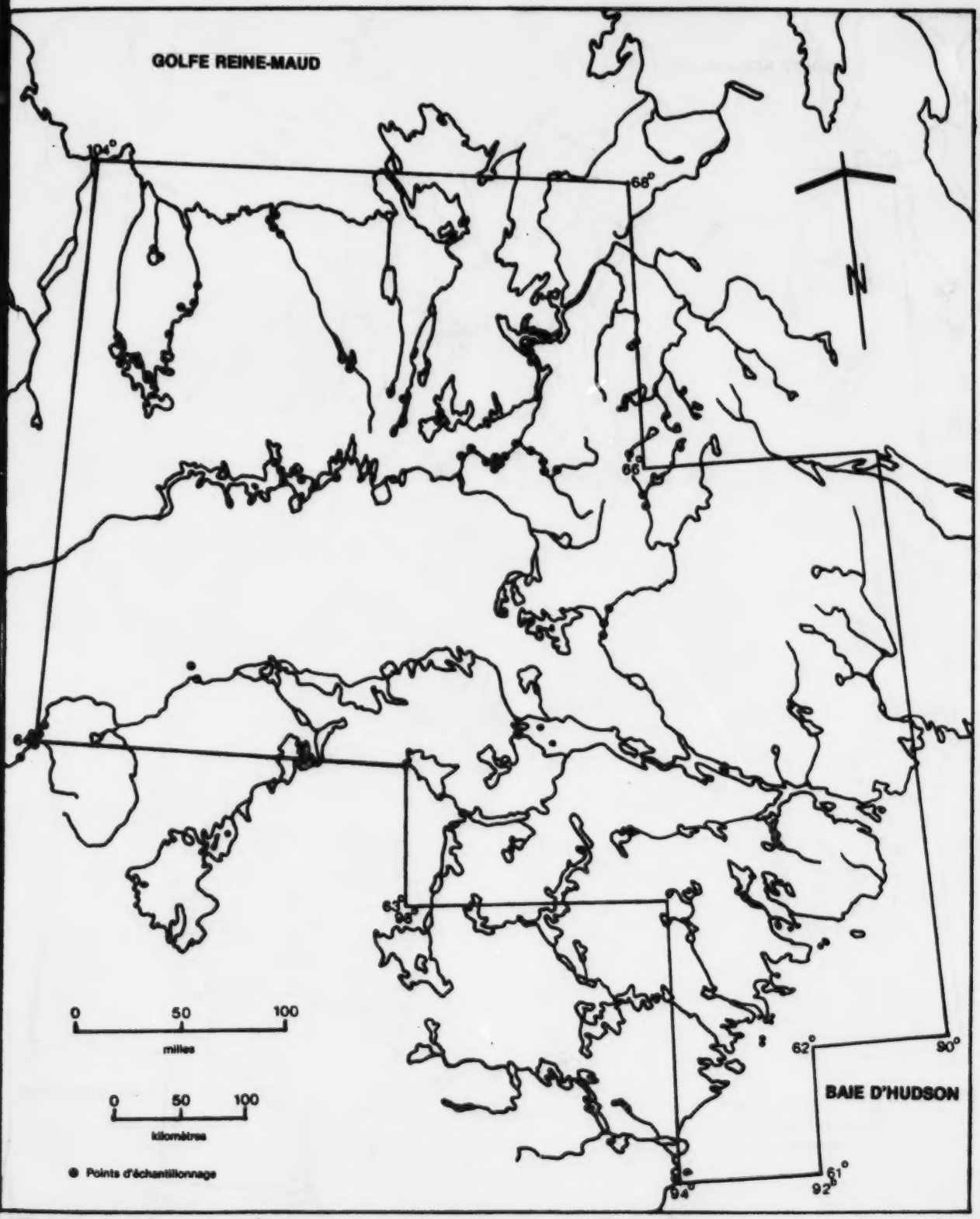

Figure 6. Région étudiée dans le cadre du programme ALUR en 1979 avec indication des points d'échantillonnage.

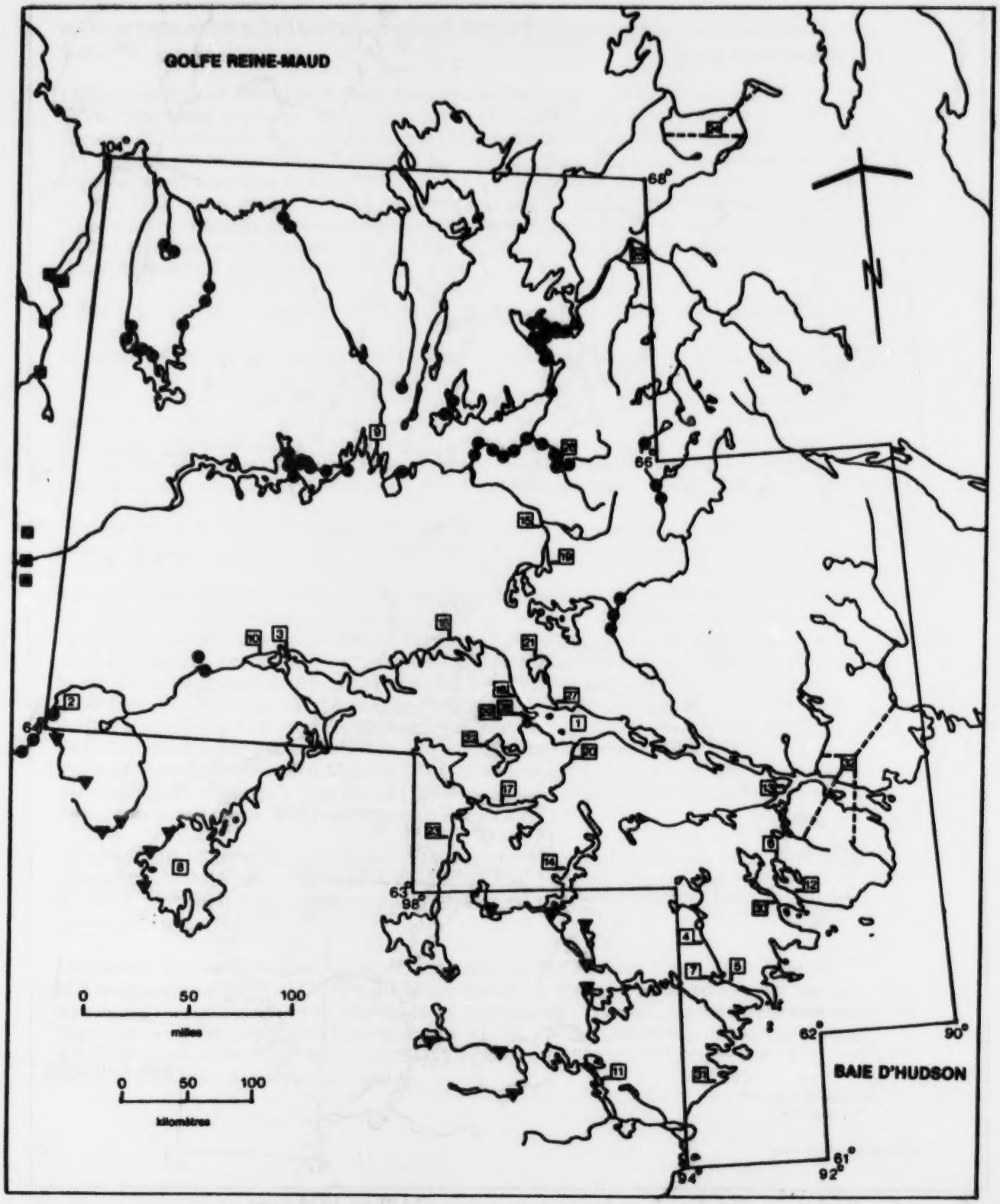

Figure 7. Répartition de la truite grise.

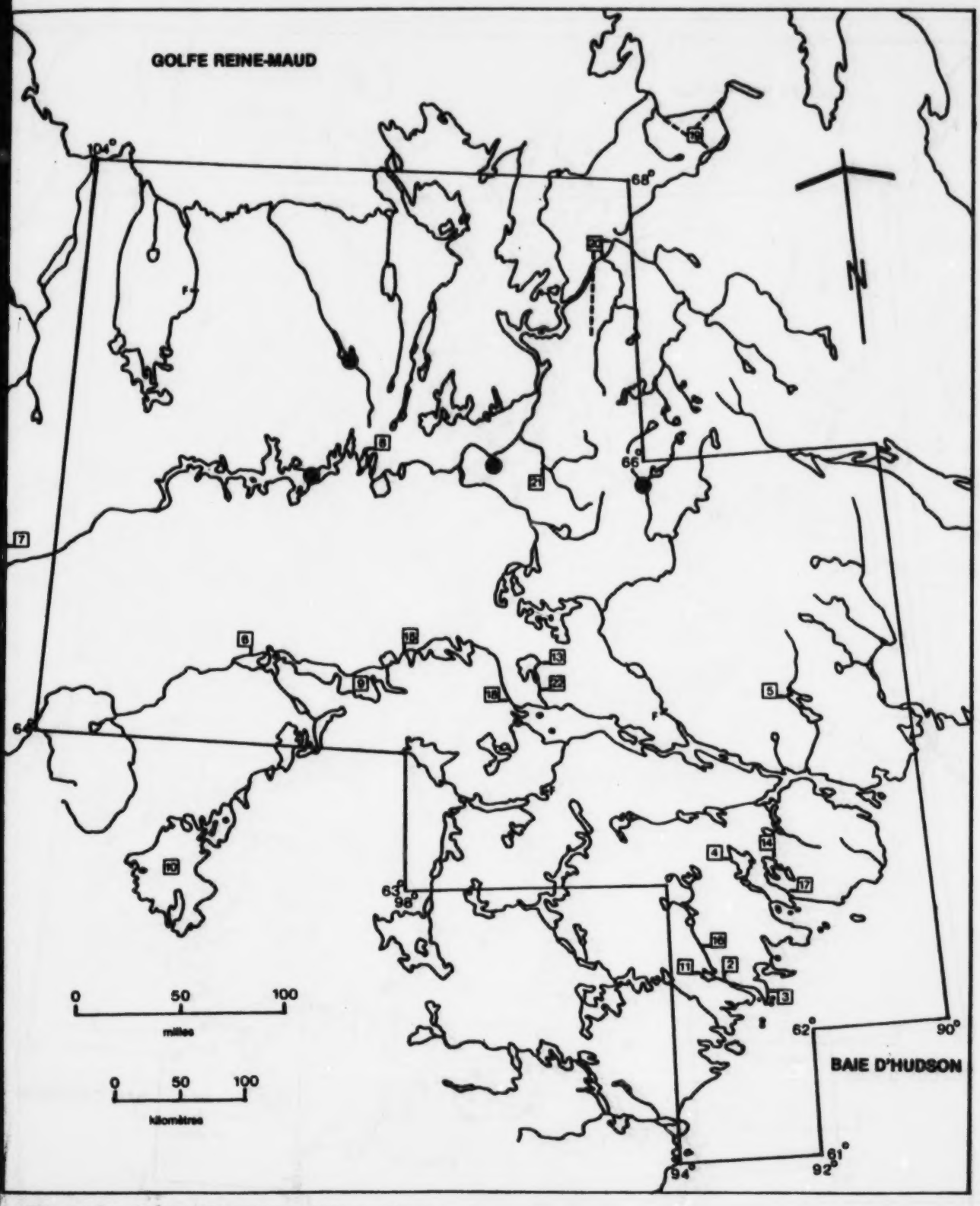

Figure 8. Répartition de l'omble arctique

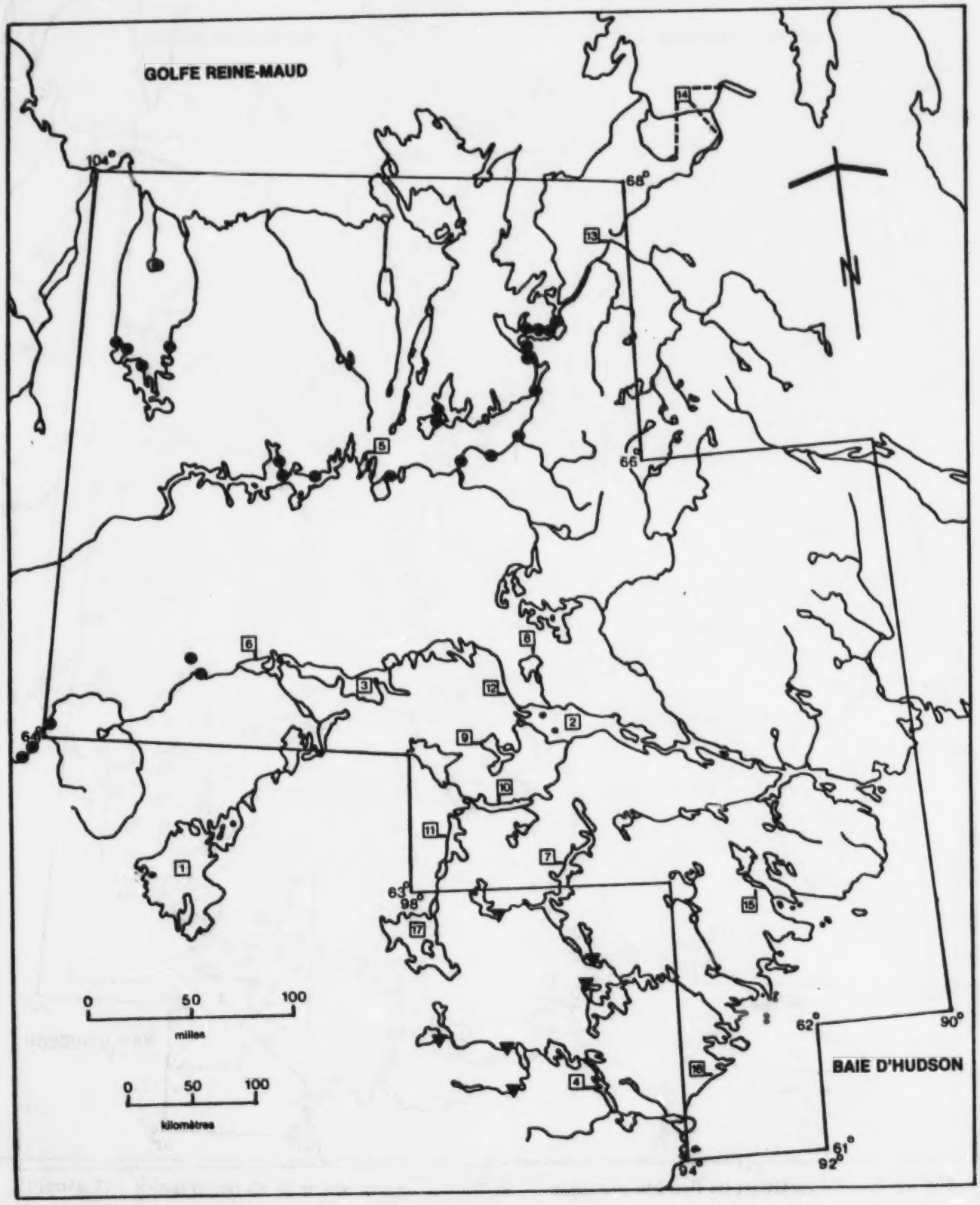

Figure 9. Répartition du grand corégone

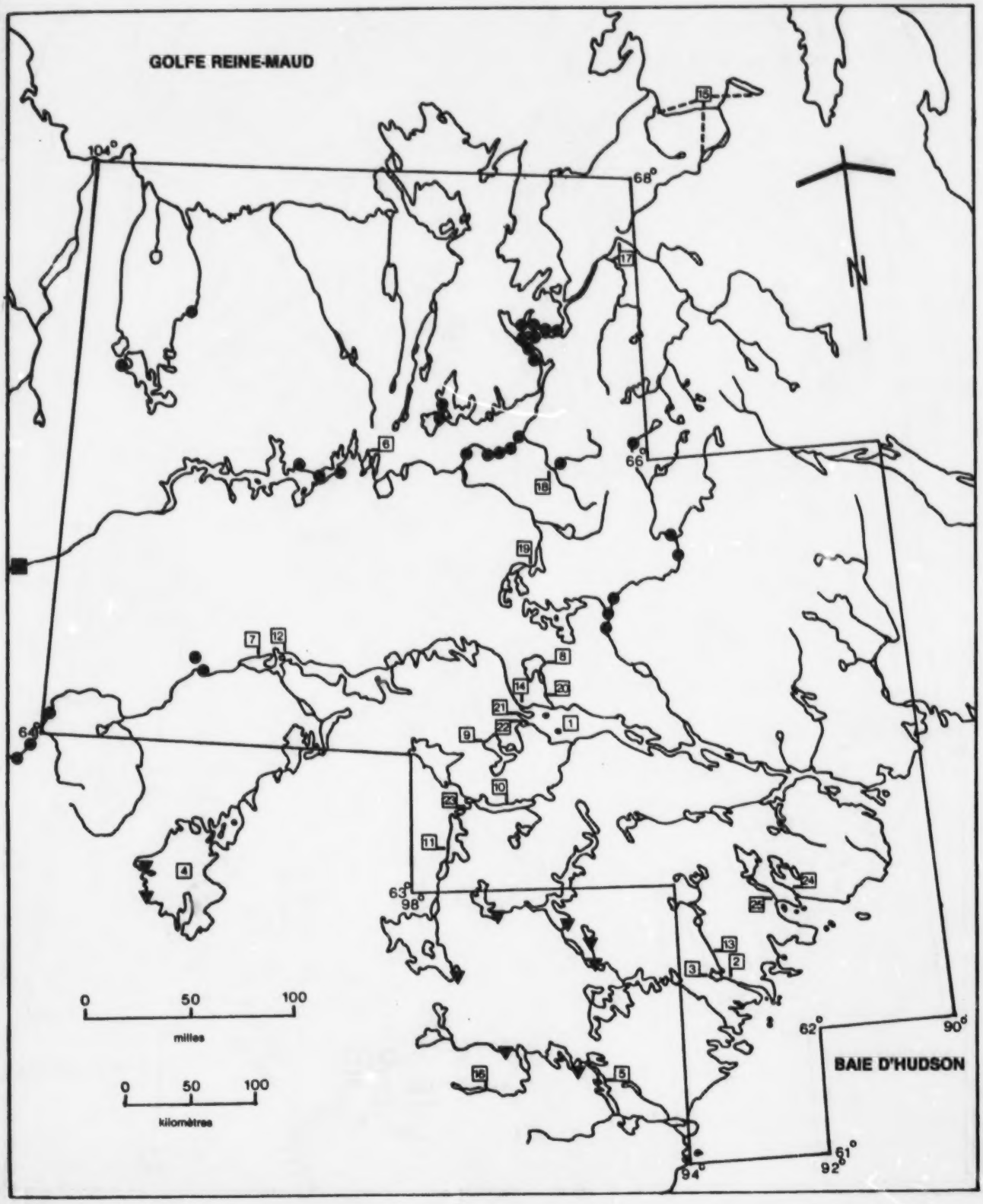

Figure 10. Répartition du ménomini rond

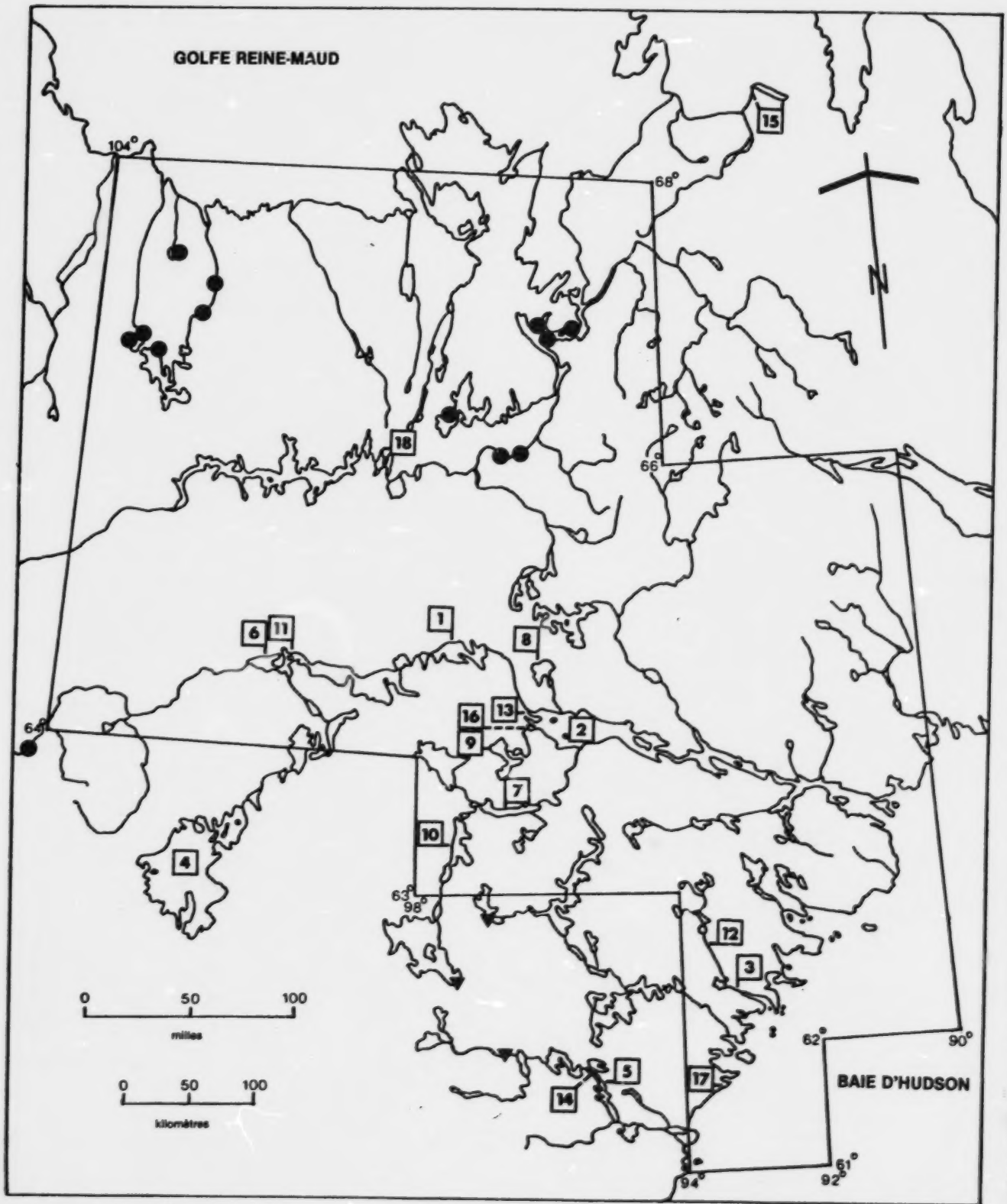

Figure 11. Répartition du cisco de lac

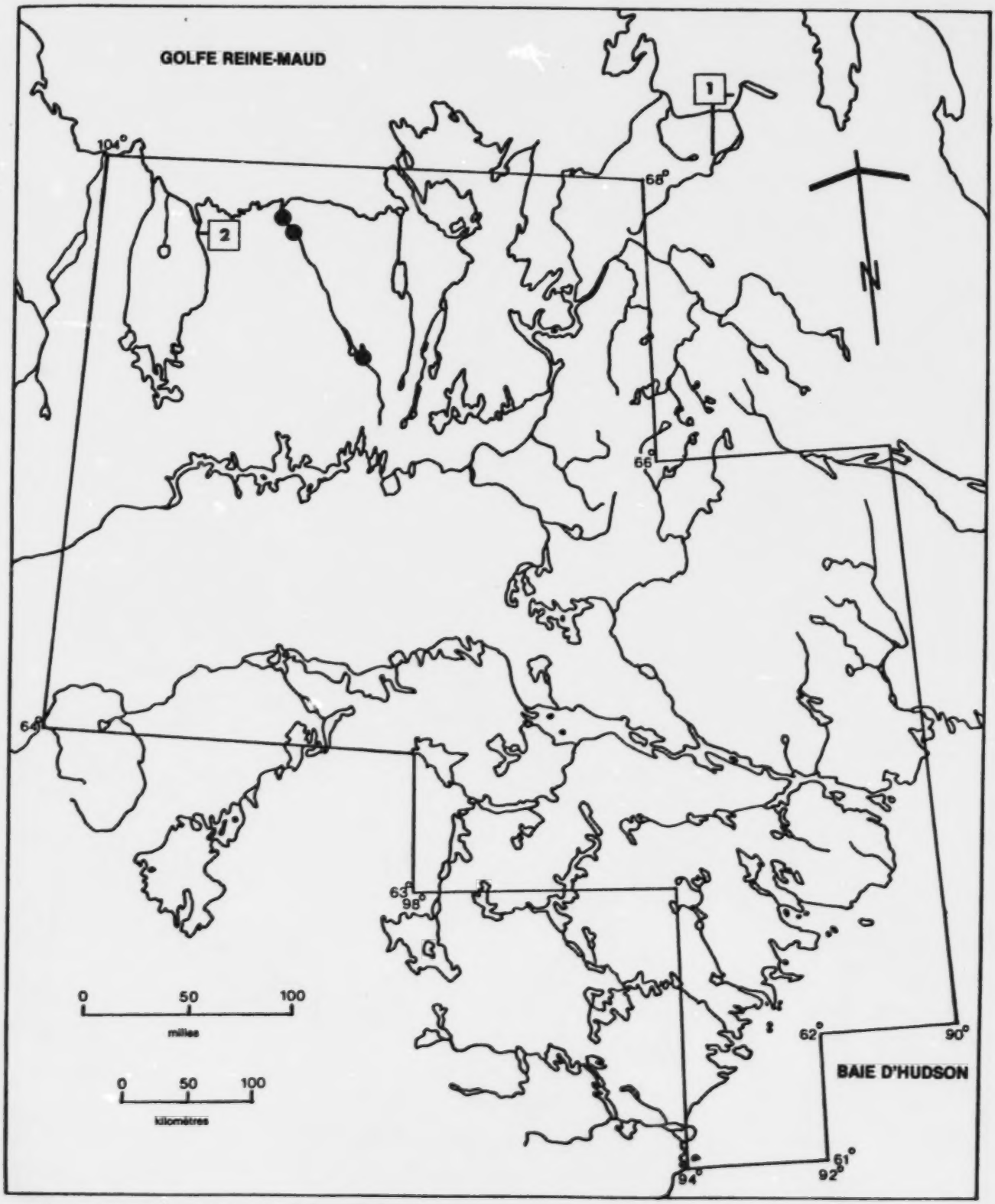

Figure 12. Répartition du cisco sardinelle

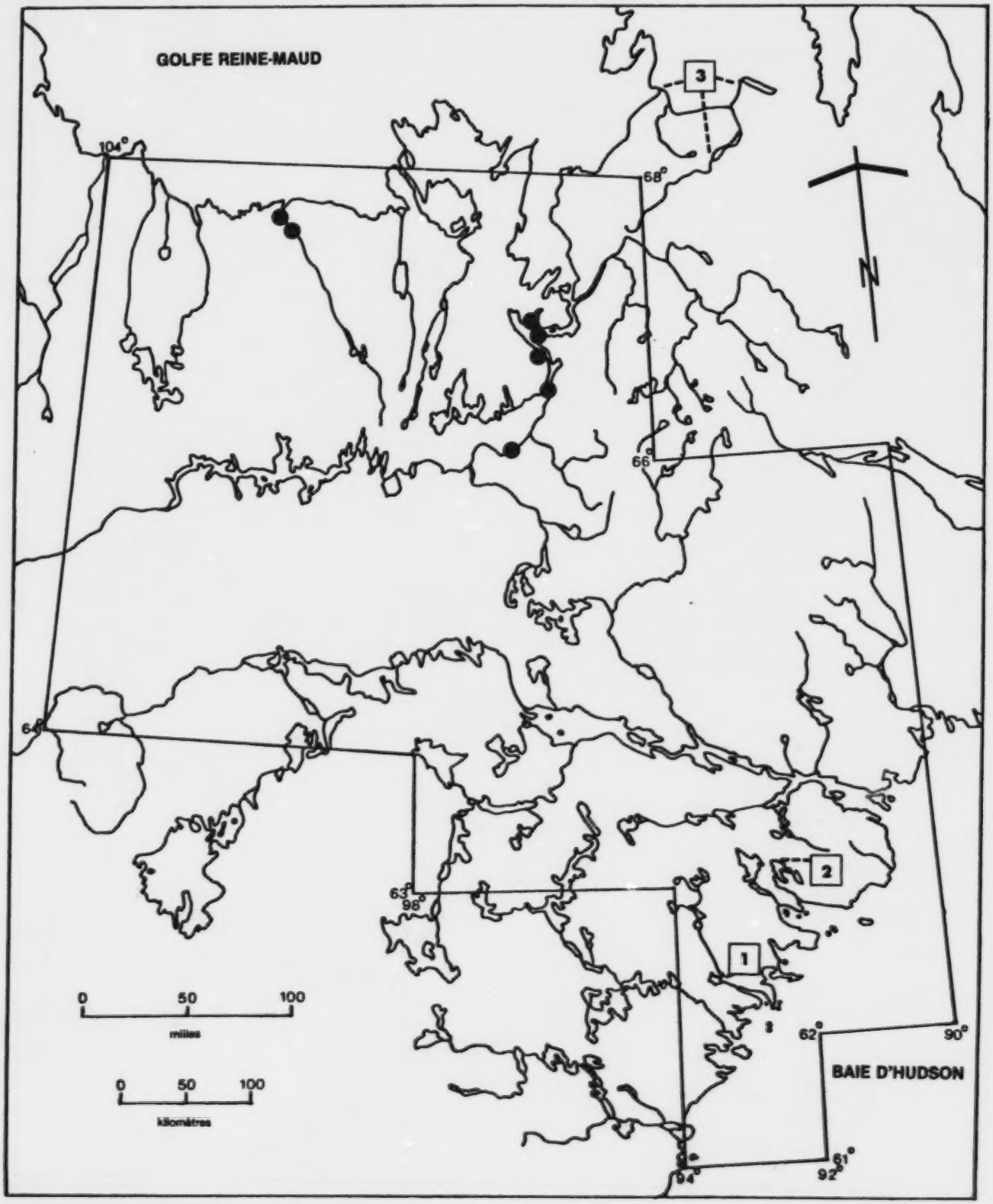

Figure 13. Répartition du cisco arctique

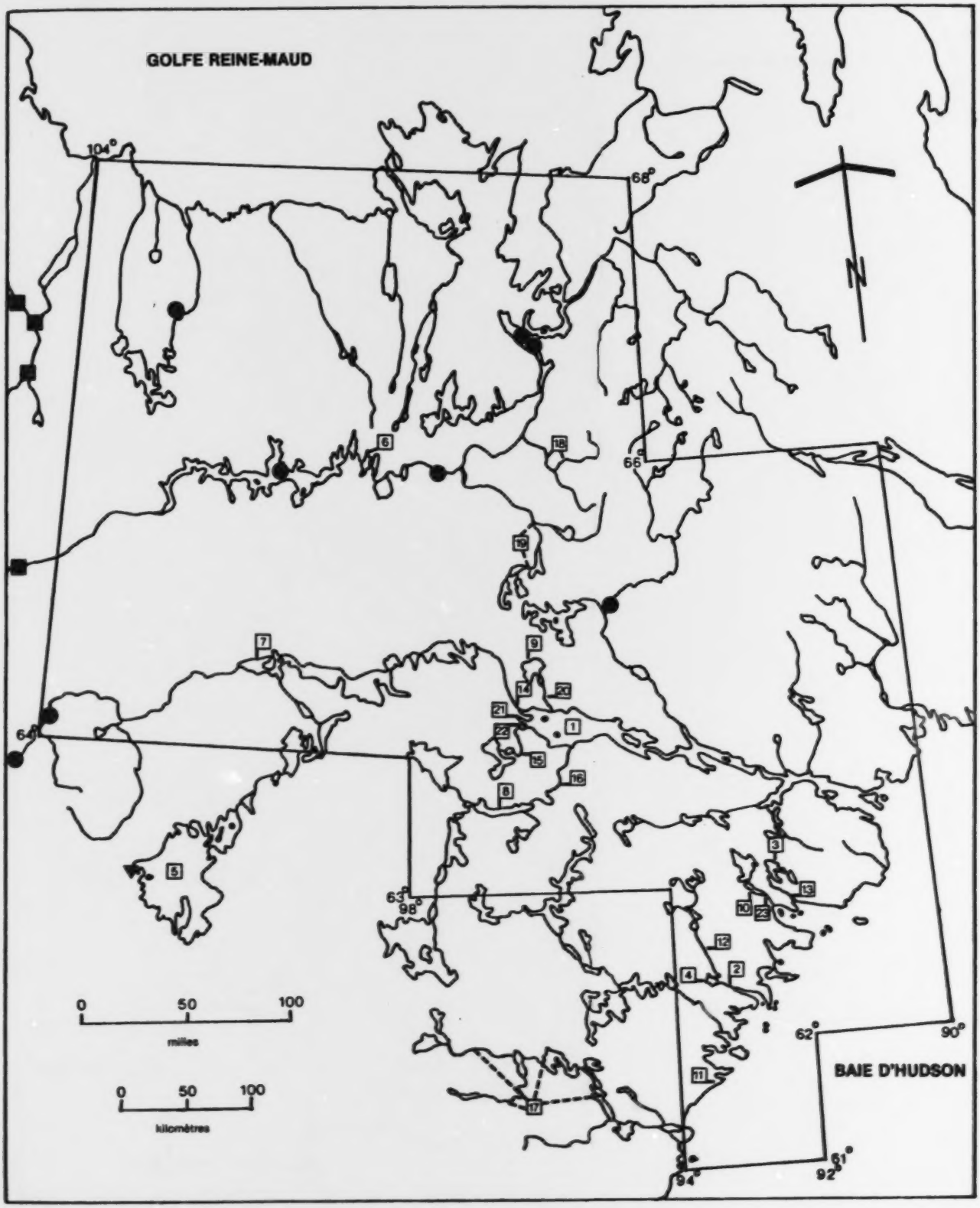

Figure 14. Répartition de l'ombre arctique

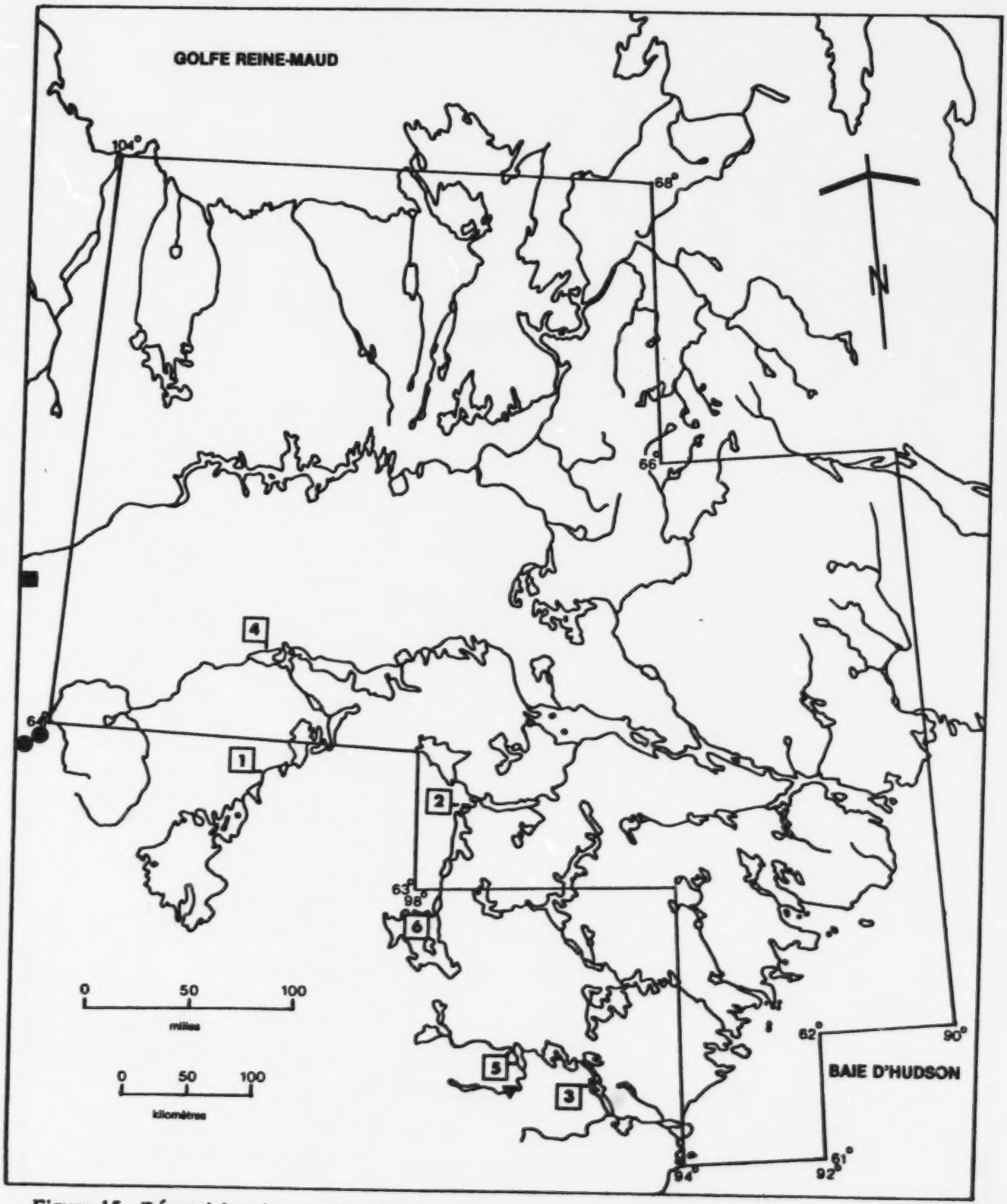

Figure 15. Répartition du grand brochet

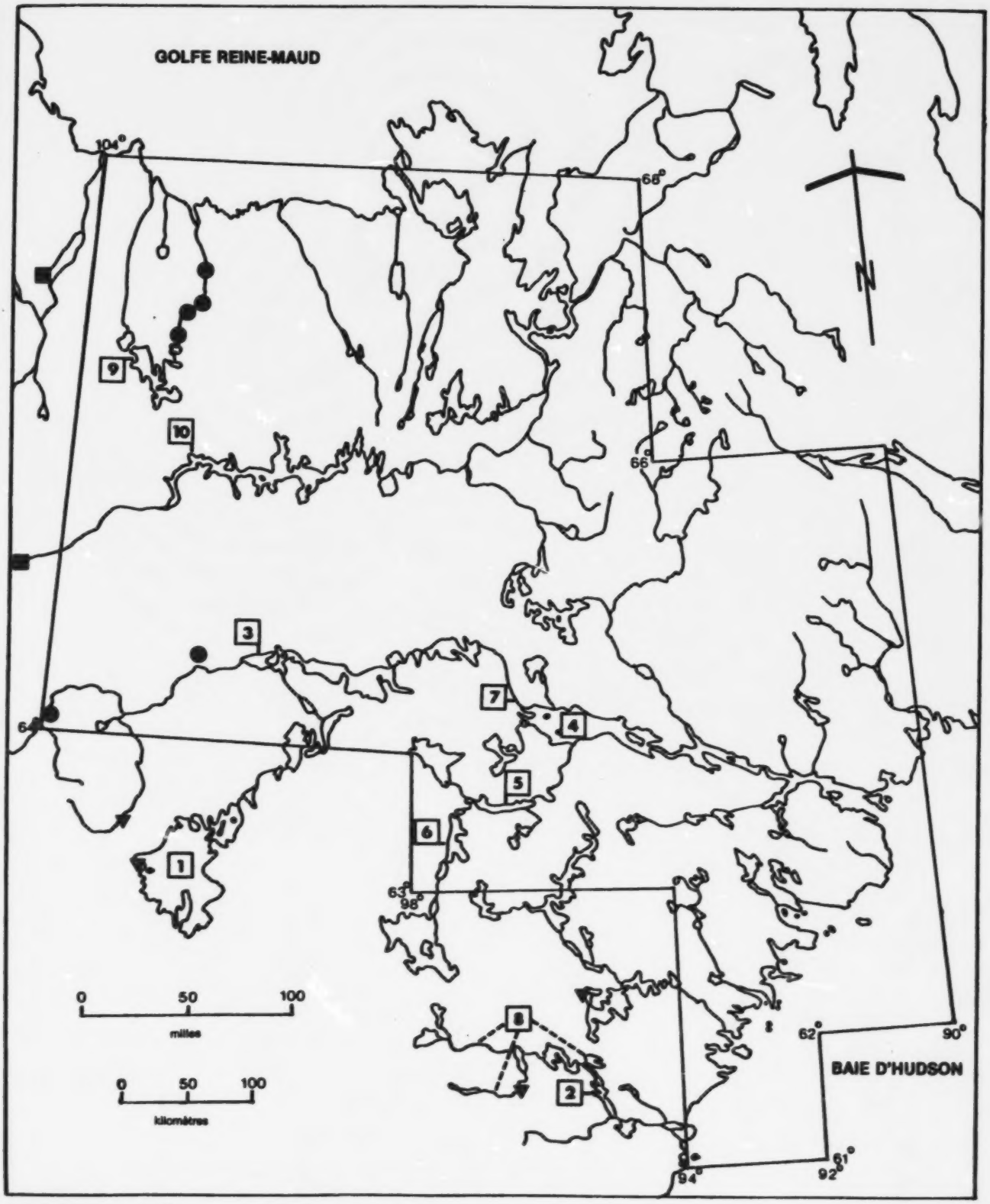

Figure 16. Répartition du meunier rouge

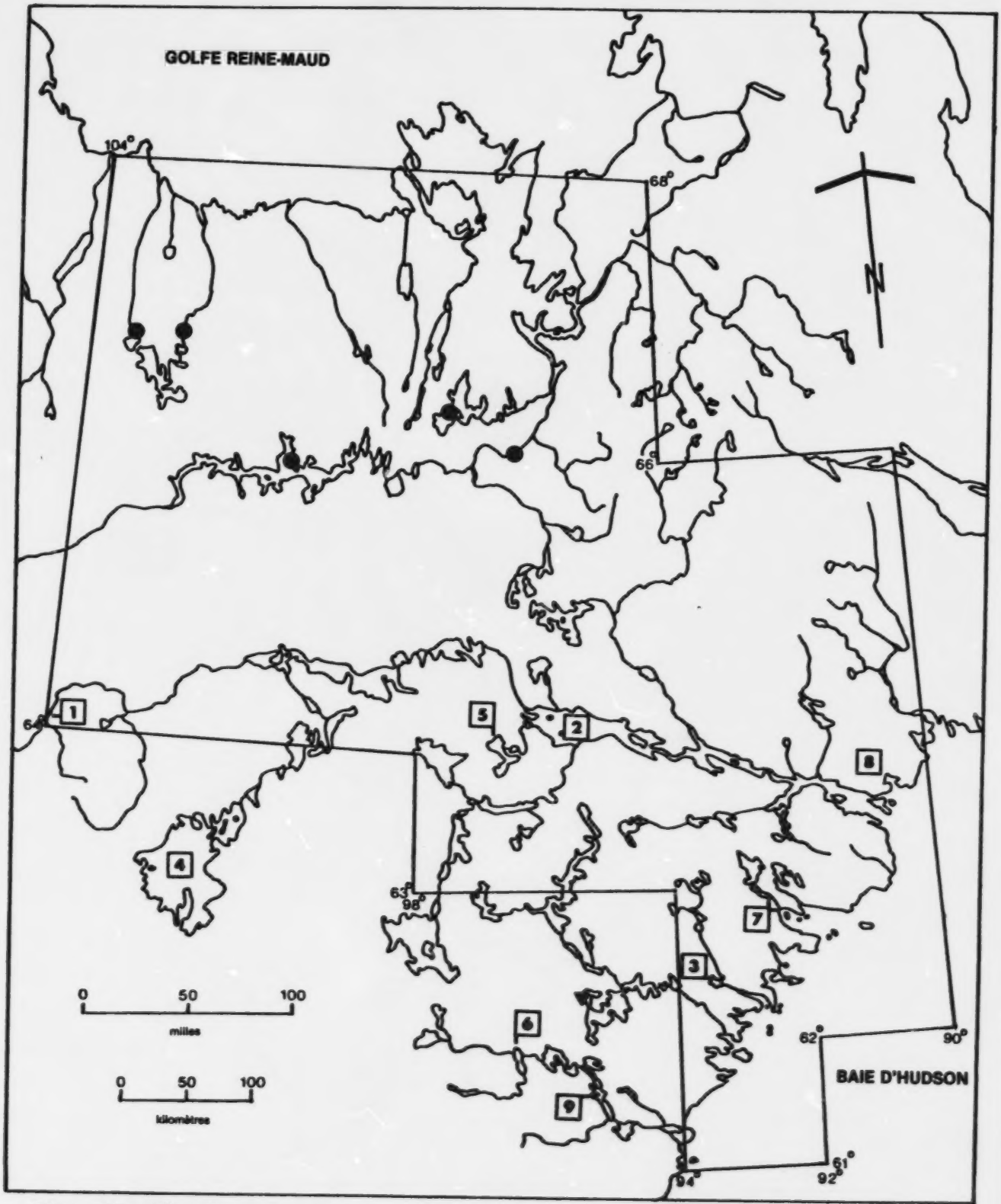

Figure 17. Répartition de la lotte

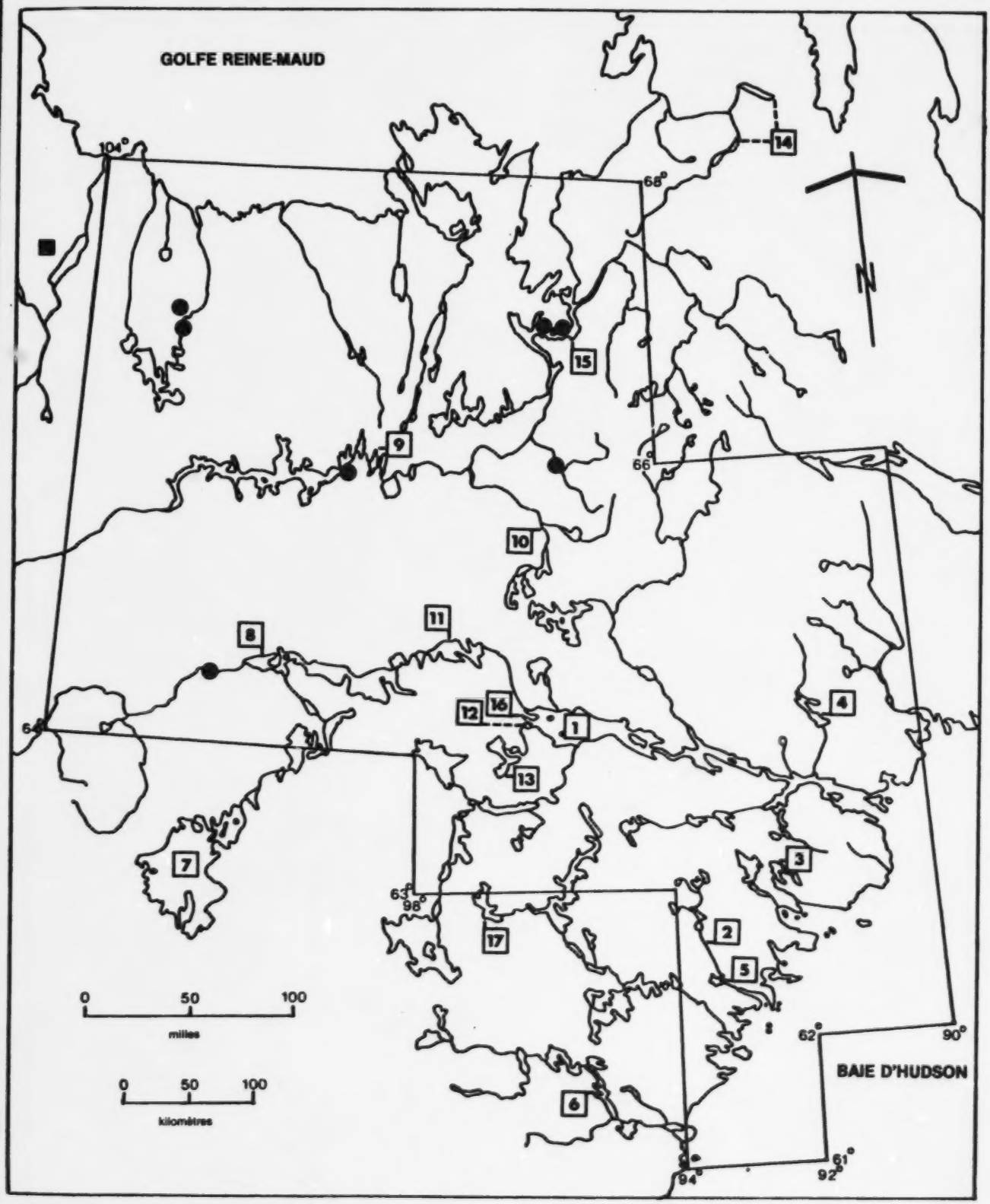

Figure 18. Répartition de l'épinoche à neuf épines

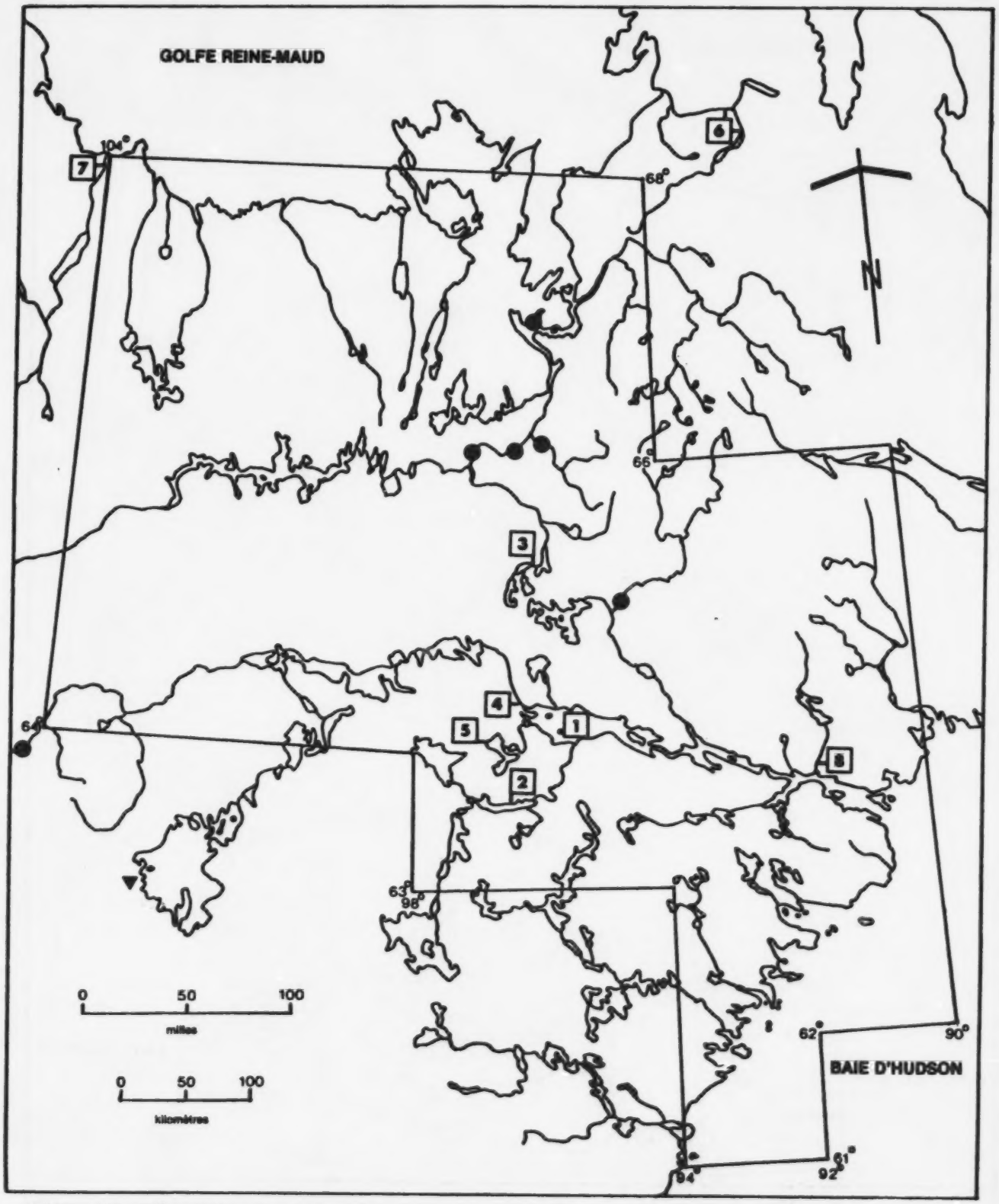

Figure 19. Répartition du chabot visqueux

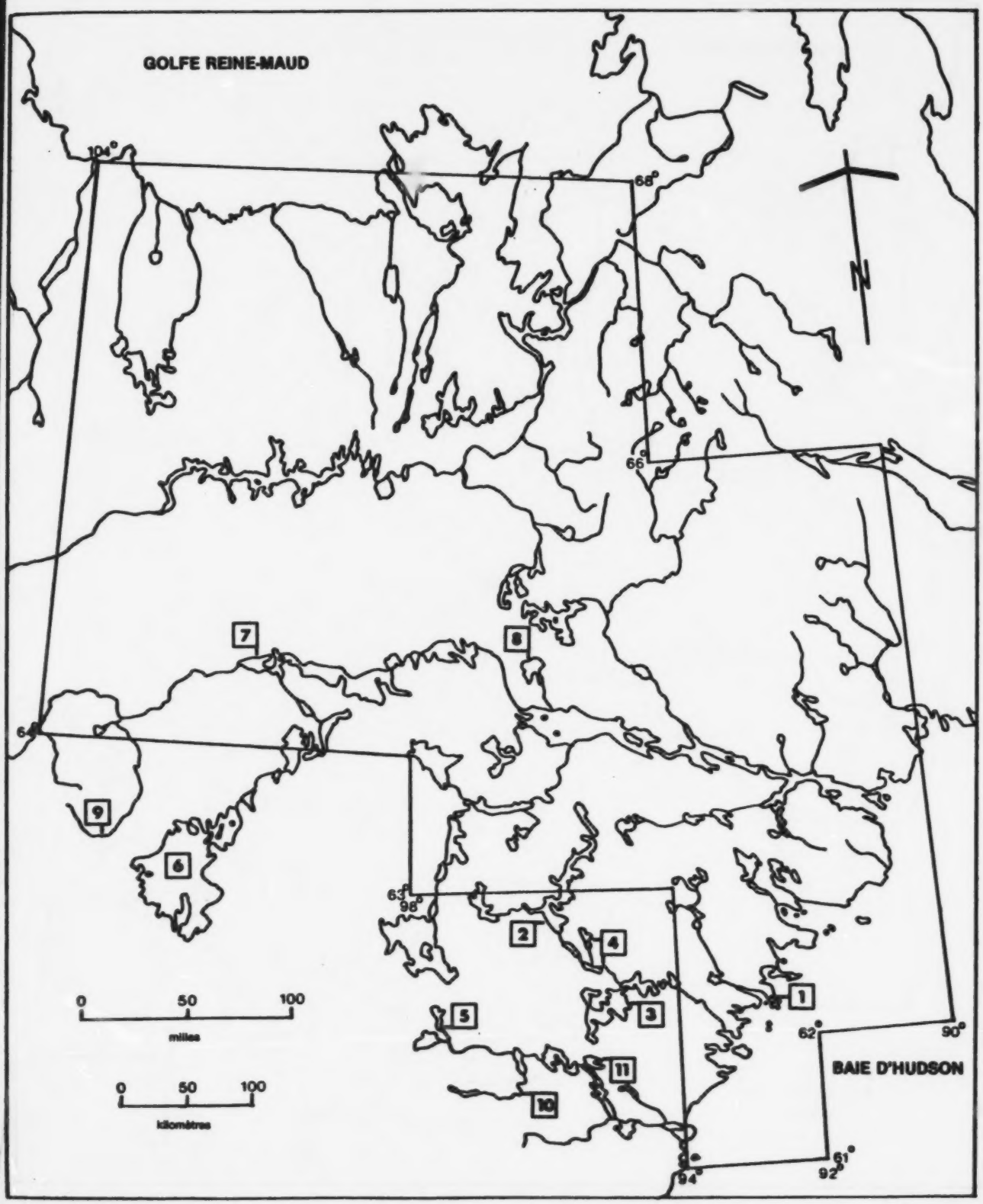

Figure 20. Épinoche à trois épines, chabot à tête plate et méné de lac

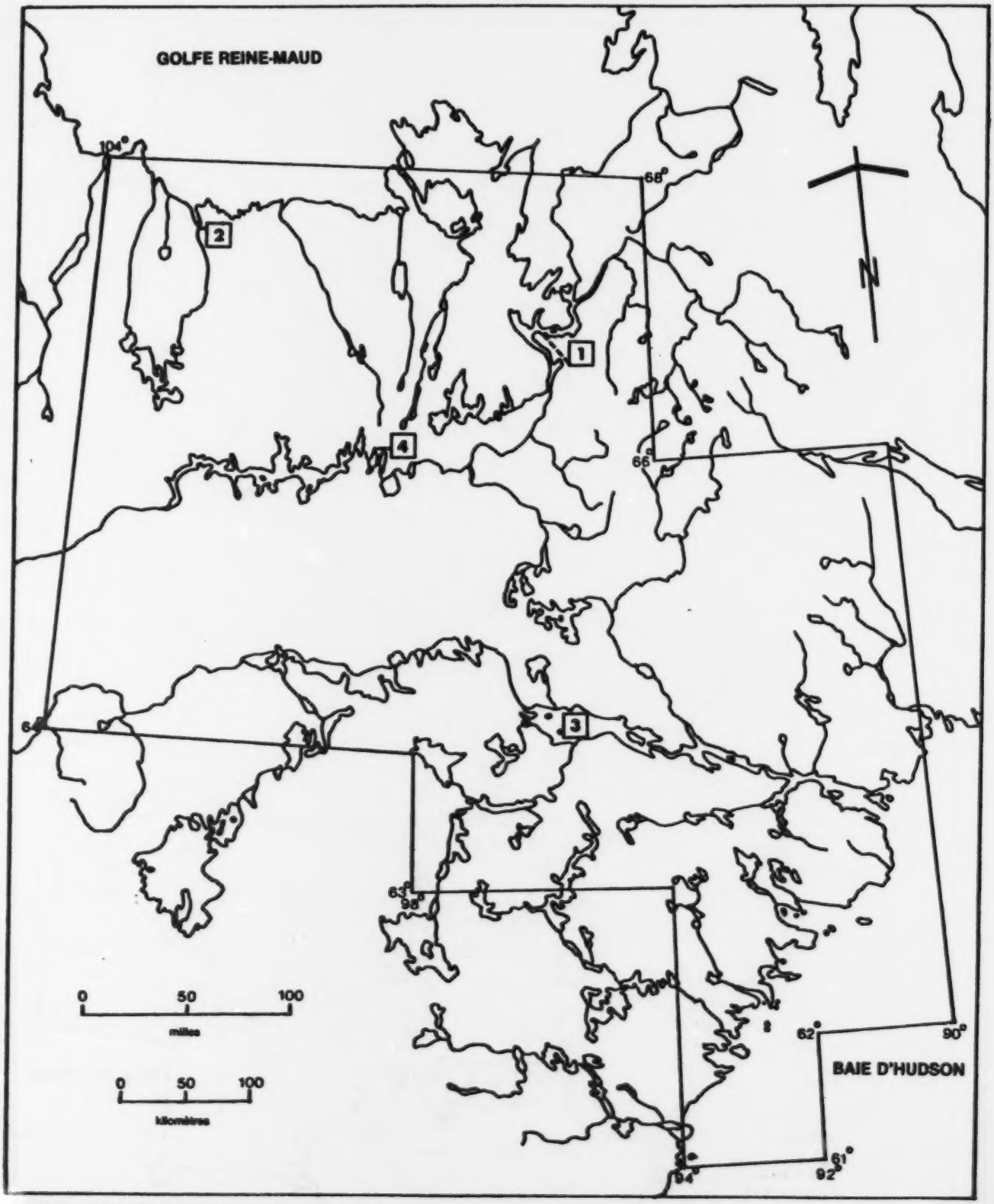

Figure 21. Chabot de profondeur, plie arctique, plie à nageoires jaunes, morue safran et morue dentée

ANNEXE II

PÊCHE COMMERCIALE

Les habitants de la baie Cambridge, de Baker Lake, de Chersterfield Inlet, de Rankin Inlet, de Whale Cove et d'Eskimo Point pratiquent la pêche commerciale de l'omble arctique, de la truite grise et du grand corégone. La pêche est pratiquée à longueur d'année mais elle atteint un point culminant au printemps et en automne lors des migrations de l'omble arctique. Le filet maillant (maille de 14 cm) et la turlutte sont les agrès de pêche préférés. Le poisson est vendu aux populations locales ou à la Freshwater Marketing Corporation (FFMC).

Avant 1976, une conserverie de poisson du gouvernement (T.N.-O.) située à Rankin Inlet, traitait l'omble arctique destiné à être distribué par FFMC à Winnipeg. Cette conserverie était alimentée par les pêcheurs de Baker Lake, Chesterfield Inlet, Rankin Inlet, Whale Cove et Eskimo Point. Depuis sa fermeture en 1976 en raison de son manque de rentabilité, seuls les pêcheurs de Rankin Inlet continuent d'exporter l'omble arctique. En 1978, ils ont envoyé 9 500 kg (poids apprêté) d'ombles arctiques congelés à la FFMC à Winnipeg (D. Topolinski, communication personnelle). Les pêcheurs des autres agglomérations vendent maintenant leurs prises localement. Les pêcheurs de Cambridge Bay exploitent une petite usine de traitement du poisson où leurs prises sont nettoyées, congelées et recouvertes de glace. La truite grise et le grand corégone se vendent localement, de même qu'environ 4 000 kg (poids brut) d'omble arctique. Le surplus des ombles arctiques, environ 50 000 kg (poids brut) est expédié à la FFMC à Edmonton pour été écoulé (A. Kristofferson, communication personnelle).

Des quotas ont été imposés pour la plupart des principales aires de pêche, mais les données sur l'utilisation des quotas sont incomplètes (R. Peet, communication personnelle; Boyd et al, 1977) (fig. 22; tableau 12). Des travaux sont effectués actuellement pour évaluer le potentiel de pêche commerciale de plusieurs rivières situées dans la région de l'inlet Chantrey. Les pêcheurs de Gjoa Haven dans l'île Roi-Guillaume, espèrent exploiter ces pêcheries si elles sont commercialement rentables.

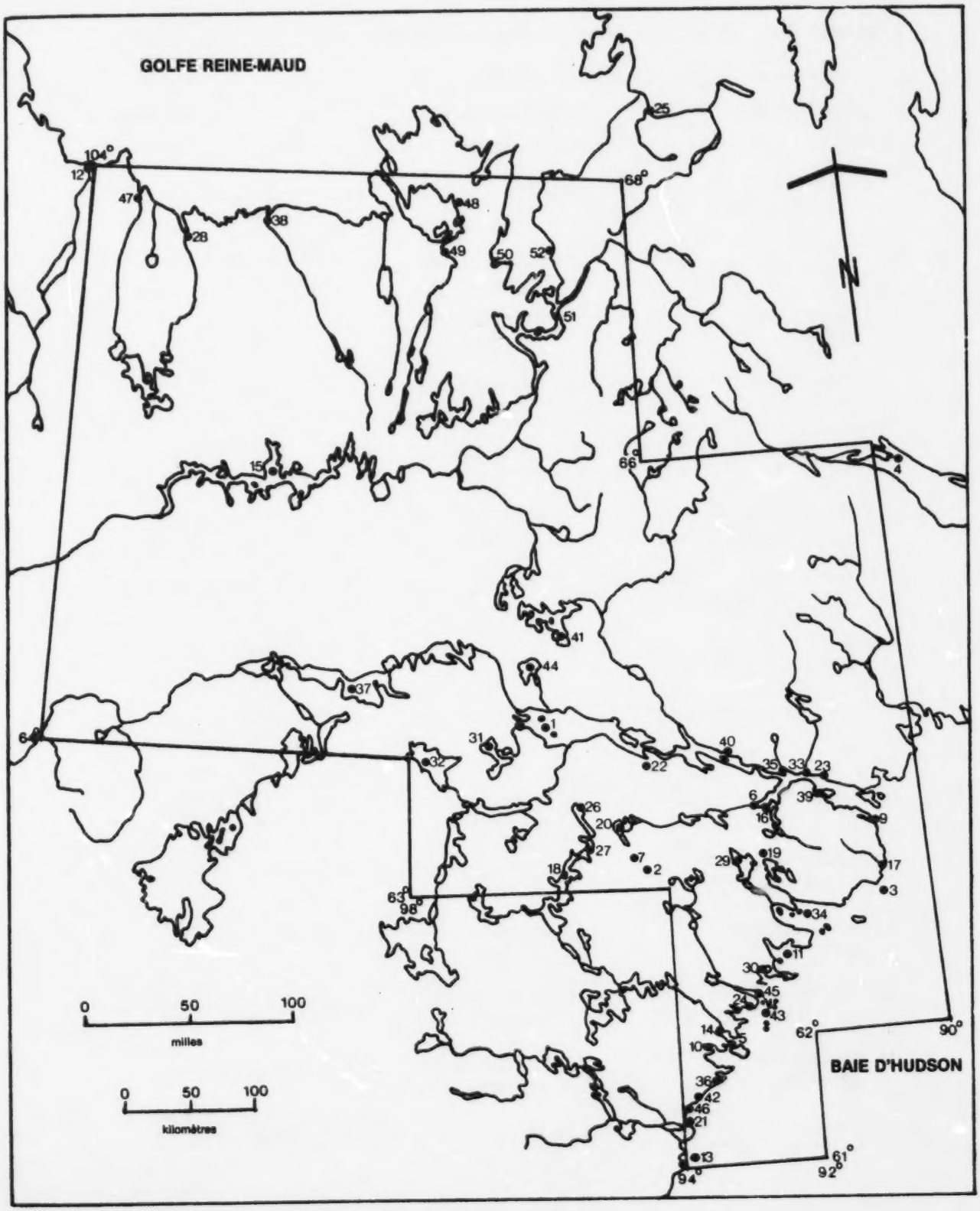

Figure 22. Zones ayant des quotas de pêche commerciale

Tableau 12. Quotas de pêche commerciale de 1979

Emplacement	Espèces capturées	Quotas (kg, poids brut)	Années de pêche
1 Lac Baker 64°00'N, 96°00'W	LT, WF	22,700	1959→1979
2 Lac Banks 63°10'N, 94°25'W	LT, WF	8,170	-
3 Pointe Baker 62°51'N, 90°55'W	AC (circulation en mer)	6,810	-
4 Baie Bennet 65°55'N, 89°40'W	AC (circulation en mer)	2,270	-
5 Île Bibby 61°57'N, 93°22'W	AC (circulation en mer)	2,270	-
6 Rivière Big - Baie Barbour 63°33'N, 92°27'W	AC (circulation en mer)	9,080	1974
7 Lac Blakely 63°18'N, 94°55'W	LT, WF	2,270	-
8 Rivière Brown 65°55'N, 90°55'W	AC (circulation en mer)	6,800	-
9 Inlet Chesterfield et (Baie Fish) 63°18'N, 90°45'W	AC (circulation en mer)	2,270	1962→1979
10 Rivière Copperneedle 61°52'N, 93°37'W	AC (circulation en mer)	4,540	1973→1979
11 Inlet Corbett 62°34'N, 92°33'W	AC (circulation en mer)	4,540	1973→1977, 1979
12 Rivière Ellice 68°03'N, 104°00'W	AC (circulation en mer)	11,350	1971→1977
13 Région de Eskimo Point 61°07'N, 94°04'W	AC (circulation en mer)	4,540	1962, 65, 69 1971→1978
14 Rivière Ferguson 62°04'N, 93°20'W	AC (circulation en mer)	18,160	1972→1977
15 Lac Garry 66°00'N, 100°00'W	LT, WF	45,400	1976

Tableau 12 (suite)

Emplacement	Espèces capturées	Quotas (kg, poids brut)	Années de pêche
16 Rivière Hanaway 63°33'N, 92°22'W	AC (circulation en mer)	4,540	1974
17 Rivière Joséphine 62°57'N, 90°46'W	AC (circulation en mer)	4,540	-
18 Lac Kaminuriak 62°55'N, 95°30'W	LT, WF	45,400	1967, 71, 72, 73
19 Lac Machum 63°15'N, 92°35'W	LT, WF	4,540	-
20 Lac MacQuoid 63°25'N, 94°40'W	LT, WF	5,900	-
21 Rivière Maguse 61°17'N, 94°03'W	AC	4,540	1977
22 Lac Mallery 63°55'N, 98°25'W	LT, WF	16,200	-
23 Merle Harbour 63°42'N, 91°24'W	AC (circulation en mer)	2,270	-
24 Anse Mistake 62°10'N, 92°57'W	AC (circulation en mer)	2,270	1973, 74
25 Rivière Murchison 68°35'N, 93°30'W	AC	9,080	1973
26 Lac Parker A 63°30'N, 95°15'W	LT, WF	11,350	-
27 Lac Parker B 63°17'N, 95°15'W	LT, WF	9,080	-
28 Rivière Perry 67°43'N, 102°10'W	AC	11,350	1972, 77, 79
29 Lac Peter 63°08'N, 92°48'W	LT, WF AC	7,580 2,270	1973
30 Baie du Pistolet 62°28'N, 92°44'W	AC	2,270	1974,76

Tableau 12 (suite)

Emplacement	Espèces capturées	Quotas (kg, poids brut)	Années de pêche
31 Lac Pitz 64°00'N, 96°45'W	LT, WF	13,600	-
32 Lac Princesse-Marie 64°00'N, 97°35'W	LT, WF	22,700	-
33 Baie Ranger Seal 63°45'N, 91°43'W	AC	11,350	1974
34 Région de l'inlet Rankin 62°45'N, 92°05'W	AC	4,540	1961→71, 1973→79
35 Baie Robin Hood 63°45'N, 92°02'W	AC	6,810	1974
36 Sandy Point 61°45'N, 93°18'W	AC	2,270	1972, 73, 74, 76
37 Lac Schultz 64°45'N, 97°30'W	LT, WF	18,160	-
38 Rivière Simpson 67°48'N, 100°45'W	AC	4,540	-
39 Baie Steep Bank 63°36'N, 91°37'W	AC	4,540	1977
40 Région de la Pointe Stony 63°54'N, 92°45'W	AC	6,810	1974→1977
41 Lac Tehek 64°55'N, 95°38'W	LT, WF	22,700	-
42 Rivière Wallace 61°36'N, 93°40'W	AC	2,270	1972, 1974
43 Région de Whale Cove 62°09'N, 92°35'W	AC (circulation en eau douce)	2,270	1960→1977
44 Lac Whitehills 64°50'N, 96°00'W	LT, WF	8,170	-
45 Baie Wilson 62°18'N, 92°53'W	AC	9,080	1960, 61, 77, 79

Tableau 12 (suite)

	Emplacement	Espèces capturées	Quotas (kg, poids brut)	Années de pêche
46	Rivière sans nom (région de Sandy Point) 61°35'N, 92°50'W	AC	2,270	-
47	Rivière sans nom (à l'est de la rivière Ellice) 67°53'N 103°07'W	AC	11,350	1975
	58. QUOTAS COMMERCIAUX EXPÉRIMENTAUX DE 1979			
48	Lac Tern	AC	2,270	1979
49	Rivière Kalleet	AC	2,270	1979
50	Rivière Elliott Bay	AC	2,270	1979
51	Rivière Back	AC	2,270	1979
52	Baie Irby et Mangles	AC	2,270	1979

ANNEXE III

PÊCHE FAMILIALE

La pêche familiale est pratiquée à longueur d'année dans une grande partie de la région étudiée (fig. 23). Elle est pratiquée surtout près des agglomérations et atteint un point culminant au cours des descentes de l'omble arctique en mai et juin. Les régions périphériques sont utilisées par les trappeurs et les chasseurs qui pratiquent la pêche pour leur subsistance et pour obtenir des appâts. Les pêcheurs utilisent le filet maillant, la turlutte ainsi que la canne et le moulinet. Les filets maillants sont mouillés à travers la glace, en hiver et au cours des périodes d'eau libre, en été; les turluttes sont utilisées au cours des périodes de gel et de débâcle, et lorsque la glace est trop épaisse pour mouiller facilement les filets maillants; la pêche à la ligne est surtout un moyen de détente. Les espèces de poisson capturées par les habitants des agglomérations côtières sont, par ordre d'importance: l'omble arctique, la truite grise et le grand corégone. À Baker Lake, l'ordre d'importance des espèces est inverse. Les habitants de Gjoa Haven capturent également plusieurs gros ciscos arctiques au cours de la pêche pratiquée en hiver, sur la rivière Back, à la déchange du lac Franklin.

La pêche familiale est une importante source de protéines et continue d'être une forme peu coûteuse de production de nourriture qui ne nécessite que peu de capital et d'équipement. Elle fournit environ 20% de la nourriture consommée par les habitants des agglomérations de la région (Cader, sous presse). Les habitants consomment le poisson frais ou séché, le congèlent pour l'utiliser plus tard ou en nourrissent leurs chiens.

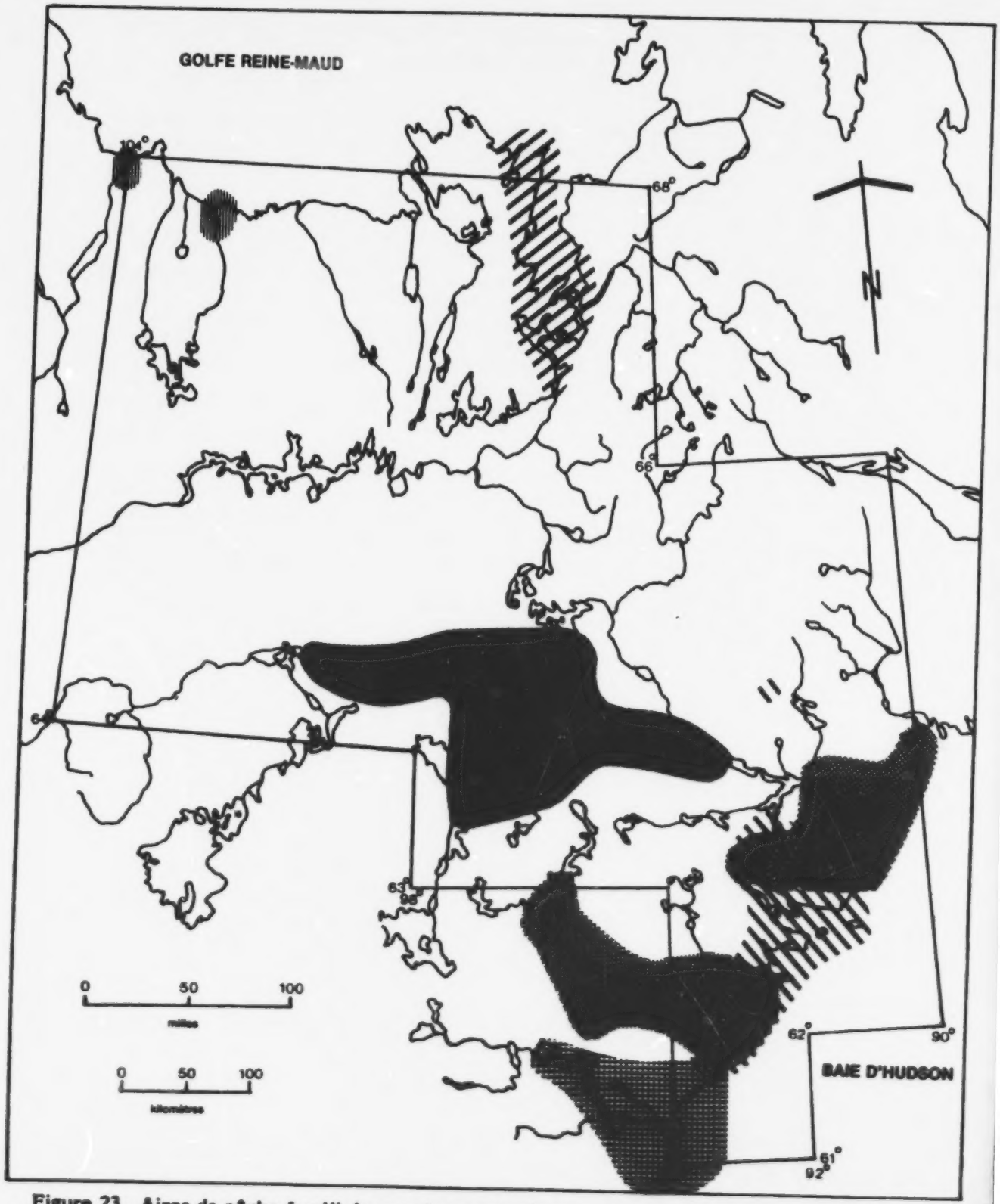

Figure 23. Aires de pêche familiale pour les agglomérations de Cambridge Bay ■, Gjoa Haven ▨, Baker Lake ■, (Chesterfield Inlet ■, Rankin Inlet ▨, Whale Cove ■, et Eskimo Point. ▦.

ANNEXE IV

Tableau I. Données brutes d'échantillonnage des ressources halieutiques, réseau fluvial de la rivière Back, T.N.-O.

Emplacement	Point d'échantillonnage et date	Longueur (mm)	Poids (g)	Sexe	Âge (année)	Contenu stomacal
Truite grise (Salvelinus namaycush)						
1	Lac Garry	875	6650	2	50	
	66°00'N x 100°15'W	580	2300	10	20	
	18/8/79	502	1550	3	22	
		464	1160	1	18	
		447	930	10	12	
		550	1750	10	20	
		477	1180	8	16	Amphipodes
		275	200	0	10	
2	Lac Garry	820	5650	2	-	
	65°59'N x 100°15'W	688	2900	0	20	
	18/8/79	568	2050	10	20	
		463	1180	2	17	Trichoptères
		485	1190	1	16	
		515	1570	3	16	
		461	1150	8	18	Chrysalides de diptères
		185	60	0	6	
		115	30	0	4	
3	Lac Garry	568	1730	2	26	
	65°57'N x 100°08'W	445	1030	8	15	
	18/8/79	493	1340	8	14	
		462	940	2	12	
4	Lac Garry inférieur	730	4000	8	35	Lotte
	65°58'N x 99°59'W	790	5550	8	41	
	18/8/79	404	740	1	11	Trichoptères
		420	850	8	14	Gastéropodes
		440	950	1	12	
		412	800	7	11	Trichoptères
		354	510	1	11	Amphipodes
		215	150	0	6	
5	Lac Garry inférieur	650	2900	4	33	
	65°56'N x 99°50'W	680	3500	4	49	
	18/8/79	602	2550	4	25	
		604	2250	4	28	
		773	5950	4	48	
		816	7400	4	39	
		514	1460	4	20	
		359	450	7	14	Restes de poissons

Tableau I. (suite)

Emplacement	Point d'échantillonnage et date	Longueur (mm)	Poids (g)	Sexe	Âge (année)	Contenu stomacal
6	Lac Garry inférieur	894	8350	4	61	Restes de poissons
	65°54'N x 99°35'W	482	1150	4	26	
	18/8/79	437	1040	4	14	Amphipodes
		475	1170	10	17	Amphipodes
		254	160	0	6	
		105	20	0	-	
7	Lac Garry inférieur	712	3400	2	23	
	65°55'N x 99°12'W	1035	10650	8	44	
	17/8/79					
8	Rivière Back en aval	584	1940	8	23	Larve de dyptères
	des chutes Sinclair	600	2250	2	22	Chabot visqueux, petit mammifère
	66°53'N x 98°31'W					
	17/8/79	478	1010	2	20	Amphipodes
		480	1220	10	21	
9	Rivière Back en amont	465	1120	2	18	Larves de diptères, chabot
	du mont Meadowbank	545	1550	2	19	Larves de diptères
	66°09'N x 97°02'W	480	1200	2	19	Larves de diptères
	14/8/79	470	1510	3	21	Larves, chrysalides de dyptères
		405	630	8	9	Chrysalides de diptères
		268	190	1	7	Larves, chrysalides de dyptères
		478	1400	4	21	Larves, chrysalides de dyptères
		560	1900	2	22	Larves, chrysalides de dyptères
		530	1620	9	22	Chrysalides de diptères
		182	60	7	4	
10	Rivière Back en aval	465	900	2	12	Larves de chironomidés
	du mont Meadowbank	570	1820	2	20	Notostracés
	66°10'N x 96°58'W	500	1420	2	19	
	14/8/79	98	30	0	2	
11	Rivière Back	815	6400	3	58	Ménomini rond
	66°04'N x 96°43'W	540	1900	4	32	Espèce de cisco
	14/8/79	740	4200	10	27	
12	Rivière Back	114	16	0	3	
	66°05'N x 96°31'W	430	690	2	15	Alevin de corégone
	27/8/79	436	720	8	20	Notostracés
		339	370	7	13	
		492	1010	1	18	Notostracés
		765	4750	12	27	
13	Rivière Back	591	2200	11	31	
	66°04'N x 96°29'W	255	170	7	12	
	27/8/79					

Tableau 1 (suite)

Emplacement	Point d'échantillonnage et date	Longueur (mm)	Poids (g)	Sexe	Âge (année)	Contenu stomacal
14	Rivière Herman 66°01'N x 95°29'W 13/8/79	540	1510	1	16	Trichoptères
		865	6200	9	27	
15	Rivière Herman 66°06'N x 95°45'W 13/8/79	350	460	8	11	
16	Rivière Herman 66°09'N x 95°47'W 13/8/79	420	800	8	13	Copépodes
		430	900	8	11	Copépodes
		325	390	7	7	Copépodes
		495	1600	10	21	Notostracés, petit mammifères
		585	1760	2	25	Notostracés
		395	570	9	13	Copépodes
		180	60	1	3	
17	Rivière Herman 66°11'N x 96°03'W 13/8/79	655	2600	2	21	Trichoptères, larves de chironomidés
		583	1900	9	20	
		515	1300	1	19	Larves de chironomidés
		500	1250	9	26	Copépodes
		450	930	9	13	Copépodes, larves de chironomidés
		430	870	9	13	Larves de chironomidés
		308	300	1	9	Larves de chironomidés
18	Rivière Back à l'embouchure de la rivière Herman 66°13'N x 96°10'W 13/8/79	735	4600	4	29	Restes de poissons
		297	250	7	11	Chabot
		240	160	1	-	Chrysalides de diptères
		248	140	7	6	Trichoptères
		196	65	1	6	Chabot, chrysalides de dyptères
		198	60	0	7	Chrysalides de dyptères
19	Lac sans nom sur la rivière Montrésor 66°20'N x 97°32'W 26/8/79	779	5400	9	52	
		630	2450	8	35	
		745	5200	9	33	Grand corégone
		772	4500	8	26	Restes de poissons
		690	3700	8	27	
		395	670	11	20	
		245	150	7	9	

Tableau 1 (suite)

Emplacement	Point d'échantillonnage et date	Longueur (mm)	Poids (g)	Sexe	Âge (année)	Contenu stomacal
20	Lac sans nom sur la rivière Montrésor 66°22'N x 97°32'W 26/8/79	872	8800	8	34	
		870	8000	8	44	
		931	7650	8	55	Restes de poissons
		730	4150	6	44	
		691	3350	8	32	
		638	2350	8	28	
		572	2050	8	20	Restes de poissons
21	Rivière Back à l'embouchure de la rivière Montrésor 66°33'N x 95°48'W 15/8/79	455	840	8	19	
		438	890	9	22	Larves de chironomidés
		220	80	0	6	
22	Lac Franklin 66°52'N x 96°05'W 15/8/79	844	6100	4	40	
23	Lac Franklin 66°54'N x 96°04'W 15/8/79	712	3320	2	26	Restes de poissons
		480	1300	3	17	
		540	1530	2	18	Cestodes
		495	1200	9	17	Restes de poissons
		524	1420	1	18	
		545	1450	8	17	
		485	1040	9	19	Restes de poissons
		425	710	1	11	
		420	750	1	17	Larves de diptères
		437	800	7	17	Restes de poissons
24	Lac Franklin 66°55'N x 96°04'W 15/8/79	790	4750	2	43	
		467	880	8	-	
		638	2650	10	23	
		452	850	7	14	
		548	1520	2	21	
		316	280	1	12	Chrysalides de dyptères, trichoptères
		557	1640	8	17	Insectes
25	Rivière Back en aval du lac Franklin 66°58'N x 95°57'W 15/8/79	880	7600	9	32	Restes de poissons
		790	5500	9	30	
		928	6500	2	34	
		730	3500	9	27	Chabot de profondeur
		700	3400	9	28	Larves de diptères
		690	2900	2	29	Restes de poissons

Tableau 1 (suite)

Emplacement	Point d'échantillonnage et date	Longueur (mm)	Poids (g)	Sexe	Âge (année)	Contenu stomacal
26	Rivière Back 66°58'N x 95°46'W 15/8/79	818	5600	9	31	Restes de poissons
		820	5900	4	28	
		700	2020	8	23	
		760	4020	2	24	
		710	3900	2	30	
		430	750	8	15	Larves de dyptères
		395	610	8	7	
		242	160	1	8	Larves de dyptères, restes de poissons
		200	60	1	6	Chabot
		455	1000	8	14	Larves de dyptères, oeufs de poissons
27	Rivière Back 66°56'N x 95°46'W 15/8/79	795	4600	2	56	
		508	1260	2	12	Larves de dyptères
		600	2400	8	20	
		425	780	2	-	Larves de dyptères
		444	850	8	10	Larves de dyptères
		445	870	8	13	
		593	2100	2	27	Larves de dyptères, trichoptères
		550	1680	1	21	Larves de dyptères
28	Rivière Back 66°58'N x 95°40'W 15/8/79	830	5700	9	37	
		720	3650	9	28	
		730	4600	2	26	Restes de poissons
		198	70	0	4	
29	Rivière Back 66°57'N x 95°38'W 15/8/79	718	3500	2	23	Restes de poissons
		760	5700	2	34	
		760	4900	8	36	
		630	2400	8	26	Larves de dyptères
30	Rivière Back 66°57'N x 95°24'W 15/8/79	815	5510	9	36	
		200	80	7	5	
		320	325	7	10	
		450	730	1	16	Chrysalides de dyptères
		645	2450	2	20	Isopodes
		652	280	9	21	
Omble arctique (Salvelinus alpinus)						
6	Lac Garry inférieur 65°54'N x 99°35'W 18/8/79	542	1620	8	14	Amphipodes

Tableau 1 (suite)

Emplacement	Point d'échantillonnage et date	Longueur (mm)	Poids (g)	Sexe	Âge (année)	Contenu stomacal
31	Lac intérieur près de la rivière Back 66°04'N x 96°38'W 27/8/79	370	500	5	10	
		352	440	5	11	
		395	550	5	-	
		360	420	5	12	Oeufs de poisson
		354	350	5	15	
		392	440	6	13	
		378	400	4	14	
		358	370	2	15	
		360	415	2	12	
		329	340	2	-	
		348	370	8	10	
		361	380	8	13	
		361	265	12	11	
		382	380	12	15	
		331	370	2	12	
		342	370	2	12	
		350	300	2	13	
Grand corégone (Coregonus clupeaformis)						
1	Lac Garry 66°00'N x 100°15'W 18/8/79	597	3350	10	20	Pélécypodes
		585	3350	0	29	
3	Lac Garry 65°57'N x 100°08'W 18/8/79	615	3800	10	24	
6	Lac Garry inférieur 65°54'N x 99°35'W 18/8/79	570	2650	10	22	
8	Rivière Back en aval des chutes Sinclair 66°53'N x 98°31'W 17/8/79	440	1140	8	18	
		440	1200	4	15	
9	Rivière Back en amont du mont Meadowbank 66°09'N x 97°02'W 14/8/79	350	560	8	15	Gastéropodes
10	Rivière Back en aval du mont Meadowbank 66°10'N x 96°58'W 14/8/79	340	480	2	13	Copépodes
		350	500	8	11	Copépodes
		357	580	8	11	Copépodes
		320	400	2	9	
		367	700	2	14	

Tableau 1 (suite)

Emplacement	Point d'échantillonnage et date	Longueur (mm)	Poids (g)	Sexe	Âge (année)	Contenu stomacal
10	Rivière Back en aval du lac Franklin (suite)	410	920	10	16	
		345	500	8	14	
		400	900	10	-	
18	Rivière Back à l'embouchure de la rivière Herman 13/8/79	458	1000	8	19	Pélécypodes
19	Lac sans nom sur la rivière Montrésor 66°20'N x 97°32'W 26/8/79	343	660	3	16	
		352	610	3	14	
		330	540	10	15	
		355	740	10	16	
		359	640	10	17	
		338	620	4	14	
		349	700	10	15	
		318	510	10	11	
		370	720	4	13	
		350	450	3	16	
		360	660	10	17	
		350	630	4	15	
		332	540	4	13	
		371	680	4	12	
		378	720	4	18	
20	Lac sans nom sur la rivière Montrésor 66°22'N x 97°32'W 26/8/79	328	460	3	14	
		342	600	4	14	
		306	510	3	11	
		328	500	10	12	
		299	370	3	13	
		338	610	10	13	
		320	430	3	13	
		331	530	10	13	
		342	550	3	15	
		365	720	4	13	
		332	520	10	11	
		375	750	8	14	
		335	560	3	17	
		315	470	4	13	
		335	500	4	16	
		355	700	10	16	
		355	600	10	18	
		338	560	4	13	
		332	470	10	12	
		335	500	0	14	

Tableau 1 (suite)

Emplacement	Point d'échantillonnage et date	Longueur (mm)	Poids (g)	Sexe	Âge (année)	Contenu stomacal
21	Rivière Back à l'embouchure de la rivière Montresor	483	1730	10	21	Pélécypodes, Gastéropodes
	66°33'N x 95°48'W	402	820	2	15	Pélécypodes
	15/8/79					
22	Lac Franklin	430	990	2	22	Pélécypodes
	66°52'N x 96°05'W	435	940	8	14	Amphipodes
	15/8/79	375	700	2	12	Pélécypodes
		423	950	8	22	Amphipodes
		415	920	9	18	Amphipodes
		370	620	8	14	Notostracés
		417	950	2	21	Notostracés, pélécypodes
		352	580	7	12	Pélécypodes, chironomidés
		357	590	1	12	Trichoptères
23	Lac Franklin	403	880	4	14	
	66°54'N x 96°04'W	440	1120	10	17	
	15/8/79					
27	Rivière Back	425	940	8	15	
	66°56'N x 95°46'W	415	880	2	17	
	15/8/79	433	1080	3	15	
		430	1130	2	19	
		434	1000	8	19	
		452	1200	9	18	
		345	510	0	10	
		437	1150	3	18	
28	Rivière Back	400	800	3	18	
	66°58'N x 95°40'W	423	1020	4	16	
	15/8/79	415	900	3	20	
		404	840	9	22	
		405	880	2	23	
		400	840	3	16	
29	Rivière Back	405	820	9	16	
	66°57'N x 95°38'W	403	820	3	23	
	15/8/79	398	750	9	16	
		418	800	2	18	
		422	960	3	17	
		428	990	9	19	
		360	600	8	14	
		408	500	3	18	
		380	720	9	16	

Tableau 1 (suite)

Emplacement	Point d'échantillonnage et date	Longueur (mm)	Poids (g)	Sexe	Âge (année)	Contenu stomacal
30	Rivière Back	440	960	9	17	
	66°57'N x 95°24'W	425	960	3	16	
	15/8/79	395	740	9	16	
Ménomini rond (Prosopium cylindraceum)						
4	Lac Garry inférieur	345	1000	10	14	
	65°58'N x 99°59'W	377	550	10	10	
	18/8/79	352	550	10	7	
6	Lac Garry inférieur	390	630	10	X	
	65°54'N x 99°35'W					
	18/8/79					
7	Lac Garry inférieur	375	590	0	8	
	65°55'N x 99°12'W					
	17/8/79					
9	Rivière Back en amont	235	110	7	6	Larves, chrysalides de dyptères
	du mont Meadowbank	304	270	9	9	Larves, chrysalides de dyptères
	66°09'N x 97°02'W	345	420	10	8	Larves, chrysalides de dyptères
	14/8/79	300	260	2	9	Larves, chrysalides de dyptères
		210	60	8	5	Larves, chrysalides de dyptères
		102	10	0	1	Larves, chrysalides de dyptères
		320	360	4	8	Larves, chrysalides de dyptères
		320	320	3	9	Larves, chrysalides de dyptères
		354	460	10	12	Larves, chrysalides de dyptères
		280	200	9	6	Larves, chrysalides de dyptères
		365	548	10	9	Larves, chrysalides de dyptères
10	Rivière Back en aval	224	100	2	6	Larves de dyptères
	du mont Meadowbank	225	110	7	7	
	66°10'N x 96°58'W	280	100	1	7	Larves de dyptères
	14/8/79					
11	Rivière Back	420	780	10	17	
	66°04'N x 96°43'W	430	1020	4	16	Pélécypodes
	14/8/79					
12	Rivière Back	362	500	10	11	
	66°05'N x 96°31'W	413	550	9	14	
	27/8/79	398	640	4	16	
		428	780	10	16	
		373	570	10	12	
		445	870	9	15	
		318	310	3	10	
		388	570	4	15	
		372	590	4	15	

Tableau 1 (suite)

Emplacement	Point d'échantillonnage et date	Longueur (mm)	Poids (g)	Sexe	Âge (année)	Contenu stomacal
13	Rivière Back 66°04'N x 96°29'W 13/8/79	236	110	7	6	
14	Rivière Herman	485	1300	9	13	
	66°01'N x 95°29'W	410	740	9	8	Larves de chironomidés
	13/8/79	405	780	3	8	Larves de chironomidés
		415	760	9	10	Larves de chironomidés
		370	500	9	9	
		410	850	3	10	Sable
		106	10	0	1	
		108	11	0	1	
		108	9	0	1	
		103	9	0	1	
		103	9	0	1	
18	Rivière Back	295	260	9	8	Chrysalides de dyptères
	à l'embouchure de la	231	110	7	6	Larves de chironomidés
	rivière Herman	230	120	1	6	Chrysalides de dyptères
	66°13'N x 96°10'W	217	80	7	6	Chrysalides de dyptères
	13/8/79	235	120	7	6	Chrysalides de dyptères
		197	60	0	-	
19	Lac sans nom sur	330	380	4	12	
	la rivière Montrésor	281	230	3	7	
	66°20'N x 97°32'W	316	320	9	10	
	26/8/79					
20	Lac sans nom sur	313	340	9	7	
	la rivière Montrésor					
	66°22'N x 97°32'W					
	26/8/79					
22	Lac Franklin	383	550	4	13	Larves de chironomidés
	66°52'N x 96°05'W	352	410	10	9	Notostracés
	15/8/79	224	130	0	-	
23	Lac Franklin	388	500	4	12	
	66°54'N x 96°04'W	364	500	10	9	
	15/8/79	353	450	4	8	
		364	460	4	8	
		367	510	4	12	Larves de chironomidés
		337	380	9	8	
		377	480	8	13	Larves de chironomidés
		293	260	8	9	Larves de chironomidés
		274	190	1	7	
		294	250	8	6	

Tableau 1 (suite)

Emplacement	Point d'échantillonnage et date	Longueur (mm)	Poids (g)	Sexe	Âge (année)	Contenu stomacal
24	Lac Franklin 66°55'N x 96°04'W 15/8/79	347	440	3	9	
		365	500	10	10	Larves de chironomidés
		344	420	9	12	
		381	560	10	12	Insectes de surface
		360	430	8	12	
		363	510	10	10	
		342	460	9	9	
		385	510	8	15	Insectes de surface
		361	490	3	11	
		358	500	10	11	
		350	480	9	11	
		300	260	8	8	
		153	80	0	2	
25	Rivière Back en aval du lac Franklin 66°58'N x 95°57'W 15/8/79	300	250	2	13	Larves de chironomidés
		336	390	4	9	Larves de chironomidés
		340	330	9	5	
		365	-	-	-	
		368	460	3	10	Larves de dyptères
		330	-	9	8	
26	Rivière Back 66°58'N x 95°46'W 15/8/79	386	580	4	13	
		300	-	-	5	
		230	-	-	-	
		366	480	4	14	
		290	230	4	8	
		360	520	10	12	
		355	470	10	11	
		370	550	4	10	
27	Rivière Back 66°56'N x 95°46'W 15/8/79	318	320	4	6	
28	Rivière Back 66°58'N x 95°40'W 15/8/79	105	10	-	-	
29	Rivière Back 66°57'N x 95°38'W 15/8/79	345	360	9	9	
		350	420	9	11	
Cisco de lac (Coregonus artedii)						
10	Rivière Back en aval du mont Meadowbank 66°10'N x 96°58'W 14/8/79	225	120	3	7	Trichoptères

Tableau 1 (suite)

Emplacement	Point d'échantillonnage et date	Longueur (mm)	Poids (g)	Sexe	Âge (année)	Contenu stomacal
12	Rivière Back 66°05'N x 96°31'W 27/8/79	307	300	10	8	
19	Lac sans nom sur la rivière Montrésor 66°20'N x 97°32'W 26/8/79	220	240	8	8	
25	Rivière Back 66°56'N x 95°46'W 15/8/79	380	660	10	9	
26	Rivière Back 66°58'N x 95°46'W 15/8/79	332	420	4	11	
		365	480	4	10	
30	Rivière Back 66°57'N x 95°24'W 15/8/79	345	500	4	10	
		320	400	4	8	
		325	400	4	8	
		365	640	10	12	
		348	460	4	9	
		330	440	10	8	
		360	500	4	11	
		360	560	10	12	
Cisco arctique (Coregonus autumnalis)						
11	Rivière Back 66°04'N x 96°43'W 14/8/79	487	1400	4	17	
		490	1520	10	19	
21	Rivière Back à l'embouchure de la rivière Montresor 66°33'N x 95°48'W 15/8/79	304	310	10	7	
		183	100	0	5	
		185	100	0	5	
		189	120	0	5	
		144	80	0	5	
22	Lac Franklin 66°52'N x 96°05'W 15/8/79	460	1180	3	14	
		446	1180	4	14	
		273	240	4	9	
		122	50	0	3	
25	Lac Franklin 66 55'N x 96 04'W 15/8/79	450	-	4	14	
		471	-	10	17	
		492	-	4	17	
		463	-	10	11	

Tableau 1 (suite)

Emplacement	Point d'échantillonnage et date	Longueur (mm)	Poids (g)	Sexe	Âge (année)	Contenu stomacal
25	Lac Franklin (suite)	485	1400	10	14	
		470	1100	4	13	
		488	1400	10	16	
		476	1240	10	13	
26	Rivière Back 66°58'N x 95°46'W 15/8/79	470	1400	10	14	
		460	1200	10	10	
		468	1300	10	16	
		465	1200	4	16	
		460	1400	4	12	
		470	1260	4	15	
		445	1080	4	9	
		523	1560	10	15	
		453	1200	10	13	
		469	1320	4	13	
		415	900	10	12	
		444	1080	4	13	
		470	1320	10	14	
		448	1080	4	14	
		464	1180	10	16	
		490	1440	10	10	
		420	790	4	14	
		445	1100	10	12	
		450	1180	10	11	
		448	1060	4	14	
		445	1100	4	11	
		454	1280	4	12	
		460	1170	10	13	
		440	960	10	12	
		420	880	4	12	
		466	1040	4	12	
		470	1060	4	14	
		368	590	4	12	
Ombre arctique (Thymallus arcticus)						
2	Lac Garry 65°59"n x 100°15"W 18/8/79	400	800	2	8	
		320	460	2	6	
		358	520	8	6	
		360	550	8	6	
		395	720	2	7	
		332	410	7	7	
		293	300	7	6	
12	Rivière Back 66°05'N x 96°31'W 27/8/79	312	360	8	8	

Tableau 1 (suite)

Emplacement	Point d'échantillonnage et date	Longueur (mm)	Poids (g)	Sexe	Âge (année)	Contenu stomacal
23	Lac Franklin 66°54'N x 96°04'W 15/8/79	324	400	2	7	Insectes
24	Lac Franklin 66°55'N x 96°04'W 15/8/79	373	690	8	10	Insectes
Lotte (Lota lota)						
2	Lac Garry 65°59'N x 100°15'W 18/8/79	250	90	0	9	Restes de poissons
13	Rivière Back 66°04'N x 96°29'W 27/8/79	641 677	1600 2050	2 8	14 16	Ménomini rond
19	Lac sans nom sur la rivière Montrésor 66°20'N x 97°32'W 26/8/79	659	2200	6	18	

Tableau II. Données brutes d'échantillonnage des ressources halieutiques, pour les rivières se jetant dans le golfe Reine-Maud, T.N.-O.

Emplacement	Point d'échantillonnage et date	Longueur (mm)	Poids (g)	Sexe	Âge (année)	Contenu stomacal
Truite grise (Salvelinus namaycush)						
1	Lac sans nom 65°27'N x 102°43'W 23/8/79	570	1650	8	15	
		440	1000	8	17	
		455	800	1	12	
		382	700	1	14	
		102	10	0	2	
2	Lac sans nom 67°26'N x 102°42'W 23/8/79	460	940	2	10	
		606	2150	8	16	
		530	1370	2	12	
		407	560	1	12	
		340	360	7	9	
		200	80	0	6	
3	Rivière Perry en aval des chutes 67°13'N x 101°51'W 23/8/79	670	3200	10	32	
		602	2500	9	31	Oeufs de poissons
		670	3250	8	19	Restes de poissons
		650	3000	2	24	
		493	1200	8	22	
		422	780	8	21	Petit mammifère
5	Rivière Perry en amont des chutes 67°10'N x 101°50'W 23/8/79	774	4600	9	46	
		482	1080	8	28	
		467	460	7	13	Restes de poissons
8	Rivière Simpson 67°45'N x 100°38'W 25/8/79	650	2750	2	19	
		574	2000	2	21	Restes de poissons
		617	2400	6	18	
		430	1000	2	10	
10	Rivière Simpson 67°42'N x 100°36'W 25/8/79	595	2200	2	20	Restes de poissons
11	Lac sans nom 66°49'N x 103°10'W 24/8/79	820	6600	8	44	Restes de corégone
		648	3000	9	36	
		534	1590	9	15	
		600	2200	2	38	Restes de poissons
		690	3550	9	32	
12	Lac sans nom 66°46'N x 103°10'W 24/8/79	665	2800	8	23	
		685	3400	9	36	
		625	2950	2	26	
		780	4000	2	47	

Tableau II (suite)

Emplacement	Point d'échantillonnage et date	Longueur (mm)	Poids (g)	Sexe	Âge (année)	Contenue stomacal
12	Lac sans nom (suite)	650	2850	2	25	
		682	2900	9	35	
		449	970	1	14	
14	Lac MacAlpine 66°43'N x 102°58'W 24/8/79	592	2900	8	14	Restes de poissons
15	Lac MacAlpine 66°37'N x 102°51'W 24/8/79	582	2400	8	18	Restes de corégonidés
		620	3200	8	29	Restes de poissons
		522	1500	2	17	Restes de poissons
		373	510	1	14	
		488	1230	2	16	Restes de poissons
		474	1050	2	22	
		313	300	3	12	
		475	1320	4	19	Trichoptères
		210	90	7	10	
16	Rivière Perry 66°52'N x 102°17'W 24/8/79	620	4500	8	26	Restes de corégone, mammifère
		515	1450	8	26	Trichoptères
		420	720	1	15	
		455	980	2	22	Trichoptères
		358	430	1	11	Trichoptères
		540	1550	4	29	
		475	1210	2	26	
		810	6200	8	54	
		610	2150	2	25	
		610	2550	3	28	
		585	2200	3	31	Épinoche à neuf épines
		420	700	2	19	
		386	610	7	10	Trichoptères
18	Lac sans nom 66°32'N x 98°23'W 26/8/79	782	5250	12	43	
		682	3150	12	34	
		615	2500	2	34	
		598	1320	8	19	
		472	1110	1	21	
		512	1340	8	42	
		534	1570	2	23	
		480	1180	3	28	
		465	1110	8	17	Restes de poissons
		385	630	1	16	

Tableau 2 (suite)

Emplacement	Point d'échantillonnage et date	Longueur (mm)	Poids (g)	Sexe	Âge (année)	Contenue stomacal
Omble arctique (Salvelinus alpinus)						
17	Rivière Simpson 66°42'N x 98°58'W 26/8/79	488	1490	8	11	
Cisco arctique (Coregonus autumnalis)						
2	Lac sans nom 67°26'N x 102°42'W 23/8/79	532	2600	3	20	
		552	2950	10	29	
		510	1950	4	22	
		530	2500	3	24	
		415	990	6	9	
		394	900	2	9	
		397	920	8	9	
3	Rivière Perry en aval des chutes 67°13'N x 101°51'W 23/8/79	300	350	1	15	
		345	470	2	15	
8	Rivière Simpson 67°45'N x 100°38'W 25/8/79	358	690	8	9	
11	Lac sans nom 66°49'N x 103°10'W 24/8/79	318	470	9	13	
		328	460	9	13	
		290	360	1	14	
		330	500	3	13	
		325	430	9	16	
		280	300	7	9	
		310	380	9	10	
		261	240	1	7	
		315	420	9	14	
		349	520	3	19	
		330	520	3	14	
12	Lac sans nom 66°46'N x 103°10'W 24/8/79	300	400	3	16	
		326	390	8	15	
		311	440	9	16	
		255	250	1	9	
		298	350	9	13	
		310	410	3	13	
		320	480	4	12	

Tableau 2 (suite)

Emplacement	Point d'échantillonnage et date	Longueur (mm)	Poids (g)	Sexe	Âge (année)	Contenue stomacal
15	Lac MacAlpine 66°37'N x 102°51'W 24/8/79	532 530	2250 1050	9 9	21 21	
16	Rivière Perry 66°52'N x 102°17'W 24/8/79	395 208 250 183	980 100 200 70	3 0 0 0	17 - 6 6	
17	Rivière Simpson 66°42'N x 98°58'W 26/8/79	352	840	0	11	
18	Lac sans nom 66°32'N x 98°23'W 26/8/79	355 338 332 335	600 560 470 500	10 4 10 -	18 13 12 14	
Ménomini rond (Prosopium cylindraeceum)						
5	Rivière Perry en amont des chutes 67°10'N x 101°50'W 23/8/79	212 127	100 40	0 0	7 4	
13	Lac sans nom 66°46'N x 103°07'W 24/8/79	380 340 385 382 308 318 231 318 316 318 382 323 120 230 228 330 243 233 214	680 430 650 690 310 360 120 325 360 390 640 360 15 120 120 400 140 120 100	10 4 10 10 4 10 7 10 10 10 10 4 0 7 7 10 4 4 7	9 6 8 9 6 6 4 6 5 6 7 6 1 4 4 6 4 4 4	

Tableau 2 (suite)

Emplacement	Point d'échantillonnage et date	Longueur (mm)	Poids (g)	Sexe	Âge (année)	Contenue stomacal
Cisco de lac (Coregonus artedii)						
2	Lac sans nom 67°26'N x 102°42'W 23/8/79	570	1650	8	15	
		440	1000	8	17	
		455	800	1	12	
		382	700	1	14	
		102	10	0	2	
3	Rivière Perry en aval des chutes 67°13'N x 101°51'W 23/8/79	220	110	10	6	
5	Rivière Perry en amont des chutes 67°10'N x 101°50'W 23/8/79	195	70	4	5	
11	Lac sans nom 66°49'N x 103°10'W 24/8/79	165	-	-	2	
		105	15	-	2	
12	Lac sans nom 66°46'N x 103°10'W 24/8/79	160	50	10	3	
		132	40	-	2	
		120	20	-	1	
15	Lac MacAlpine 66°37'N x 102°51'W 24/8/79	283	260	10	8	
Cisco sardinelle (Coregonus sardinella)						
7	Rivière Simpson 67°48'N x 100°37'W 25/8/79	193	80	7	6	
8	Rivière Simpson 67°45'N x 100°38'W 25/8/79	215	120	2	7	
		222	110	10	7	
17	Rivière Simpson 66°42'N x 98°58'W 26/8/79	230	100	4	4	
		270	190	9	5	
		222	130	3	5	
		220	90	0	3	
		225	160	3	-	
		220	130	3	5	
		204	120	1	5	

Tableau 2 (suite)

Emplacement	Point d'échantillonnage et date	Longueur (mm)	Poids (g)	Sexe	Âge (année)	Contenue stomacal
17	Rivière Simpson (suite)	252	230	9	6	
		232	160	4	5	
		115	110	3	5	
		198	100	3	3	
		194	90	4	3	
Cisco de lac (Coregonus artedii)						
8	Rivière Simpson 67°45'N x 100°38'W 25/8/79	510	2000	9	18	
		442	1090	3	12	
		475	1640	9	11	
		210	90	7	6	
		250	210	7	6	
		248	165	1	6	
		275	190	1	5	
		203	110	1	6	
		205	100	1	5	
10	Rivière Simpson 67°42'N x 100°36'W 25/8/79	380	670	9	7	
		335	520	3	6	
Ombre arctique (Thymallus articus)						
6	Lac sans nom 67°10'N x 101°55'W 23/8/79	333	500	8	8	
		217	125	8	6	
		222	140	8	-	
Meunier rouge (Catostomus catostomus)						
3	Rivière Perry en aval des chutes 67°13'N x 101°51'W 23/8/79	475	970	-	-	
		375	700	-	-	
		373	650	-	-	
		370	600	-	-	
		392	740	-	-	
		396	770	-	-	
4	Rivière Perry en amont des chutes 67°12'N x 101°51'W 23/8/79	316	370	-	-	
5	Rivière Perry en amont des chutes 67°10'N x 101°51'W 23/8/79	378	660	6	-	
		318	400	-	-	
		305	360	-	-	

Tableau 2 (suite)

Emplacement	Point d'échantillonnage et date	Longueur (mm)	Poids (g)	Sexe	Âge (année)	Contenue stomacal
16	Rivière Perry 66°52'N x 102°17'W 24/8/79	180 377 420 260 410 390 406	70 780 980 230 930 810 880	- - - - - - -	- - - - - - -	
Lotte (Lota Lota)						
11	Lac sans nom 66°49'N x 103°10'W 24/8/79	515	940	-	14	Notostracés
16	Rivière Perry 66°52'N x 102°17'W 24/8/79	455 388	440 320	7 -	15 13	
Épinoche à neuf épines (Pungitius pungitius)						
6	Lac sans nom 67°10'N x 101°55'W 23/8/79	85	10	-	-	
Chabot de profondeur (Myoxocephalus quadricornis)						
7	Rivière Simpson 67°48'N x 100°37'W 25/8/79	262 210	120 90	- -	- -	
Plie arctique (Liopsetta gracillis)						
8	Rivière Simpson 67°45'N x 100°38'W 25/8/79	213	120	-	-	
Morue safran (Eleginnus navaga)						
8	Rivière Simpson 67°45'N x 100°38'W 25/8/79	239	100	-	-	

Tableau III. Données brutes d'échantillonnage des ressources halieutiques - rivière Thelon, T.N.-O.

Emplacement	Point d'échantillonnage et date	Longueur (mm)	Poids (g)	Sexe	Âge (année)	Contenue stomacal
Truite grise (Salvelinus namaycush)						
1	Lac adjacent à la rivière Thelon 64°37'N x 101°36'W 30/8/79	679	3000	2	21	
		618	2200	7	26	Épinoche à neuf épines
		521	1430	2	13	
2	Rivière Thelon près d'une station (WSC) 64°32'N x 101°25'W 30/8/79	580	1900	6	16	
		492	1330	5	16	
4	Rivière Thelon 63°58'N x 103°53'W 31/8/79	682	2900	6	26	
		731	3600	9	22	
		712	3200	8	31	
		566	1840	8	21	Espèce de corégone
		599	2030	8	14	
		528	1530	2	15	Meunier rouge
5	Lac adjacent à la rivière Thelon 63°57'N x 103°54'W 31/8/79	691	3300	6	40	
6	Rivière Thelon 63°47'N x 104°11'W 31/8/79	555	1920	8	20	Restes de poissons
Grand corégone (Coregonus clupeaformis)						
1	Lac adjacent à la rivière Thelon 64°37'N x 101°36'W 30/8/79	491	1530	4	23	
		431	1210	11	13	
		426	1110	6	11	
		434	1140	4	12	
		453	1140	10	14	
		421	1000	4	14	
2	Rivière Thelon près d'une station (WSC) 64°32'N x 101°25'W 30/8/79	432	1040	6	17	
		449	1100	6	17	
		480	1330	6	19	
		453	1100	6	14	
4	Rivière Thelon 63°58'N x 103°53'W 31/8/79	486	1500	3	9	
		440	1140	3	16	
		451	1220	3	12	
		503	1750	3	16	
		502	1820	3	20	
		438	1020	3	11	

Tableau III (suite)

Emplacement	Point d'échantillonnage et date	Longueur (mm)	Poids (g)	Sexe	Âge (année)	Contenue stomacal
5	Lac adjacent à	381	-	8	9	
	la rivière Thelon	304	290	8	9	
	63°57'N x 103°54'W	339	410	7	9	
	31/8/79	314	320	7	9	
		361	550	8	12	
		404	830	2	10	
		356	520	2	10	
6	Rivière Thelon	527	1820	9	14	
	63°47'N x 104°11'W	490	1440	3	9	
	31/8/79	455	1170	8	11	
		482	1570	8	15	
		458	1210	8	14	
		411	900	2	11	
		468	1400	8	14	
		452	1080	2	12	
		464	1290	4	10	
Ménomini rond (Prosopium cylindraeceum)						
1	Lac adjacent à	412	850	4	11	
	la rivière Thelon	345	460	11	7	
	64°37'N x 101°36'W					
	30/8/79					
3	Rivière Thelon	276	200	3	6	
	64°02'N x 103°51'W					
	31/8/79					
4	Rivière Thelon	231	110	7	4	
	63°58'N x 103°53'W	190	60	0	3	
	31/8/79	264	165	2	6	
		229	100	7	4	
		199	80	7	3	
		204	75	7	3	
		192	60	0	3	
Cisco de lac (Coregonus artedii)						
6	Rivière Thelon	272	50	3	3	
	63°47'N x 104°11'W					
	31/8/79					

Tableau 3 (suite)

Emplacement	Point d'échantillonnage et date	Longueur (mm)	Poids (g)	Sexe	Âge (année)	Contenue stomacal
Ombre arctique (Thymallus articus)						
3	Rivière Thelon 64°02'N x 103°51'W 31/8/79	310	320	3	7	
6	Rivière Thelon 63°47'N x 104°11'W 31/8/79	298	290	3	6	
		315	385	9	7	
Grand brochet (Esox lucius)						
5	Lac adjacent à la rivière Thelon 63°57'N x 103°54'W 31/8/79	600	1400	3	5	
		660	2040	9	6	
6	Rivière Thelon 63°47'N x 104°11'W 31/8/79	772	2850	8	13	Restes de poissons
Meunier rouge (Catostomus catostomus)						
2	Rivière Thelon près d'une station (WSC) 64°32'N x 101°25'W 30/8/79	348	400	-	-	
4	Rivière Thelon 63°58'N x 103°53'W 31/8/79	108	18	-	-	
		181	65	-	-	
		162	50	-	-	
		92	10	-	-	
		120	24	-	-	
		104	16	-	-	
		122	24	-	-	
		166	70	-	-	
Chabot visqueux (Cottus cognatus)						
6	Rivière Thelon 63°47'N x 104°11'W 31/8/79	83	6	-	-	

Tableau IV. Données brutes d'échantillonnage des ressources halieutiques - rivière Quoich, T.N.-O.

Emplacement	Point d'échantillonnage et date	Longueur (mm)	Poids (g)	Sexe	Âge (année)	Contenue stomacal
Truite grise (Salvelinus namaycush)						
1	Rivière Quoich	672	3100	8	47	
	65°58'N x 94°11'W	614	2600	8	29	Petite mammifère
	21/8/79	505	1420	2	25	
		420	760	8	19	Espèce de chabot
		510	1380	2	29	Restes de poissons
		440	910	2	21	Restes de poissons
		410	720	8	17	Larves de dyptères
		388	600	2	16	
		293	280	2	10	
		340	370	2	10	
		530	1560	8	28	Chabot, petite mammifère
2	Rivière Quoich	705	4000	2	36	Restes de poissons
	65°48'N x 94°02'W	473	950	2	28	Petite mammifère
	21/8/79	391	640	9	18	
		352	510	9	29	
		254	210	2	9	
		240	150	7	9	
3	Rivière Quoich	795	4800	2	49	
	65°47'N x 94°00'W	700	3400	2	31	
	21/8/79	670	3100	2	29	Petite mammifère
		620	2500	8	29	Chabot
		602	2000	8	22	Notostracés
		718	3200	2	33	
		442	990	8	21	Pélécypodes
		388	680	2	14	Notostracés, pélécypodes
		520	1320	8	21	Espèce de corégone
		340	370	2	10	Restes de poissons
4	Rivière Quoich	735	4650	2	45	Deux poissons
	65°02.5'N x 94°42'W	847	5000	8	39	
	21/8/79	661	3300	8	29	Restes de poissons
		550	1590	2	22	Restes de poissons
		432	860	8	15	
		400	620	8	16	
		340	440	2	17	
		325	390	7	12	Truite grise
		286	260	1	11	
		308	330	1	11	
		320	350	8	15	
		293	260	1	11	
		320	380	8	15	
		320	380	1	13	

Tableau IV (suite)

Emplacement	Point d'échantillonnage et date	Longueur (mm)	Poids (g)	Sexe	Âge (année)	Contenue stomacal
4	Rivière Quoich (suite)	235	280	1	10	Trichoptères
		340	440	8	15	
		320	360	2	-	
		230	140	0	8	
		282	280	8	11	Restes de poissons
		380	390	7	10	
5	Au confluent des riv	748	4450	8	41	Truite grise
	ières Quoich et Tehert	705	3500	8	30	Chrysalides de dyptères
	64°50'N x 94°51'W	829	5500	2	52	
	21/8/79	730	4150	8	29	
		450	680	1	14	Restes de poissons
		394	600	7	14	Petite mammifère, restes de poissons
		394	560	8	21	Larves de dyptères
		337	470	1	15	Restes de poissons, trichoptères
		397	730	2	20	Pélécypodes
		362	520	1	12	
		327	350	1	12	
		285	260	7	12	
		286	300	10	14	
		231	140	0	8	
		201	100	0	8	Trichoptères
		122	~20	0	4	
		105	~20	0	4	
6	Rivière Quoich	534	1660	8	19	Restes de poissons
	64°56'N x 94°48'W	342	420	7	12	
	21/8/79	320	350	3	13	Oeufs de poissons
		333	400	2	15	
		525	1360	8	19	Insectes
		320	350	3	16	Restes de poissons
		263	220	8	11	Larves de chironomidés
		243	130	7	8	
		260	200	7	11	Larves de simulidés
		252	180	7	8	Restes de poissons
		205	90	1	-	Restes de poissons
		358	400	8	22	
		242	170	1	8	
		150	50	1	5	
		181	70	1	5	

Tableau 4 (suite)

Emplacement	Point d'échantillonnage et date	Longueur (mm)	Poids (g)	Sexe	Âge (année)	Contenue stomacal
Omble arctique (Salvelinus alpinus)						
2	Rivière Quoich 65°48'N x 94°02'W 21/8/79	380	590	4	13	(lacustre)
Ménomini rond (Prosopium cylindraeceum)						
1	Rivière Quoich 65°58'N x 94°11'W 21/8/79	410	730	4	16	
		358	440	8	11	
		368	500	9	12	
		349	430	10	8	
		260	180	7	6	
		269	200	1	7	
		410	710	4	15	
		392	620	4	12	
2	Rivière Quoich 65°48'N x 94°02'W 21/8/79	345	420	10	-	
		328	380	10	-	
3	Rivière Quoich 65°47'N x 94°00'W 21/8/79	392	630	10	18	
		382	520	10	13	
		375	570	4	13	
		363	510	10	12	
		402	740	10	17	
4	Rivière Quoich 65°02.5'N x 94°42'W 21/8/79	380	590	10	12	
5	Au confluent des rivières Quoich et Tehert 64°50'N x 94°51'W 21/8/79	302	280	10	8	
		303	280	4	9	
		287	240	10	8	
		245	140	7	8	
6	Rivière Quoich 64°56'N x 94°48'W 21/8/79	320	330	-	8	
Ombre arctique (Thymallus articus)						
4	Rivière Quoich 65°02.5'N x 94°42'W 21/8/79	323	430	2	7	
		330	440	2	7	

Tableau 4 (suite)

Emplacement	Point d'échantillonnage et date	Longueur (mm)	Poids (g)	Sexe	Âge (année)	Contenue stomacal
Chabot visqueux (Cottus cognatus)						
4	Rivière Quoich	77	4.7	-	-	
	65 02.5'N x 94 42'W	83	6.3	-	-	
	21/8/79	73	3.5	-	-	
		72	3.4	-	-	
		95	1.5	-	-	
		65	8.2	-	-	
		68	2.0	-	-	
		74	2.5	-	-	
		53	3.9	-	-	

REMERCIEMENTS

Les auteurs tiennent à remercier le Dr. L. Johnson, MM. A. Kristofferson, R. Peet, et D. Topolinski ainsi que le Dr. H. Welch du Freshwater Institute pour leur avoir fourni des informations précieuses sur la pêche.

Nos remerciements s'adressent également au Dr. K. Patalas pour ses analyses commentées des échantillons de plancton et à M. M. Stainton pour les analyses chimiques de l'eau.

Nous remercions en particulier M. S. MacDonald de Baker Lake et M. A. Goodman de Yellowknife pour leur soutien logistique et l'utilisation de leurs installations.

Nous adressons tous nos remerciements à M^{me} J. Allan pour avoir dactylographié le manuscrit.

BIBLIOGRAPHIE

Bond, W.A. 1975. Data on the biology of lake whitefish and lake trout from Kaminuriak Lake, District of Franklin, NWT. Can. Fish. Mar. Serv. Data Rep. CEN/D-75-4: 27 p.

Boyd, D.H., R.E. Schmidt, W. Hayden, I.W. Dickson, and Interdisciplinary Systems Ltd.. 1977. Possible effects of the proposed Polar Gas pipeline project on living resource use in the eastern Arctic. Can. Dep. Indian North. Affairs QS-8160-002-EE-A1. ESCOM Rep. A1-02: 238 p.

Brack, D.M., and D. McIntosh. 1963. Keewatin mainland area economic survey and regional appraisal. Canada Department of Northern Affairs and National Resources, Ottawa. 157 p.

Carder, G.W. 1977. A domestic fishing survey of five communities in the District of Keewatin, Northwest Territories. Canada Department of Fisheries and Oceans, Winnipeg. Unpubl. rep.

Christian, E. 1937. Unflinching: a diary of tragic adventure. John Murray. London. 156 p.

Clarke, C.D.H. 1940. A biological investigation of the Thelon Game Sanctuary. Natl. Mus. Can. Bull. 36: 135 p.

Critchell-Bullock, J.C. 1931. An expedition to sub-arctic Canada. Can. Field-Nat. 45: 33-34.

Grainger, E.H. 1953. On the age, growth, migration, reproduction and feeding habits of the Arctic char (Salvelinus alpinus) of Frobisher Bay, Baffin Island. J. Fish. Res. Board Can. 10: 326-370.

Hatfield, C.T., G.R. Peterson, W.M. Bengeyfield, G.L. Williams, and along the proposed Polar Gas pipeline route from Spence Bay, NWT to Longlac, Ontario, 1976. Hatfield Consulting Limited. Report to the Polar Gas Project, 1977. Vol. I, 119 p.; Vol II, 121 p.; Vol. III, 309 p.

Inland Waters Directorate. 1979. Surface Water Data, Yukon and Northwest Territories. Water Survey of Canada, Ottawa. 76 p.

Johnson, L. 1976. Ecology of Arctic populations of lake trout (Salvelinus namaycush), lake whitefish (Coregonus clupeaformis), Arctic char (Salvelinus alpinus) and associated species in unexploited lakes of the Canadian Northwest Territories. J. Fish. Res. Board Can. 33(11): 2459-2488.

Kahn, N.Y., and S.V. Qadri. 1971. Inter specific variations and post glacial distribution of lake char (Salvelinus namaycush). J. Fish. Res. Board Can. 28: 465-476.

Laird, M. 1961. Parasites from northern Canada. II. Heamatoza of fishes. Can. J. Zool. 39: 541-548.

Lawrence, M., S. Davies, G. Collins, F. Hnytka, K. Kroeker, and R. Sie. 1977. A survey of aquatic resources of the District of Keewatin and Boothia Peninsula. Can. Dep. Indian North. Affairs QS-8160-007-EE-A1. ESCOM Rep. AI-07: 357 p.

Lawrence, M., and S. Davies, G. Collins, F. Hnytka, K. Kroeker, and R. Sie. 1977. A survey of aquatic resources of the District of Keewatin and the District of Franklin. Canada Department of Fisheries and Oceans, Winnipeg.

McAllister, D.E. in prep. Key to the species of the marine waters of Arctic Canada. Ottawa, 15 p.

McCart, P., and V.A. Pepper. 1971. Geographic variation in the lateral line scale counts of the Arctic grayling, Thymallus arcticus. J. Fish. Res. Board Can. 28: 749-754.

MacDonald, G., and R. Fudge. 1979. A survey of the fisheries resources of the kazan Upland (south-eastern District of Mackenzie, southern District of Keewatin, NWT). Arctic Land Use Research Program 1978. Canada Department of Fisheries and Oceans, Winnipeg. 160 p.

McLeod, C.L., P.J. Wiebe, and R.A. Mohr. 1976. An examination of aquatic ecosystems in the Baker Lake-lower Thelon River, NWT area in relation to proposed Polar Gas pipeline development. Renewable Resources Consulting Services Ltd. Report to the Polar Gas Project. 269 p.

McPhail, J.D. 1961. A systematic study of the (Salvelinus alpinus) complex in North America. J. Fish. Res. Board Can. 18: 793-816.

McPhail, J.D. 1963. Geographic variation in North American ninespine sticklebacks (Pungitius pungitius). J. Fish. Res. Board Can. 20(1): 27-44.

McPhail, J.D., and C.C. Lindsey. 1970. Freshwater fishes of north-western Canada and Alaska. Fish. Res. Board Can. Bull. 173: 381 p.

Pfaff, J.R. 1937. Fishes. In Report of the 5th Thule Expedition 1921-1924, 2: 1-19.

Sater, J.E., A.G. Ronhovde, and L.C. Van Allen. 1971. Arctic environment and resources. The Arctic Institute of North America. Washington. 310 p.

Scott, W.B., and E.J. Crossman. 1973. Freshwater fishes of Canada. Fish. Res. Board Can. Bull. 184: 966 p.

Sprules, W.M. 1952. The Arctic char of the west coast of Hudson Bay. J. Fish. Res. Board Can. 9(1): 1-5.

Stainton, M.P., M.J. Capel, and F.A.J. Armstrong. 1977. The chemical analysis of fresh water. Can. Fish. Mar. Serv. Misc. Spec. Publ. 25: 180 p.

Stewart, D.B., and G. MacDonald. 1978. A survey of the fisheries resources of the central Canadian Northwest Territories. Arctic Land Use Research Program 1977. Canada Department of Fisheries and Environment, Winnipeg. 121 p.

Tyrrell, J.W. 1908. Across the sub-arctics of Canada. 3rd ed. Wm. Briggs, Toronto. 280 p.

Welch, P.S. 1948. Limnological methods. McGraw Hill, Toronto. 381 p.